



LUGLIO 2023

FLYNIS PV 42 S.r.l.

IMPIANTO INTEGRATO AGRIVOLTAICO
COLLEGATO ALLA RTN

POTENZA NOMINALE 56,55 MW
COMUNE DI CARBONIA (CI)

Montagna

**PROGETTO DEFINITIVO IMPIANTO
AGRIVOLTAICO**

Calcolo Preliminare delle Strutture

Progettisti (o coordinamento)

Ing. Laura Maria Conti n. ordine Ing. Pavia 1726

Codice elaborato

*2983_5376_CA_VIA_R07_Rev0_Relazione di calcolo preliminare
strutture*



Memorandum delle revisioni

Cod. Documento	Data	Tipo revisione	Redatto	Verificato	Approvato
2983_5376_CA_VIA_R07_Rev0_Relazion e di calcolo preliminare strutture	07/2023	Prima emissione	MA	MCu	L.Conti

Gruppo di lavoro

Nome e cognome	Ruolo nel gruppo di lavoro	N° ordine
Laura Maria Conti	Direzione Tecnica	Ordine Ing. Pavia 1726
Corrado Pluchino	Responsabile Tecnico Operativo	Ord. Ing. Milano A27174
Riccardo Festante	Progettazione Elettrica, Rumore e Comunicazioni	Tecnico acustico/ambientale n. 71
Marco Corrù	Project Manager	
Paola Scaccabarozzi	Ingegnere Idraulico	
Giulia Peirano	Architetto	Ordine Arch. Milano n. 20208
Fabio Lassini	Ingegnere Idraulico	Ordine Ing. Milano A29719
Mauro Aires	Ingegnere strutturista	Ordine Ing. Torino 9583J
Andrea Delussu	Ingegnere Elettrico	
Corrado Landi	Ingegnere Ambientale	
Carolina Ferraro	Ingegnere idraulico	
Luca Morelli	Ingegnere Ambientale	
Matteo Cuda	Naturalista	
Graziella Cusmano	Architetto	
Matthew Piscedda	Perito Elettrotecnico	

Montana S.p.A.

Via Angelo Carlo Fumagalli 6, 20143 Milano
Tel. +39 02 54 11 81 73 | Fax +39 02 54 12 98 90

Milano (Sede Certificata ISO) | Brescia | Palermo | Cagliari | Roma | Siracusa

C. F. e P. IVA 10414270156

Cap. Soc. 600.000,00 €

www.montanambiente.com





Nome e cognome	Ruolo nel gruppo di lavoro	N° ordine
Laura Annovazzi Lodi	Ingegnere Ambientale	
Daniele Moncecchi	Ingegnere Ambientale	
Raffaella Bertolini	Biologo Ambientale	
Carla Marcis	Ingegnere per l'Ambiente ed il Territorio, Tecnico competente in acustica	Ord. Ing. Prov. CA n. 6664 – Sez. A ENTECA n. 4200
Andrea Mastio	Ingegnere per l'Ambiente e il Territorio	
Leonardo Cuscito	Perito Agrario laureato	Periti Agrari della provincia di Bari, n° 1371
Eliana Santoro	Agronomo	Agronomo albo n.883 dottori agronomi e forestali provincia di Torino
Emanuela Gaia Forni	Dott.ssa Scienze e Tecnologie Agrarie	
Edoardo Bronzini	Agronomo	Albo n.1026 Dottori Agronomi e Forestali Provincia di Torino
Chiara Caltagirone	Dott.ssa Scienze e Tecnologie Agrarie	
Giancarlo Carboni	Geologo	
Rosana Pla Orquin	Professionista Archeologo I Fascia	
Luca Doro	Professionista Archeologo I Fascia	
Gabriele Carenti	Professionista Archeologo I Fascia	

Montana S.p.A.

Via Angelo Carlo Fumagalli 6, 20143 Milano
Tel. +39 02 54 11 81 73 | Fax +39 02 54 12 98 90

Milano (Sede Certificata ISO) | Brescia | Palermo | Cagliari | Roma | Siracusa

C. F. e P. IVA 10414270156

Cap. Soc. 600.000,00 €

www.montanambiente.com





INDICE

1.	PREMESSA	4
2.	NORMATIVE	6
3.	CARATTERISTICHE DEI MATERIALI IMPIEGATI	7
4.	CARATTERISTICHE DEI MATERIALI IMPIEGATI	8
5.	AZIONI AGENTI SUI MODULI FOTOVOLTAICI	11
5.1	AZIONE DEL VENTO	11
5.2	AZIONE DELLA NEVE	13
5.3	AZIONE SISMICA	14
6.	CARATTERISTICHE PROGRAMMA DI CALCOLO	16
6.1	DESCRIZIONE DEL PROGRAMMA SISMICAD	16
6.2	VERIFICA DELLE MEMBRATURE IN ACCIAIO	17
6.3	VERIFICA DELLE MEMBRATURE IN CEMENTO ARMATO	17
7.	PREDIMENSIONAMENTO DEI PALI DI FONDAZIONE	19
7.1	FORZE DI CALCOLO AGENTI SULLE FONDAZIONI	19
7.2	VERIFICHE PRELIMINARI DEI PALI	20
8.	PREDIMENSIONAMENTO BASAMENTI DI FONDAZIONE DELLE CABINE	21
8.1	CARATTERISTICHE GEOMETRICHE	21
8.2	AZIONI AGENTI	21
8.3	VERIFICHE DEI BASAMENTI	21
9.	PREDIMENSIONAMENTO RECINZIONE ED ACCESSI	22
9.1	CARATTERISTICHE GEOMETRICHE	22
9.2	AZIONI AGENTI	23
9.3	VERIFICHE ELEMENTI PORTANTI	23

ALLEGATO/APPENDICE

ALLEGATO 01	Dati di definizione delle strutture di sostegno dei pannelli fotovoltaici
ALLEGATO 02	Sezioni e materiali
ALLEGATO 03	Verifiche strutture di sostegno pannelli FV
ALLEGATO 04	Verifiche geotecniche dei pali
ALLEGATO 05	Dati di definizione per dimensionamento basamenti
ALLEGATO 06	Verifiche basamenti cabine
ALLEGATO 07	Sezioni e materiali recinzioni e accessi
ALLEGATO 08	Dati di definizione per dimensionamento recinzione ed accesso carraio/pedonale
ALLEGATO 09	Verifiche strutture recinzione e accesso carraio/pedonale



1. PREMESSA

Il progetto in questione prevede la realizzazione, attraverso la società di scopo FLYNIS PV 42 S.r.l., di un impianto solare fotovoltaico in alcuni terreni a ovest del territorio comunale di Carbonia (CI) di potenza pari a 56,55 MW su un'area catastale di circa 155,03 ettari complessivi di cui circa 87,61 ha recintati.

FLYNIS PV 42 S.r.l., è una società italiana con sede legale in Italia nella città di Milano (MI). Le attività principali del gruppo sono lo sviluppo, la progettazione e la realizzazione di impianti di medie e grandi dimensioni per la produzione di energia da fonti rinnovabili.

La tecnologia impiantistica prevede l'installazione di moduli fotovoltaici bifacciali che saranno installati su strutture mobili (tracker) di tipo monoassiale mediante palo infisso nel terreno.

Le strutture saranno posizionate in maniera da consentire lo sfruttamento agricolo ottimale del terreno, i pali di sostegno delle strutture tracker sono posizionati distanti tra loro di 12 metri. Tali distanze sono state applicate per consentire la coltivazione e garantire la giusta illuminazione al terreno, mentre i pannelli sono distribuiti in maniera da limitare al massimo l'ombreggiamento. Saranno utilizzate due tipologie di strutture composte rispettivamente da 28 (tipo 1) e 14 (tipo 2) moduli.

Inoltre, all'interno di una sezione dell'impianto, è prevista l'installazione di un sistema di batterie di accumulo (BESS) con potenza pari a 25 MW per 4 ore.

I terreni non occupati dalle strutture dell'impianto continueranno ad essere adibiti ad uso agricolo; in particolare è prevista, per una porzione dell'impianto pari a 10,94 ha, la piantumazione e coltivazione di mandorleti (secondo il modello superintensivo), e per la restante porzione, pari a 76,68 ha, verranno piantumate e coltivate le specie foraggere annuali destinate allo sfalcio e alla fienagione.

Il progetto rispetta i requisiti riportati all'interno delle "Linee Guida in materia di Impianti Agrivoltaici" in quanto la superficie minima per l'attività agricola è pari al 77,7% mentre la LAOR (percentuale di superficie ricoperta dai moduli) è pari al 36,3%.

La corrente elettrica prodotta dai moduli fotovoltaici sarà convertita e trasformata tramite l'installazione di 15 Power Station. Infine, l'impianto fotovoltaico sarà allacciato, con soluzione in cavo interrato di lunghezza pari a circa 8,60 km, in antenna a 36 kV con la sezione a 36 kV di una futura Stazione Elettrica (SE) di trasformazione RTN 220/36 kV da inserire in entra -esce alla linea RTN 220 kV "Sulcis-Oristano".

Le opere previste a progetto consistono in:

- strutture di sostegno dei pannelli fotovoltaici;
- basamenti cabine elettriche a servizio dell'impianto e del sistema BESS;
- gli elementi costituenti la recinzione dell'impianto, ovvero pali di sostegno recinzione e pilastri accessi carrai e pedonali.



2. NORMATIVE

D.M. LL. PP. 11-03-88: Norme Tecniche riguardanti le indagini sui terreni e sulle rocce, la stabilità dei pendii naturali e delle scarpate, i criteri generali e le prescrizioni per la progettazione, l'esecuzione ed il collaudo delle opere di sostegno delle terre e delle opere di fondazione.

Circolare Ministeriale del 24-07-88, n. 30483/STC.

Legge 02-02-74 n. 64, art. 1 - D.M. 11-03-88: Norme Tecniche riguardanti le indagini sui terreni e sulle rocce, la stabilità dei pendii naturali e delle scarpate, i criteri generali e le prescrizioni per la progettazione, l'esecuzione ed il collaudo delle opere di sostegno delle terre e delle opere di fondazione.

Norme Tecniche per le Costruzioni - D.M. 17-01-18: Sicurezza e prestazioni attese (cap.2), Azioni sulle costruzioni (cap.3), Costruzioni in calcestruzzo (par.4.1), Costruzioni in legno (par.4.4), Costruzioni in muratura (par.4.5), Progettazione geotecnica (cap.6), Progettazione per azioni sismiche (cap.7), Costruzioni esistenti (cap.8), Riferimenti tecnici (cap.12), EC3.

Circolare 7 21-01-19 C.S.LL.PP: Istruzioni per l'applicazione dell'Aggiornamento delle N.T.C. di cui al decreto ministeriale 17 gennaio 2018.

Eurocodice 3 UNI ENV 1993-1-1:1994, Eurocodice 3 UNI EN 1993-1-1:2014 Luglio 2014, Eurocodice 3 UNI ENV 1993-1-3:2000, Eurocodice 3 UNI EN 1993-1-3:2007 Gennaio 2007, Eurocodice 3 EN 1993-1-8:2005



3. CARATTERISTICHE DEI MATERIALI IMPIEGATI

Le caratteristiche dei materiali impiegati nei calcoli sono le seguenti:

- Classe di resistenza del calcestruzzo per basamenti cabine C28/35
- Classe di esposizione ambientale XC4, XA2 e XS1
- Classe di consistenza S4
- Copriferro:
 - Calcestruzzo gettato contro il terreno e permanentemente a contatto con esso 75mm
 - Calcestruzzo a contatto con il terreno o con acqua 50mm
 - Calcestruzzo non a contatto con il terreno o con acqua 40mm
- Acciaio: Barre ad aderenza migliorata tipo B450C
- Acciaio strutturale: Fe360

4. CARATTERISTICHE DEI MATERIALI IMPIEGATI

I moduli fotovoltaici previsti nel sito di progetto sono costituiti da pannelli fotovoltaici di dimensioni indicative 1303mm x 2384mm predisposti lungo il lato corto su doppia fila su due tipologie differenti di tracker, ovvero;

- Tracker di lunghezza complessiva 19,00 mt (Tipo 1); prevede l'adozione di un portale da 28 moduli con passo tra i montanti di 6,10 mt (rif. Figura 4.1: Geometria portale di sostegno pannelli fotovoltaici Tipo 1) ;
- Tracker di lunghezza complessiva 9,78 mt (Tipo 2); prevede l'adozione di un portale da 14 moduli con passo tra i montanti di 2,09 mt (rif. Figura 4.2: Geometria portale di sostegno pannelli fotovoltaici Tipo 2).

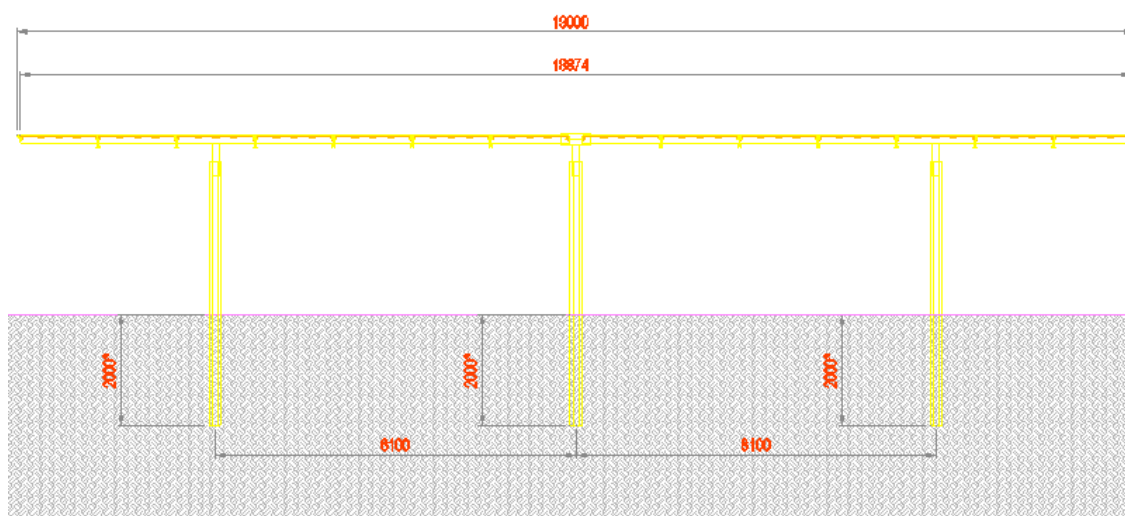


Figura 4.1 – Geometria portale di sostegno pannelli fotovoltaici Tipo 1

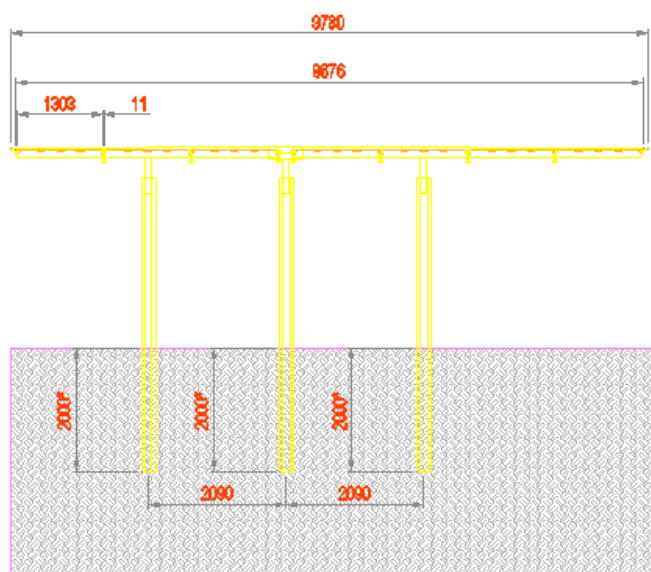


Figura 4.2 – Geometria portale di sostegno pannelli fotovoltaici Tipo 2

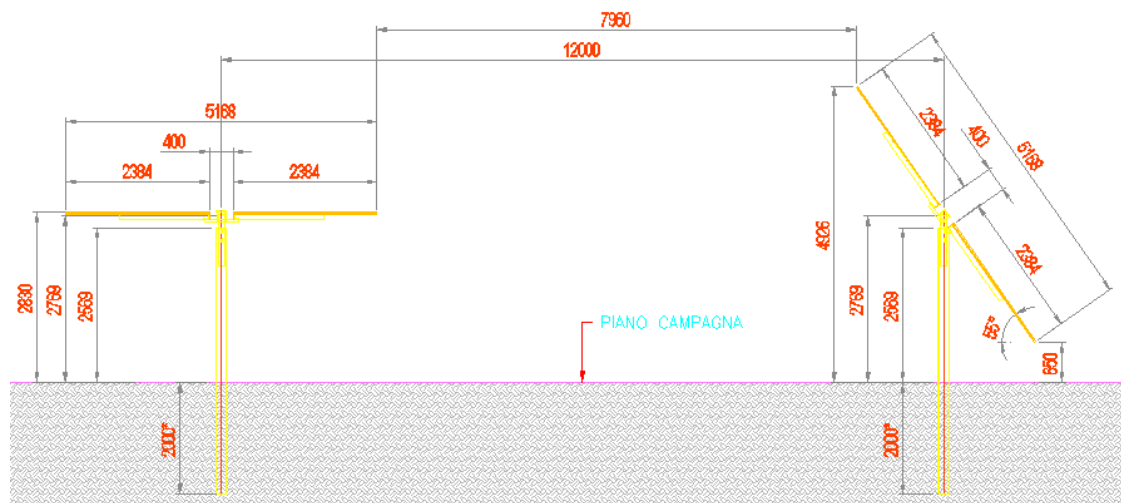


Figura 4.3 – Sezione trasversale impianto

La fondazione della struttura di sostegno dei pannelli fotovoltaici sarà costituita da profili in acciaio infissi nel terreno per una profondità minima come da verifiche nel seguito riportate e comunque tale da garantire la stabilità della “vela” costituita dall’insieme dei pannelli e della struttura a sostegno.

Come mostrato negli elaborati di progetto si è proceduto considerando uno “schema tipo”, che presenta caratteristiche tecnico-costruttive analoghe a quelle desumibili dai prodotti commerciali più comunemente utilizzati per impianti FV simili a quello in oggetto.

Lo schema statico utilizzato per le verifiche risulta essere il seguente:

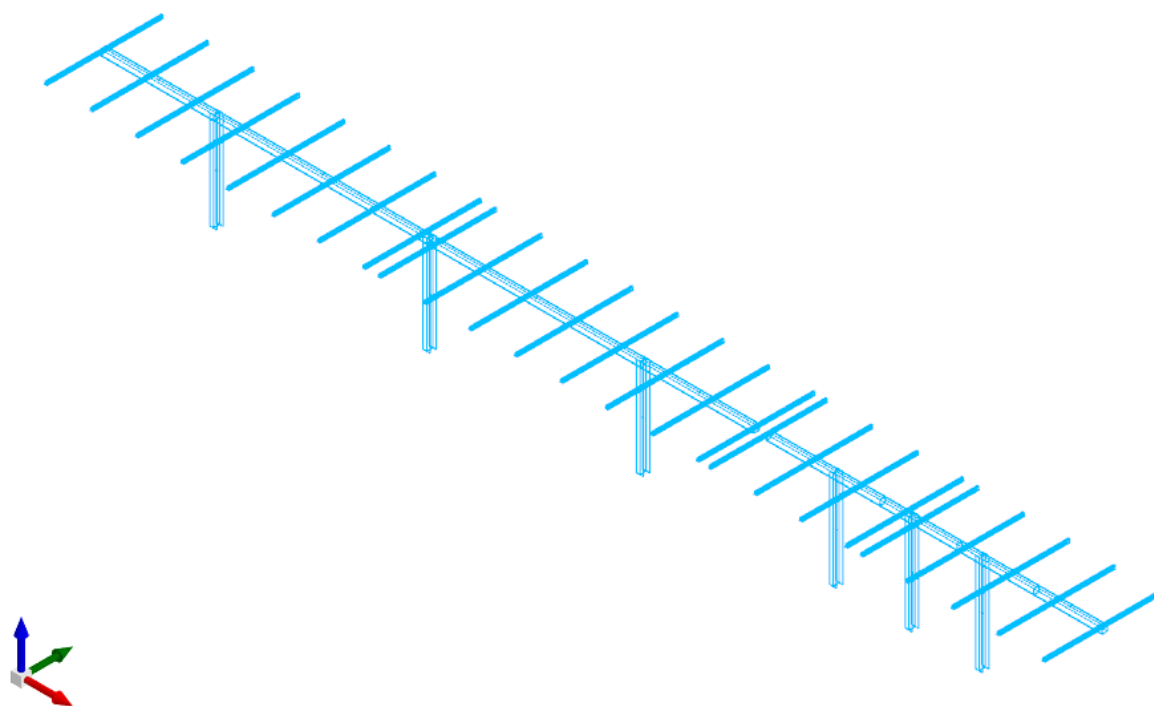


Figura 4.4 – Vista assometrica modello strutturale con posizione della “vela” orizzontale

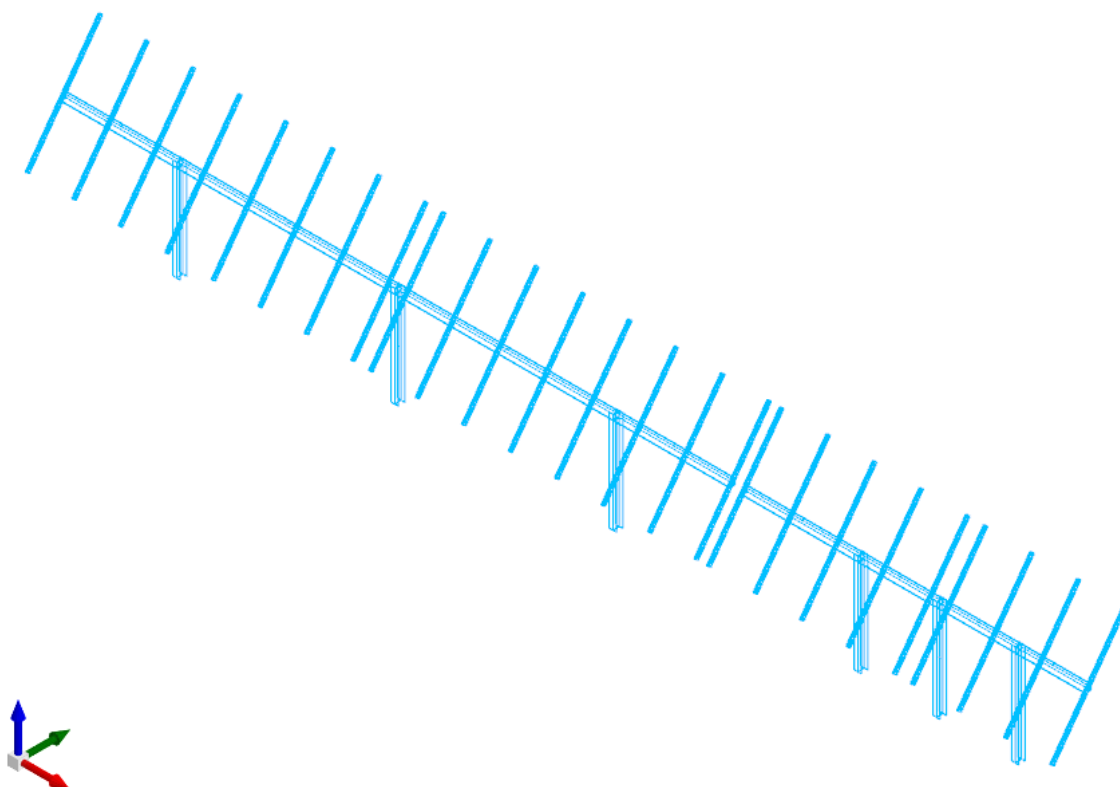


Figura 4.5 – Vista assonometrica modello strutturale con posizione della “vela” inclinata di 55°

La struttura di sostegno dei pannelli è costituita dai seguenti profilati riportati in Tabella 1

Tabella 1 – Dati geometrici profili in acciaio struttura di sostegno pannelli

Elemento	Sezione	Materiale
Montanti	HEA 200 [montanti centrali]	Acciaio Fe360
Traversi	Tubi rettangolari 160x160x10 [dimensioni in mm]	Acciaio Fe360
Elementi di sostegno pannelli	Profili omega 80x40x25x3 [dimensioni in mm]	Acciaio Fe360

5. AZIONI AGENTI SUI MODULI FOTOVOLTAICI

Il dimensionamento preliminare del plinto di sostegno è svolto applicando le combinazioni allo SLU (statica e sismica), previste nel DM 17 gennaio 2018 “Norme tecniche per le costruzioni” (NTC 2018), alle sollecitazioni presenti sulla struttura, in particolare dei carichi variabili dovuti al vento (azione di carico variabile principale) e alla neve (azione di carico variabile secondaria) e all’azione sismica definita mediante il metodo pseudostatico.

5.1 AZIONE DEL VENTO

Il vento, la cui direzione si considera generalmente orizzontale, esercita sulle costruzioni azioni che variano nel tempo e nello spazio provocando effetti dinamici.

Per le costruzioni tali azioni sono generalmente ricondotte alle azioni statiche equivalenti descritte in seguito.

Velocità di riferimento

La determinazione dell’azione del vento sulla costruzione parte dall’individuazione della velocità di riferimento v_b , definita come il valore caratteristico della velocità misurata a 10 metri dal suolo su un intervallo di tempo di 10 minuti del vento; tale velocità corrisponde ad un periodo di ritorno di $T = 50$ anni.

Otterremo quindi, dai dati forniti dalla tabella relativa i parametri di macrozonazione per il vento, tratta dalle “Norme tecniche per le costruzioni”, il seguente valore:

$v_b = 28 \text{ m/s}$ (valore per la ZONA 6)

Coefficiente di esposizione (microzonazione)

Il coefficiente di esposizione C_e dipende dall’altezza z sul suolo del punto considerato, dalla topografia del terreno e dalla categoria di esposizione del sito ove sorge l’impianto fotovoltaico.

Per altezze sul suolo non maggiori di $z = 200 \text{ m}$, esso è dato dalla seguente formula:

- $C_e(z) = C_e(z_{\min})$ per $z < z_{\min}$
- $C_e(z) = k_{r2} * C_t * \ln(z/z_0) * [7 + C_t * \ln(z/z_0)]$ per $z \geq z_{\min}$

dove k_r , z_0 e z_{\min} sono assegnati nella seguente tabella:

Tabella 2 – Parametri per la definizione del coefficiente di esposizione

Categoria di esposizione del sito	k_r	z_0 (m)	z_{\min} (m)
I	0,17	0,01	2
II	0,19	0,05	4
III	0,20	0,10	5
IV	0,22	0,30	8
V	0,23	0,70	12

In mancanza di analisi specifiche che tengano conto sia della direzione di provenienza del vento sia delle variazioni di rugosità e topografia del terreno, la categoria di esposizione è assegnata in funzione

della posizione geografica dell'area di progetto e della classe di rugosità definita nella tabella seguente.

Tabella 3 - Parametri per la definizione del coefficiente di esposizione

Classe di rugosità del terreno	Descrizione
A	Aree urbane in cui almeno il 15% della superficie sia coperto da edifici la cui altezza media superi i 15 metri
B	Aree urbane (non di classe A), suburbane, industriali e boschive
C	Aree con ostacoli diffusi (alberi, case, muri recinzioni,); aree con rugosità non riconducibile alle classi A, B, D
D	Aree prive di ostacoli (aperta campagna aeroporti, aree agricole, pascoli, zone paludose o sabbiose, superfici innevate o ghiacciate, mare, laghi, ...)

Prendendo atto che il sito è caratterizzato da classe di rugosità D e in prossimità della costa, per la Zona 3 le tabelle delle "Norme tecniche per le costruzioni" ci indicano, per l'area di progetto, una categoria di esposizione di classe II.

Dalle curve per il calcolo del coefficiente di esposizione contenute nelle "Norme tecniche per le costruzioni" si giunge quindi alla conclusione che C_e risulterà pari a 1,80 lungo tutta la struttura.

Coefficiente dinamico

Il coefficiente dinamico C_d tiene conto degli effetti riduttivi associati alla non contemporaneità delle massime pressioni locali e degli effetti amplificativi dovuti alla risposta dinamica della struttura.

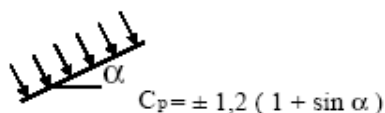
Esso, nel caso in oggetto, può essere assunto pari a 1.

Coefficiente di forma

Il coefficiente di forma C_p è stato determinato considerando che la vela può essere assimilata a una tettoia o pensilina ad un solo spiovente piano con angolo di inclinazione pari a 55°.

$$C_p = \pm 1,2 (1 + \sin \alpha)$$

Uno spiovente piano



Esso, nel caso in oggetto, può essere assunto pari a $\pm 2,18$.

Pressione cinetica di riferimento

La pressione cinetica di riferimento q_b è data dall'espressione:

$$q_b = \frac{1}{2} \rho * (v_b)^2$$

dove:



- v_b è la velocità di riferimento del vento [m/s]
- ρ è la densità dell'aria che può essere assunta pari a $1,25 \text{ Kg/m}^3$

Nel nostro caso avremo $q_b = 207 \text{ N/mq}$.

Pressione del vento

La pressione del vento è data dall'espressione:

$$p = q_b * c_e * c_p * c_d$$

dove:

- q_b è la pressione cinetica di riferimento [N/m^2]
- c_e è il coefficiente di esposizione
- c_d è il coefficiente dinamico
- c_p è il coefficiente di forma

Nel nostro caso avremo un valore $p = \pm 1,88 \text{ kN/m}^2$.

Azioni statiche equivalenti

Le azioni statiche del vento sono costituite da pressioni e depressioni agenti normalmente alle superfici, sia esterne che interne, degli elementi che compongono l'impianto.

L'azione del vento sul singolo elemento, scomposta secondo la direzione verticale e orizzontale, viene determinata considerando la condizione più gravosa della pressione agente sulla superficie esterna o della pressione agente sulla superficie interna dell'elemento incrementando la pressione esercitata dal vento.

5.2 AZIONE DELLA NEVE

Il carico provocato dalla neve sui pannelli sarà valutato mediante la seguente espressione:

$$q_s = \mu_i * q_{sk} * C_E * C_t$$

dove:

- q_s è il carico neve sulla copertura
- μ_i è il coefficiente di forma della copertura
- q_{sk} è il valore caratteristico di riferimento del carico neve al suolo [kN/m^2] per un periodo di ritorno di 50 anni
- C_E è il coefficiente di esposizione
- C_t è il coefficiente termico

Si ipotizza che il carico neve agisca in direzione verticale e lo si riferisce alla proiezione orizzontale della superficie della copertura.

Valore caratteristico del carico neve al suolo

Il carico neve al suolo dipende dalle condizioni locali di clima e di esposizione, considerata la variabilità delle precipitazioni nevose da zona a zona.

Per la determinazione del carico neve si fa riferimento ai seguenti valori, indicativi per la zona nella quale ricade l'area di progetto:

- $q_{sk} = 1,00 \text{ [kN/m}^2\text{]}$ $a_s \leq 200 \text{ m}$
- $q_{sk} = 0,85 * [1 + (a_s / 481)^2] \text{ [kN/m}^2\text{]}$ $a_s \geq 200 \text{ m}$

dove as rappresenta la quota sul livello del mare.

Per il sito in esame si ha un valore di q_{sk} pari a 1,00kN/m².

Coefficiente di esposizione

Il coefficiente di esposizione C_E può essere utilizzato per modificare il valore del carico neve in copertura in funzione delle caratteristiche specifiche dell'area in cui sorge l'impianto.

Valori consigliati del coefficiente di esposizione per diverse classi di topografia sono forniti nella tabella seguente. Nel caso in questione si assegna a C_E un valore pari a 0,9.

Tabella 4 – Valori di C_E per diverse classi di tipografia

Topografia	Descrizione	C_E
Battuta dai venti	Aree pianeggianti non ostruite esposte su tutti i lati senza costruzioni o alberi più alti	0,9
Normale	Aree in cui non è presente una significativa rimozione di neve sulla costruzione prodotta dal vento, a causa del terreno, altre costruzioni o alberi	1,0
Riparata	Aree in cui la costruzione considerata è sensibilmente più bassa del circostante terreno o accerchiata da costruzioni o alberi più bassi	1,1

Coefficiente termico

Il coefficiente termico può essere utilizzato per tener conto della riduzione del carico neve a causa dello scioglimento della stessa, causata dalla perdita di calore della costruzione.

Tale coefficiente tiene conto delle proprietà di isolamento termico del materiale utilizzato in copertura. Nel caso in esame viene utilizzato $C_T = 1$

Coefficiente di forma

Il coefficiente di forma μ_i , determinato in riferimento all'angolo formato dai moduli con l'orizzontale. Considerando che i pannelli risultano fissi rispetto all'orizzontale con inclinazione di 55° si è determinato un valore μ_i pari a 0,133.

Calcolo del Carico Neve

Considerando tutti i parametri utili al calcolo del carico neve, definito in precedenza dalla formula:

$$q_s = \mu_i * q_{sk} * C_E * C_t$$

avremo un valore di pari a **0,12 kN/m²**. [Ai fini dei calcoli si adotta un valore conservativo di 1 kN/m²].

5.3 AZIONE SISMICA

Ai fini dell'analisi sismica i parametri utilizzati per la determinazione dell'azione sismica sono:

Metodo di analisi	D.M. 17-01-18 (N.T.C.)
Tipo di costruzione	2 - Costruzioni con livelli di prestazioni ordinari
Vn	50



Classe d'uso	II
Vr	50
Tipo di analisi	Lineare statica
Considera sisma Z	Solo se $A_g \geq 0.15$ g, conformemente a §3.2.3.1
Località	Sardegna; Latitudine ED50 39,1859° (39° 11' 9"); Longitudine ED50 8,4706° (8° 28' 14"); Altitudine s.l.m. 61,03 m.
Categoria del suolo	B – Rocce tenere e depositi di terreni a grana grossa molto addensati o terreni a grana fina molto consistenti
Categoria topografica	T1 - Superficie pianeggiante, pendii e rilievi isolati con inclinazione media $i \leq 15^\circ$
Ss orizzontale SLD	1.2
Tb orizzontale SLD	0.138 [s]
Tc orizzontale SLD	0.415 [s]
Td orizzontale SLD	1.694 [s]
Ss orizzontale SLV	1.2
Tb orizzontale SLV	0.155 [s]
Tc orizzontale SLV	0.464 [s]
Td orizzontale SLV	1.8 [s]
St	1
PVr SLD (%)	63
Tr SLD	50
Ag/g SLD	0.0235
Fo SLD	2.672
Tc* SLD	0.296 [s]
PVr SLV (%)	10
Tr SLV	475
Ag/g SLV	0.5
Fo SLV	2.884
Tc * SLV	0.34

Gli spettri di risposta utilizzati per le verifiche sismiche conseguenti alle assunzioni sopra evidenziate sono riportati in "ALLEGATO 1 – Dati di definizione delle strutture"



6. CARATTERISTICHE PROGRAMMA DI CALCOLO

6.1 DESCRIZIONE DEL PROGRAMMA SISMICAD

Si tratta di un programma di calcolo strutturale che nella versione più estesa è dedicato al progetto e verifica degli elementi in cemento armato, acciaio, muratura e legno di opere civili. Il programma utilizza come analizzatore e solutore del modello strutturale un proprio solutore agli elementi finiti tridimensionale fornito col pacchetto. Il programma è sostanzialmente diviso in tre moduli: un pre processore che consente l'introduzione della geometria e dei carichi e crea il file dati di input al solutore; il solutore agli elementi finiti; un post processore che a soluzione avvenuta elabora i risultati eseguendo il progetto e la verifica delle membrature e producendo i grafici ed i tabulati di output.

Denominazione del software: Sismicad 12.21

Produttore del software: Concrete

Concrete srl, via della Pieve, 19, 35121 PADOVA - Italy

<http://www.concrete.it>

Rivenditore: CONCRETE SRL - Via della Pieve 19 - 35121 Padova - tel.049-8754720

Versione: 12.21

Identificatore licenza: SW-8672175

Intestatario della licenza: AIRES ING. MAURO - VIA G. VERDI, 40 - COLLEGNO (TO)

Versione regolarmente licenziata

Il programma schematizza la struttura attraverso l'introduzione nell'ordine di fondazioni, poste anche a quote diverse, platee, platee nervate, plinti e travi di fondazione poggianti tutte su suolo elastico alla Winkler, di elementi verticali, pilastri e pareti in c.a. anche con fori, di orizzontamenti costituiti da solai orizzontali e inclinati (falde), e relative travi di piano e di falda; è ammessa anche l'introduzione di elementi prismatici in c.a. di interpiano con possibilità di collegamento in inclinato a solai posti a quote diverse. I nodi strutturali possono essere connessi solo a travi, pilastri e pareti, simulando così impalcati infinitamente deformabili nel piano, oppure a elementi lastra di spessore dichiarato dall'utente simulando in tal modo impalcati a rigidità finita. I nodi appartenenti agli impalcati orizzontali possono essere connessi rigidamente ad uno o più nodi principali giacenti nel piano dell'impalcato; generalmente un nodo principale coincide con il baricentro delle masse. Tale opzione, oltre a ridurre significativamente i tempi di elaborazione, elimina le approssimazioni numeriche connesse all'utilizzo di elementi lastra quando si richiede l'analisi a impalcati infinitamente rigidi. Per quanto concerne i carichi, in fase di immissione dati, vengono definite, in numero a scelta dell'utente, condizioni di carico elementari le quali, in aggiunta alle azioni sismiche e variazioni termiche, vengono combinate attraverso coefficienti moltiplicativi per fornire le combinazioni richieste per le verifiche successive. L'effetto di disassamento delle forze orizzontali, indotto ad esempio dai torcenti di piano per costruzioni in zona sismica, viene simulato attraverso l'introduzione di eccentricità planari aggiuntive le quali costituiscono ulteriori condizioni elementari di carico da cumulare e combinare secondo i criteri del paragrafo precedente. Tipologicamente sono ammessi sulle travi e sulle pareti carichi uniformemente distribuiti e carichi trapezoidali; lungo le aste e nei nodi di incrocio delle membrature sono anche definibili componenti di forze e coppie concentrate comunque dirette nello spazio. Sono previste distribuzioni di temperatura, di intensità a scelta dell'utente, agenti anche su singole porzioni di struttura. Il calcolo delle sollecitazioni si basa sulle seguenti ipotesi e modalità: - travi e pilastri deformabili a sforzo normale, flessione deviata, taglio deviato e momento torcente. Sono previsti coefficienti riduttivi dei momenti di inerzia a scelta dell'utente per considerare la



riduzione della rigidità flessionale e torsionale per effetto della fessurazione del conglomerato cementizio. È previsto un moltiplicatore della rigidità assiale dei pilastri per considerare, se pure in modo approssimato, l'accorciamento dei pilastri per sforzo normale durante la costruzione. - le travi di fondazione su suolo alla Winkler sono risolte in forma chiusa tramite uno specifico elemento finito; - le pareti in c.a. sono analizzate schematizzandole come elementi lastra-piastra discretizzati con passo massimo assegnato in fase di immissione dati; - le pareti in muratura possono essere schematizzate con elementi lastra-piastra con spessore flessionale ridotto rispetto allo spessore membranale. - I plinti su suolo alla Winkler sono modellati con la introduzione di molle verticali elastoplastiche. La traslazione orizzontale a scelta dell'utente è bloccata o gestita da molle orizzontali di modulo di reazione proporzionale al verticale. - I pali sono modellati suddividendo l'asta in più aste immerse in terreni di stratigrafia definita dall'utente. Nei nodi di divisione tra le aste vengono inserite molle assialsimmetriche elastoplastiche precaricate dalla spinta a riposo che hanno come pressione limite minima la spinta attiva e come pressione limite massima la spinta passiva modificabile attraverso opportuni coefficienti. - i plinti su pali sono modellati attraverso aste di rigidità elevata che collegano un punto della struttura in elevazione con le aste che simulano la presenza dei pali; - le piastre sono discretizzate in un numero finito di elementi lastra-piastra con passo massimo assegnato in fase di immissione dati; nel caso di platee di fondazione i nodi sono collegati al suolo da molle aventi rigidità alla traslazione verticale ed richiesta anche orizzontale. - La deformabilità nel proprio piano di piani dichiarati non infinitamente rigidi e di falde (piani inclinati) può essere controllata attraverso la introduzione di elementi membranali nelle zone di solaio. - I disassamenti tra elementi asta sono gestiti automaticamente dal programma attraverso la introduzione di collegamenti rigidi locali. - Alle estremità di elementi asta è possibile inserire svincolamenti tradizionali così come cerniere parziali (che trasmettono una quota di ciò che trasmetterebbero in condizioni di collegamento rigido) o cerniere plastiche. - Alle estremità di elementi bidimensionali è possibile inserire svincolamenti con cerniere parziali del momento flettente avente come asse il bordo dell'elemento. - Il calcolo degli effetti del sisma è condotto, a scelta dell'utente, con analisi statica lineare, con analisi dinamica modale o con analisi statica non lineare, in accordo alle varie normative adottate. Le masse, nel caso di impalcati dichiarati rigidi sono concentrate nei nodi principali di piano altrimenti vengono considerate diffuse nei nodi giacenti sull'impalcato stesso. Nel caso di analisi sismica vengono anche controllati gli spostamenti di interpiano.

6.2 VERIFICA DELLE MEMBRATURE IN ACCIAIO

Le verifiche delle membrature in acciaio (solo per utenti Sismicad acciaio) possono essere condotte secondo CNR 10011 (stato limite o tensioni ammissibili), CNR 10022, D.M. 14-01-08, al D.M. 17-01-18 o Eurocodice 3. Sono previste verifiche di resistenza e di instabilità. Queste ultime possono interessare superelementi cioè membrature composte di più aste. Le verifiche tengono conto, ove richiesto, della distinzione delle condizioni di carico in normali o eccezionali (I e II) previste dalle normative adottate.

Negli allegati alla presente relazione sono riportati gli output del programma di calcolo:

- Allegato 1: Dati di definizione delle strutture di sostegno dei pannelli fotovoltaici
- Allegato 2: Sezioni e materiali
- Allegato 3: Verifiche strutture di sostegno pannelli FV

Il dimensionamento e le verifiche strutturali delle membrature in acciaio costituenti il sistema portante dei pannelli fotovoltaici, svolte sia in condizioni statiche sia sismiche per i casi "vela orizzontale" e "vela inclinata di 55°" risultano soddisfatte.

6.3 VERIFICA DELLE MEMBRATURE IN CEMENTO ARMATO

Nel caso più generale le verifiche degli elementi in c.a. possono essere condotte col metodo delle tensioni ammissibili (D.M. 14-1-92) o agli stati limite in accordo al D.M. 09-01-96, al D.M. 14-01-08, al



D.M. 17-01-18 o secondo Eurocodice 2. Le travi sono progettate e verificate a flessione retta e taglio; a richiesta è possibile la verifica per le sei componenti della sollecitazione. I pilastri ed i pali sono verificati per le sei componenti della sollecitazione. Per gli elementi bidimensionali giacenti in un medesimo piano è disponibile la modalità di verifica che consente di analizzare lo stato di verifica nei singoli nodi degli elementi. Nelle verifiche (a presso flessione e punzonamento) è ammessa la introduzione dei momenti di calcolo modificati in base alle direttive dell'EC2, Appendice A.2.8. I plinti superficiali sono verificati assumendo lo schema statico di mensole con incastri posti a filo o in asse pilastro. Gli ancoraggi delle armature delle membrature in c.a. sono calcolati sulla base della effettiva tensione normale che ogni barra assume nella sezione di verifica distinguendo le zone di ancoraggio in zone di buona o cattiva aderenza. In particolare il programma valuta la tensione normale che ciascuna barra può assumere in una sezione sviluppando l'aderenza sulla superficie cilindrica posta a sinistra o a destra della sezione considerata; se in una sezione una barra assume per effetto dell'aderenza una tensione normale minore di quella ammissibile, il suo contributo all'area complessiva viene ridotto dal programma nel rapporto tra la tensione normale che la barra può assumere per effetto dell'aderenza e quella ammissibile. Le verifiche sono effettuate a partire dalle aree di acciaio equivalenti così calcolate che vengono evidenziate in relazione. A seguito di analisi inelastiche eseguite in accordo a OPCM 3431 o D.M. 14-01-08, al D.M. 17-01-18 vengono condotte verifiche di resistenza per i meccanismi fragili (nodi e taglio) e verifiche di deformabilità per i meccanismi duttili.

Negli allegati alla presente relazione sono riportati gli output del programma di calcolo:

- Allegato 5: Dati di definizione per dimensionamento basamenti



7. PREDIMENSIONAMENTO DEI PALI DI FONDAZIONE

Nel presente capitolo si descrivono le verifiche con le quali è stata determinata la geometria della fondazione di sostegno dei pannelli fotovoltaici, fondazione costituita dal prolungamento del montante della struttura di supporto dei pannelli fotovoltaici.

I parametri geotecnici dei terreni considerati per il progetto delle opere di fondazione sono i seguenti:

Unità litologica "A"

Il sito si estende su corpi alluvionali pleistocenici estremamente addensati. Dal punto di vista geotecnico il substrato all'interno del quale si sviluppano le fondazioni delle strutture di sostegno dei pannelli fotovoltaici ha un comportamento simile alle arenarie.

Spessore variabile	$h = 5.00 \text{ m}$
Peso volume medio	$\gamma_m = 20 \text{ kN/m}^3$
Angolo di resistenza al taglio medio (tensioni efficaci, a lungo termine)	$\varphi_m' = 30^\circ$
Coesione drenata media (tensioni efficaci, a lungo termine)	$c'_m = 0 \text{ kN/m}^2$
Modulo di Edometrico medio	$E_m = 70 \text{ kg/cmq}$
Modulo di Poisson	$\nu = 0.32$
Modulo di Young dinamico	$E_{din} = 120 \text{ kg/cmq}$

Data l'estensione del sito si prescrive l'esecuzione, in fase di progettazione esecutiva, di prove geotecniche e geologiche specifiche per ogni area del sito al fine di verificare le caratteristiche del sottosuolo e la fattibilità delle opere di fondazione sotto proposte.

7.1 FORZE DI CALCOLO AGENTI SULLE FONDAZIONI

Come evidenziato nei capitoli precedenti la struttura di sostegno dei pannelli fotovoltaici risulta essere del tipo "mobile", con un'inclinazione variabile da 0° a 55° . Ne consegue che le sollecitazioni sui montanti, e quindi sui pali di fondazione, risultino variare a seconda della posizione della "vela".

Dalle verifiche effettuate si ricava che le massime sollecitazioni agenti sugli elementi di fondazione si riscontrano nella condizione "vela inclinata di 55° " rappresentate nella figura seguente.

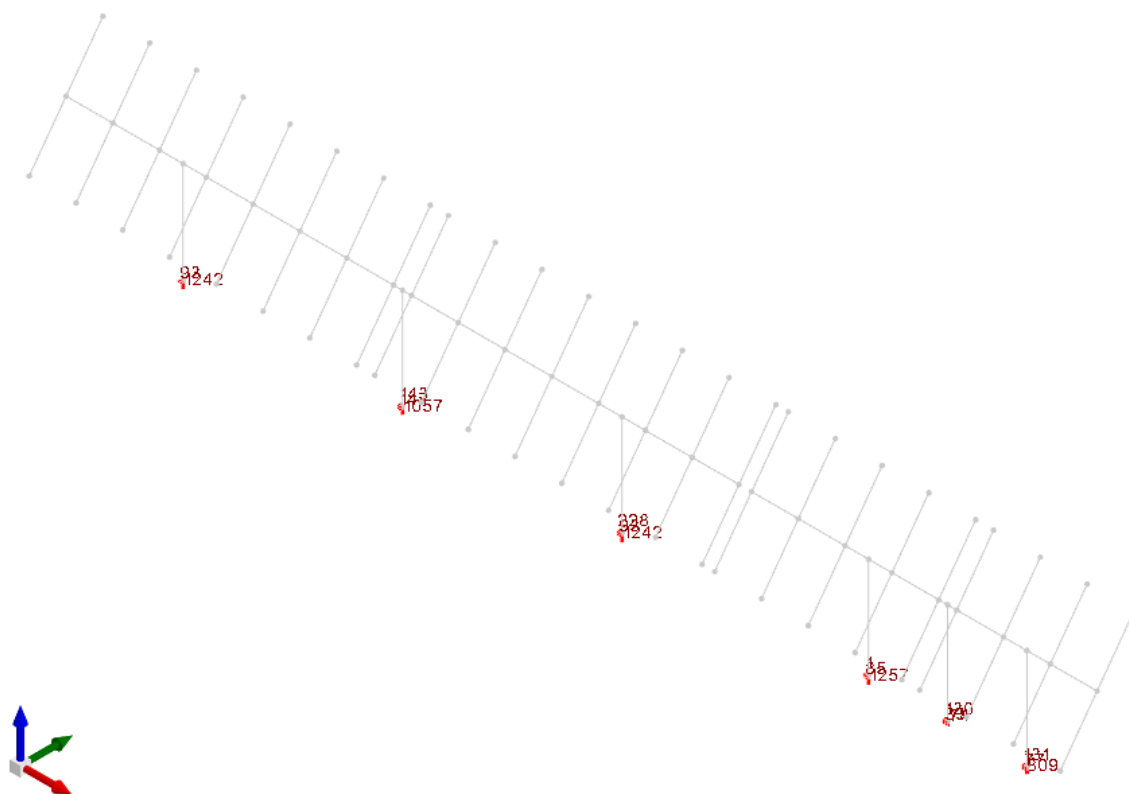


Figura 7.1 – Massime sollecitazioni di sforzo normale sugli elementi di fondazione nella condizione “vela” inclinata di 55°

7.2 VERIFICHE PRELIMINARI DEI PALI

Come già evidenziato nei capitoli precedenti la stabilità delle strutture di sostegno dei pannelli fotovoltaici sarà ottenuta mediante infissione nel terreno di profili metallici di pari sezione dei montanti dei portali di sostegno. Si tratta di profili HEA 200. Le verifiche su tali elementi di fondazione, dimensionati per la condizione più critica, ovvero per la vela composta da 28 pannelli, sono riportate nell'“ALLEGATO 4 – Verifiche geotecniche dei pali”. In sintesi dalle verifiche effettuate si riscontra quanto segue:

- palo infisso HEA 220: lunghezza minima palo 2,50 mt, minimo coefficiente di sicurezza riscontrabile pari a 1,20;



8. PREDIMENSIONAMENTO BASAMENTI DI FONDAZIONE DELLE CABINE

8.1 CARATTERISTICHE GEOMETRICHE

A servizio dell'impianto fotovoltaico sono previste più cabine di trasformazione e consegna dell'energia prodotta dai pannelli fotovoltaici ed una serie di apparecchiature elettriche necessarie alla conversione della corrente prodotta dai pannelli fotovoltaici per l'immissione nella rete elettrica nazionale [trasformatori, condensatori, etc.].

Di seguito vengono riportati i predimensionamenti dei basamenti delle seguenti cabine, le quali risultano essere le più ingombranti ed allestite con le apparecchiature più pesanti:

- Smistamento: all'interno di tale cabina, realizzata con un prefabbricato appositamente attrezzato, saranno posizionati le componenti elettriche di gestione e controllo dell'impianto;
- Magazzino: cabina destinata al deposito delle apparecchiature, delle componenti e dei cavi per la manutenzione dell'impianto;
- Cabinato BESS: cabinato destinato ad accogliere le batterie di accumulo dell'impianto.

8.2 AZIONI AGENTI

Per il dimensionamento dei basamenti di cui sopra i carichi applicati risultano descritti nell'ALLEGATO 5: Dati di definizione per dimensionamento basamenti". Le cabine risultano appoggiate su tali basamenti per cui si considera il solo carico trasmesso dalla neve come calcolato nel Cap. 5.2 al quale si rimanda per ogni chiarimento.

In sintesi i carichi applicati risultano essere i seguenti

- Cabina Smistamento:
 - Peso cabina [comprensiva di macchinari ed attrezzature]: 0,105 daN/cm²;
 - Sovraccarico variabile: 0,06 daN/cm².
- Cabina Magazzino:
 - Peso cabina: 0,07 daN/cm²;
 - Sovraccarico variabile: 0,06 daN/cm².
- Cabinato BESS:
 - Peso cabina: 0,115 daN/cm²;
 - Sovraccarico variabile: 0,06 daN/cm².

8.3 VERIFICHE DEI BASAMENTI

Negli allegati alla presente relazione sono riportati gli output del programma di calcolo:

- Allegato 5: Dati di definizione per dimensionamento basamenti
- Allegato 6: Verifiche basamenti cabine

Come evidenziato nell'"ALLEGATO 6: Verifiche basamenti cabine" le verifiche strutturali delle piastre e delle strutture di fondazione risultano soddisfatte.

9. PREDIMENSIONAMENTO RECINZIONE ED ACCESSI

9.1 CARATTERISTICHE GEOMETRICHE

L'intera area interessata sarà delimitata da una recinzione costituita da una rete metallica fissata a montanti in acciaio infissi in plinti di calcestruzzo interrati di dimensioni 40 x 50 cm. Tali elementi saranno posizionati con interasse pari a 3,00 mt.

La recinzione sarà realizzata secondo gli schemi grafici di progetto. Nella figura seguente si riporta, per maggiore chiarezza, lo schema longitudinale della recinzione:

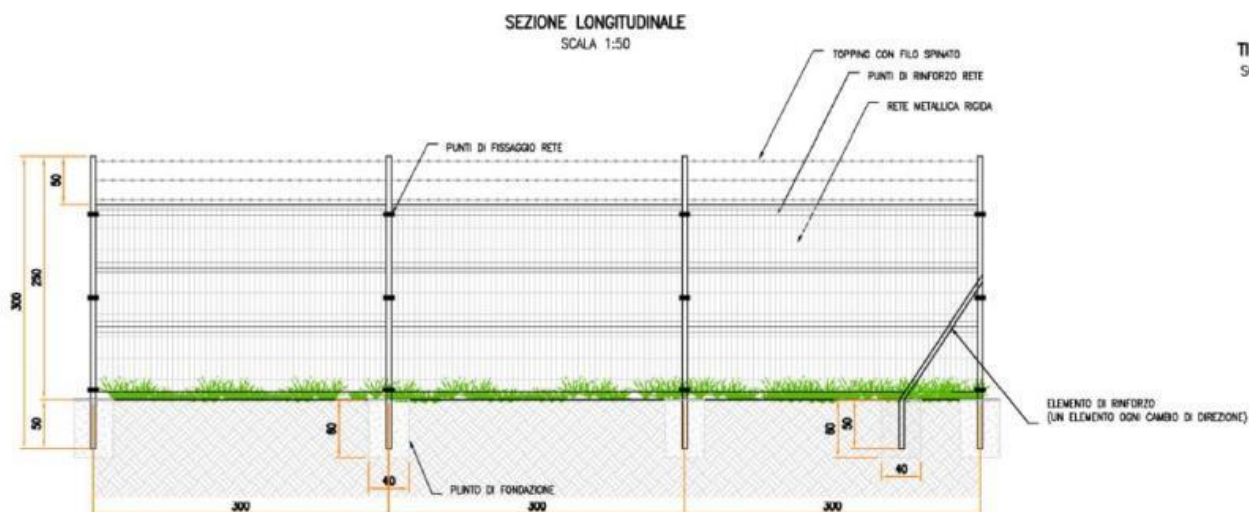


Figura 9.1 – Sezione longitudinale recinzione

I montanti verticali avranno un'altezza fuori terra di 2,50 mt e saranno infissi nei plinti di fondazione per una profondità di 50 cm.

La recinzione sarà realizzata con scatolari in acciaio zincato di sezione 50 x 50 mm spessore 2 mm.

Le caratteristiche geometriche ed inerziali di tali profili sono riportate nell'ALLEGATO 7 – Sezioni e materiali recinzioni e accessi".

L'accesso carraio e pedonale al campo fotovoltaico sarà costituito da un cancello metallico e da un cancelletto metallico incernierati a pilastri in acciaio fissati alla trave di fondazione secondo lo schema riportato nella figura seguente [sezione trave 70 x 50 cm]:

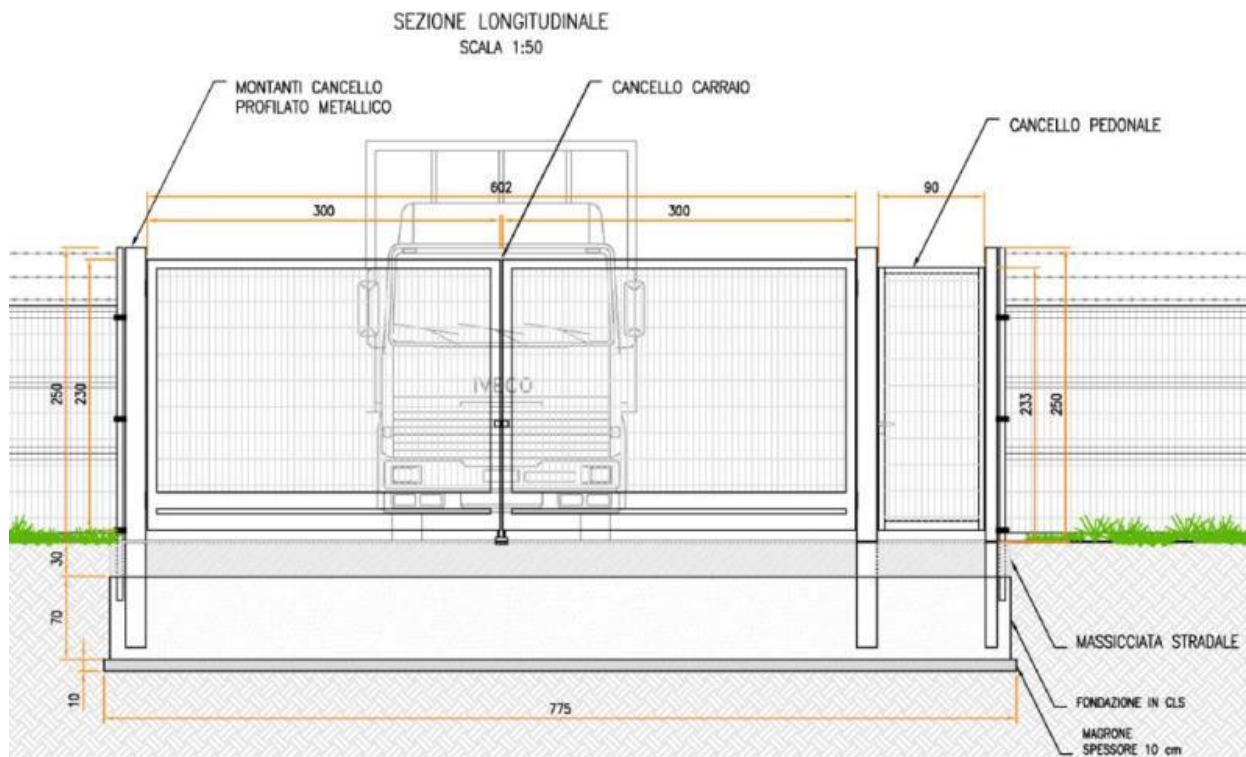


Figura 9.2 – Sezione longitudinale accesso carraio e pedonale

I pilastri del cancello metallico saranno realizzati con scatolari in acciaio zincato di sezione 150 x 150 mm spessore 5 mm, il pilastro del cancelletto pedonale sarà realizzato con uno scatolare in acciaio zincato di sezione 100 x 100 mm spessore 5 mm.

Le caratteristiche geometriche ed inerziali di tali profili sono riportate nell'ALLEGATO 8 – Sezioni e materiali recinzioni e accessi”.

9.2 AZIONI AGENTI

Gli elementi portanti della recinzione saranno sollecitati dall'azione del vento. Si ricorda che la recinzione sarà costituita da una rete in acciaio per cui l'azione del vento si considera applicata solo in parte, che a favore di sicurezza si stima pari al 50 % del suo valore.

I pilastri di sostegno del cancello e del cancelletto saranno soggetti, oltre all'azione del vento secondo i parametri utilizzati per il dimensionamento degli elementi portanti della recinzione, dal peso del cancello e da una coppia applicata in corrispondenza delle cerniere, per tener conto della condizione più sfavorevole, ovvero quando il portone ed il cancelletto saranno completamente aperti. I carichi sopra descritti sono riportati nell'ALLEGATO 7 – Dati di definizione per dimensionamento recinzione ed accessi”.

9.3 VERIFICHE ELEMENTI PORTANTI

Nell'ALLEGATO 9 – Verifiche strutture recinzione e accesso carraio/pedonale” sono riportati i risultati delle verifiche degli elementi portanti della recinzione e dell'accesso carraio/pedonale.

Tutti gli elementi, compresi quelli di fondazione, risultano verificati.



ALLEGATO 01 – DATI DI DEFINIZIONE STRUTTURE

PANNELLI FOTOVOLTAICI



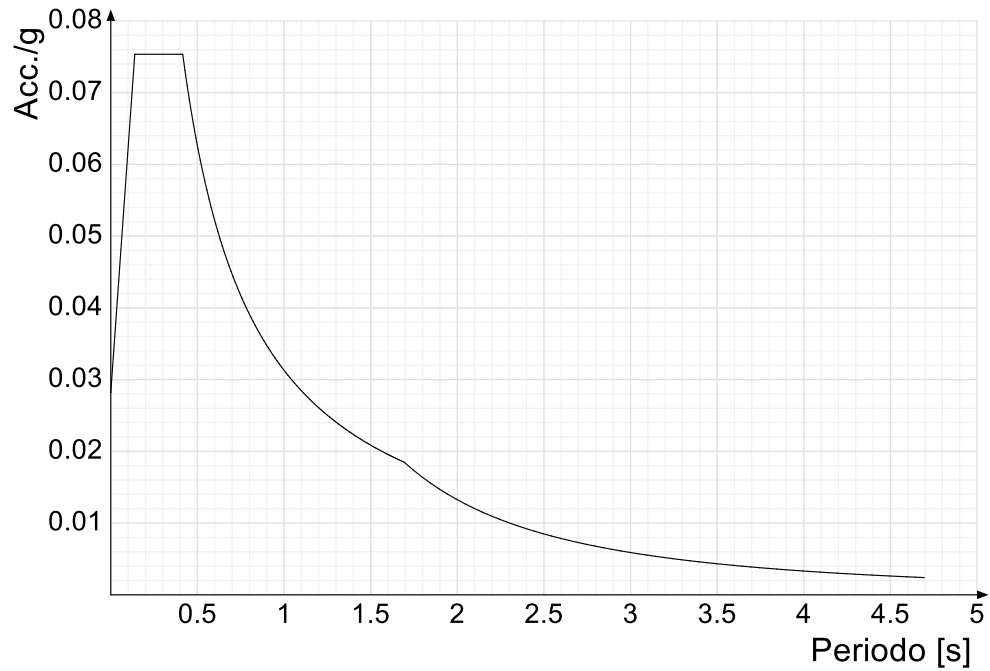
DATI DI DEFINIZIONE

Spettri D.M. 17-01-18

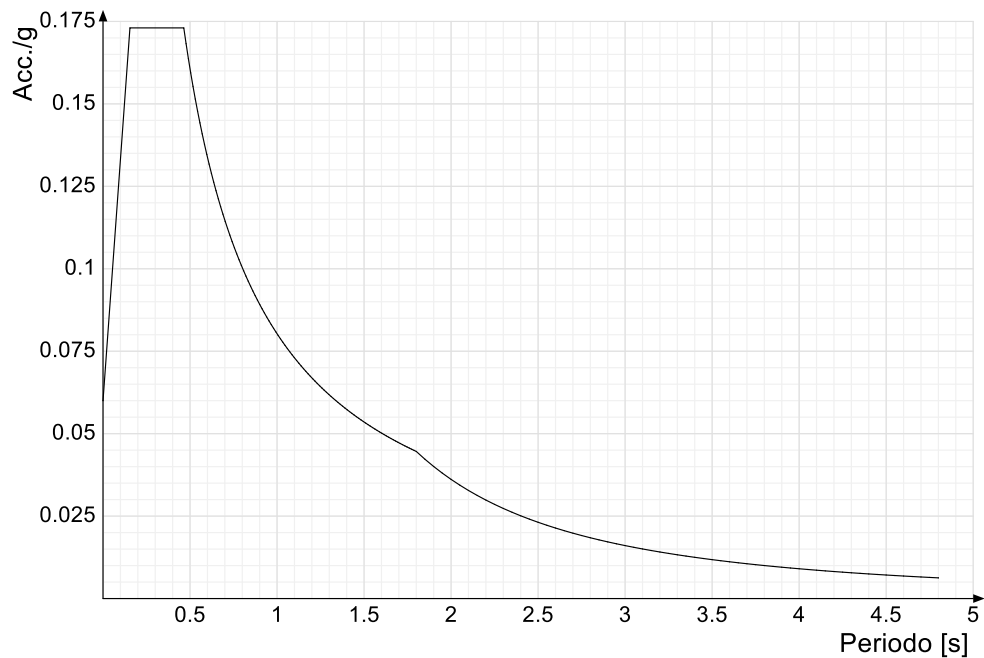
Acc./g: Accelerazione spettrale normalizzata ottenuta dividendo l'accelerazione spettrale per l'accelerazione di gravità.

Periodo: Periodo di vibrazione.

Spettro di risposta elastico in accelerazione delle componenti orizzontali SLD § 3.2.3.2.1 [3.2.2]

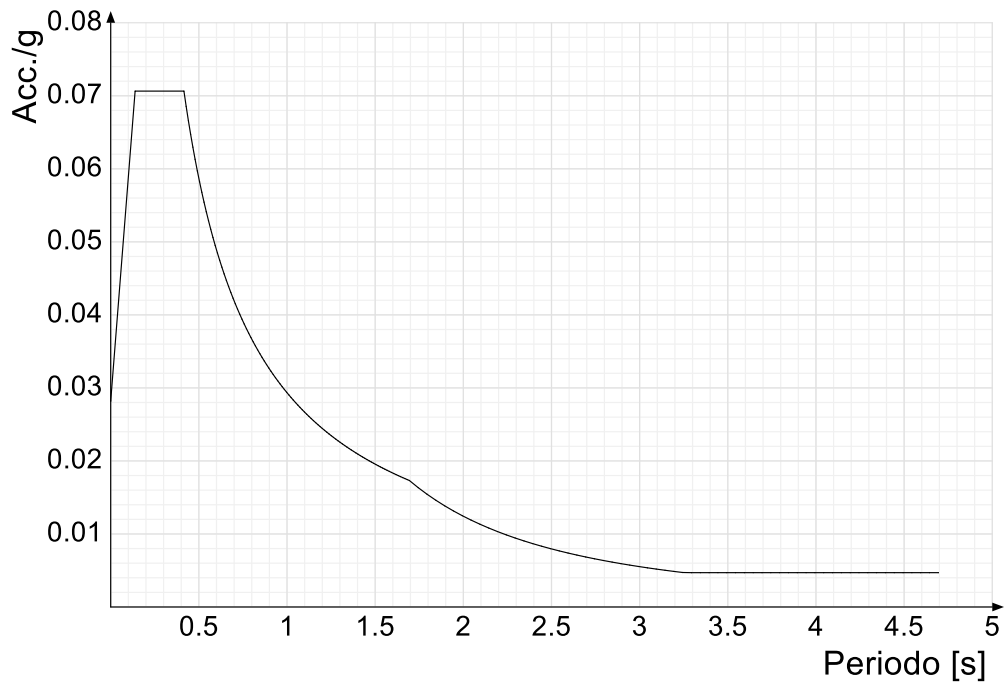


Spettro di risposta elastico in accelerazione delle componenti orizzontali SLV § 3.2.3.2.1 [3.2.2]

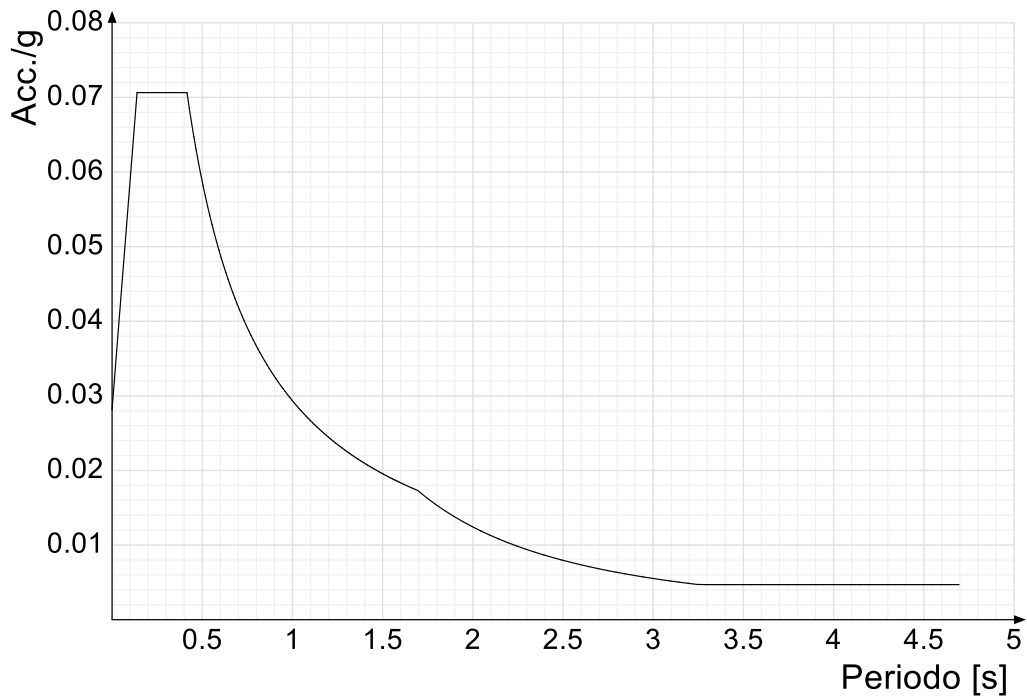




Spettro di risposta di progetto in accelerazione della componente X SLD § 3.2.3.5

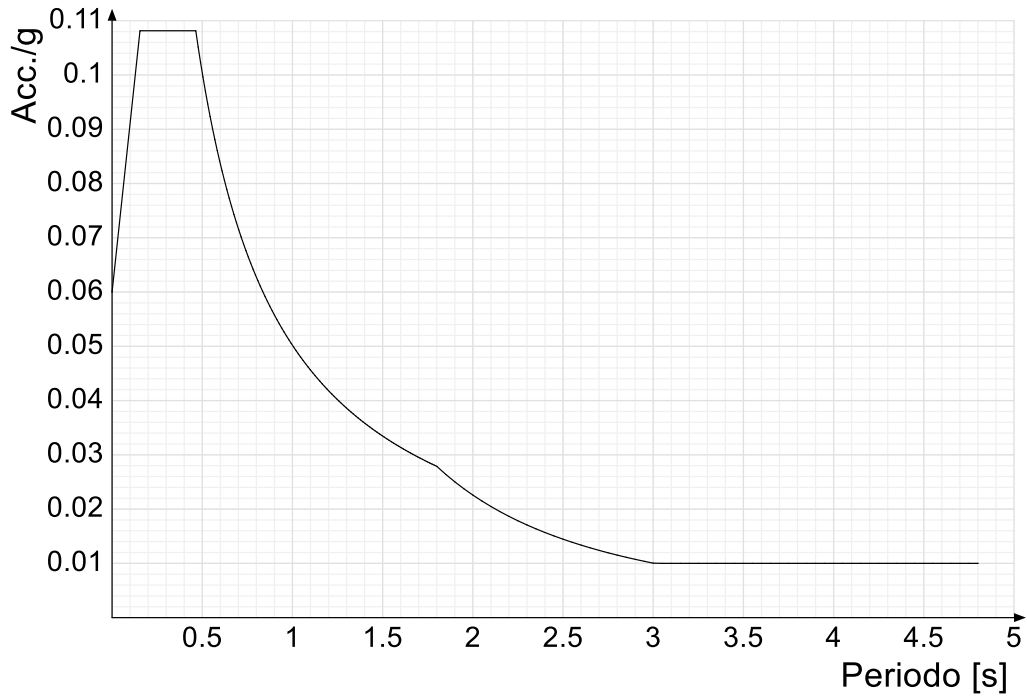


Spettro di risposta di progetto in accelerazione della componente Y SLD § 3.2.3.5

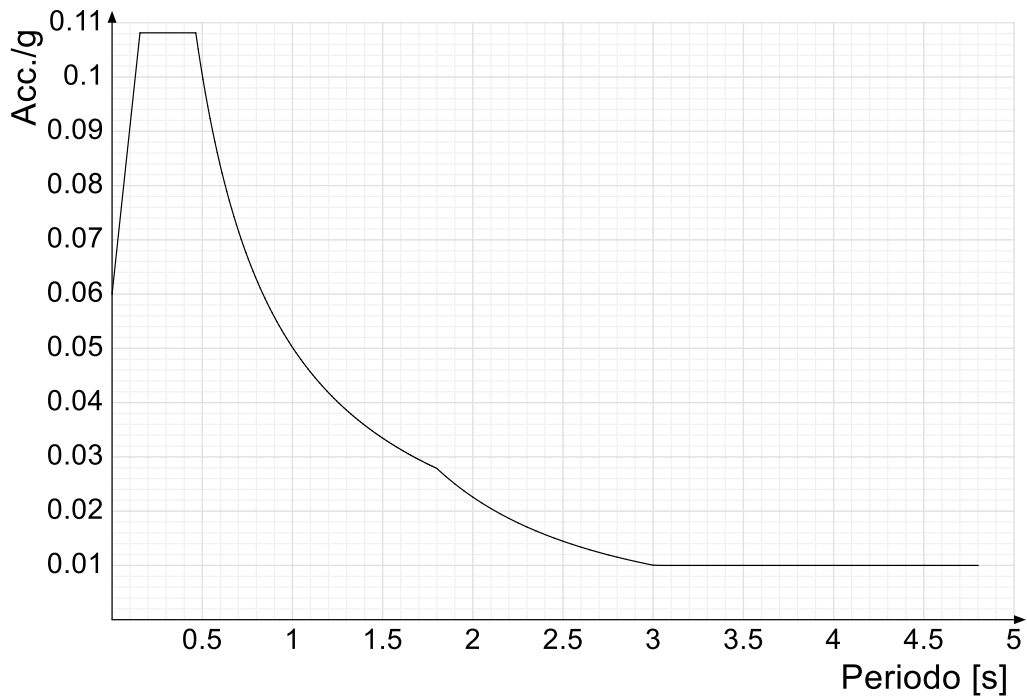




Spettro di risposta di progetto in accelerazione della componente X SLV § 3.2.3.5



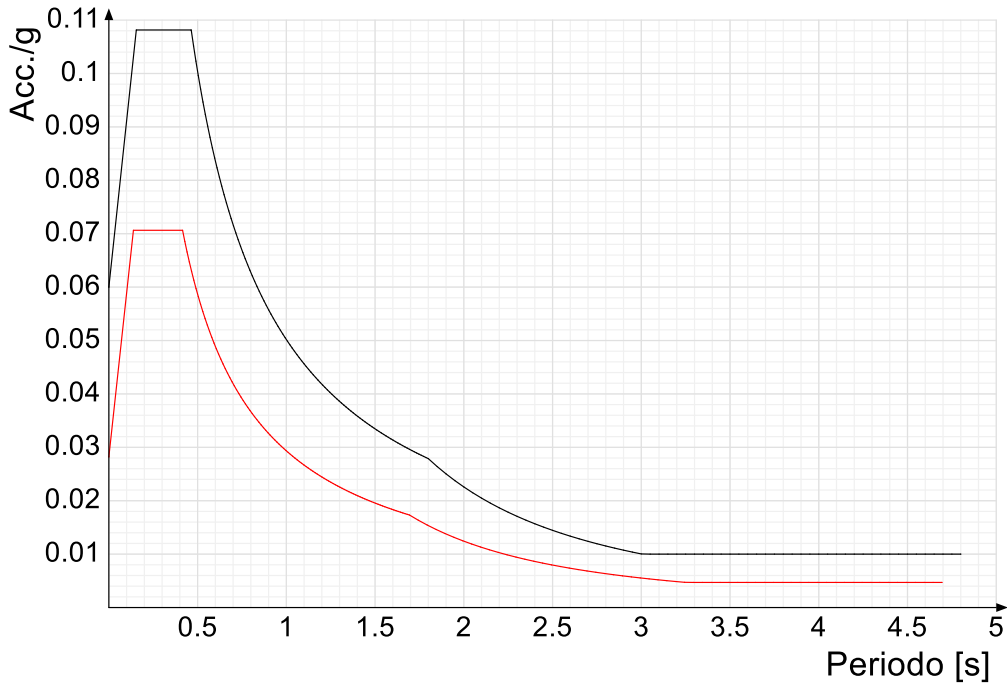
Spettro di risposta di progetto in accelerazione della componente Y SLV § 3.2.3.5



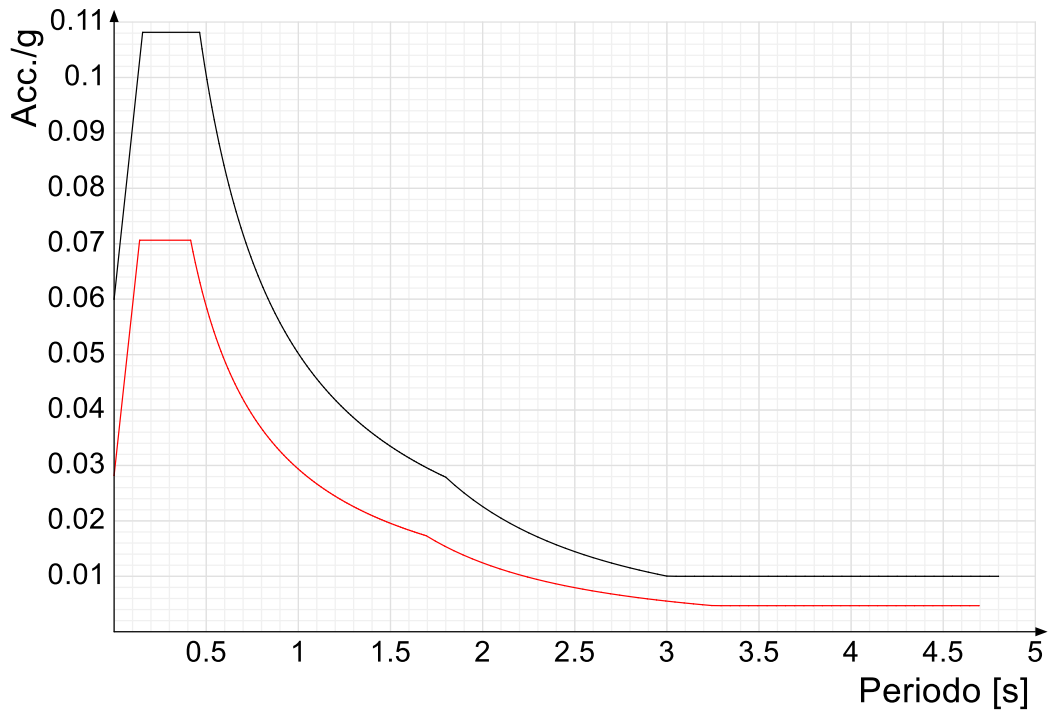


Confronti spettri SLV-SLD

Vengono confrontati lo spettro Spettro di risposta di progetto in accelerazione della componente X SLD § 3.2.3.5 (di colore rosso) e Spettro di risposta di progetto in accelerazione della componente X SLV § 3.2.3.5 (di colore nero).



Vengono confrontati lo spettro Spettro di risposta di progetto in accelerazione della componente Y SLD § 3.2.3.5 (di colore rosso) e Spettro di risposta di progetto in accelerazione della componente Y SLV § 3.2.3.5 (di colore nero).





Preferenze di verifica

Normativa di verifica in uso

Norma di verifica	D.M. 17-01-18 (N.T.C.)
Acciaio	Preferenze di verifica acciaio D.M. 17-01-18 (N.T.C.)

Normativa di verifica acciaio

γ_{m0}	1.05
γ_{m1}	1.05
γ_{m2}	1.25
Coefficiente riduttivo per effetto vettoriale	0.7
Calcolo coefficienti C1, C2, C3 per Mcr	automatico
Coefficienti α , β per flessione devia	unitari
Verifica semplificata conservativa	si
L/e0 iniziale per profili accoppiati compressi	500
Metodo semplificato formula (4.2.82)	si
Escludi 6.2.6.7 e 6.2.6.8 in 7.5.4.3 e 7.5.4.5	si
Applica Nota 1 del prospetto 6.2	si
Riduzione f_y per tubi tondi di classe 4	no
Effettua la verifica secondo 6.2.8 con irrigidimenti superiori (piastra di base)	si
Limite spostamento relativo interpiano e monopiano colonne	0.00333
Limite spostamento relativo complessivo multipiano colonne	0.002
Considera taglio resistente estremità sagomati	no
Fattori parziali di sicurezza unitari per meccanismi duttili di strutture esistenti con fattore q	si

Preferenze FEM

Dimensione massima ottimale mesh pareti (default)	80 [cm]
Dimensione massima ottimale mesh piastre (default)	80 [cm]
Dimensione massima ottimale suddivisioni archi finestre/porte (default)	30 [cm]
Tipo di mesh dei gusci (default)	Quadrilateri o triangoli
Tipo di mesh imposta ai gusci	Specifico dell'elemento
Metodo P-Delta	non utilizzato
Analisi buckling	non utilizzata
Rapporto spessore flessionale/membranale gusci muratura verticali	0.2
Spessori membranale e flessionale pareti XLAM da sole tavole verticali	No
Moltiplicatore rigidità connettori pannelli pareti legno a diaframma	1
Tolleranza di parallelismo	4.99 [deg]
Tolleranza di unicità punti	10 [cm]
Tolleranza generazione nodi di aste	1 [cm]
Tolleranza di parallelismo in suddivisione aste	4.99 [deg]
Tolleranza generazione nodi di gusci	4 [cm]
Tolleranza eccentricità carichi concentrati	100 [cm]
Considera deformabilità a taglio negli elementi guscio	No
Modello elastico pareti in muratura	Gusci
Concentra masse pareti nei vertici	No
Segno risultati analisi spettrale	Analisi statica
Memoria utilizzabile dal solutore	8000000
Metodo di risoluzione della matrice	Intel MKL PARDISO
Scrivi commenti nel file di input	No
Scrivi file di output in formato testo	No
Solidi colle e corpi ruvidi (default)	Solidi reali
Moltiplicatore rigidità molla torsionale applicata ad aste di fondazione	1
Modello trave su suolo alla Winkler nel caso di modellazione lineare	Equilibrio elastico

Moltiplicatori inerziali

Tipologia: tipo di entità a cui si riferiscono i moltiplicatori inerziali.

J2: moltiplicatore inerziale di J2. Il valore è adimensionale.

J3: moltiplicatore inerziale di J3. Il valore è adimensionale.

Jt: moltiplicatore inerziale di Jt. Il valore è adimensionale.

A: moltiplicatore dell'area della sezione. Il valore è adimensionale.

A2: moltiplicatore dell'area a taglio in direzione 2. Il valore è adimensionale.

A3: moltiplicatore dell'area a taglio in direzione 3. Il valore è adimensionale.



Conci rigidi: fattore di riduzione dei tronchi rigidi. Il valore è adimensionale.

Tipologia	J2	J3	Jt	A	A2	A3	Conci rigidi
Trave in acciaio	1	1	1	1	1	1	1
Colonna in acciaio	1	1	1	1	1	1	1
Trave di reticolare in acciaio	1	1	1	1	1	1	1

Preferenze di analisi non lineare FEM

Metodo iterativo	Secante
Tolleranza iterazione	0.00001
Numero massimo iterazioni	50

Preferenze di analisi carichi superficiali

Detrazione peso proprio solai nelle zone di sovrapposizione	non applicata
Metodo di ripartizione	a zone d'influenza
Percentuale carico calcolato a trave continua	0
Esegui smoothing diagrammi di carico	applicata
Tolleranza smoothing altezza trapezi	0.001 [daN/cm]
Tolleranza smoothing altezza media trapezi	0.001 [daN/cm]

Preferenze del suolo

Fondazioni non modellate e struttura bloccata alla base	si
Fondazioni bloccate orizzontalmente	si
Considera peso sismico delle fondazioni	no
Fondazioni superficiali e profonde su suolo elastoplastico	no
Coefficiente di sottofondo verticale per fondazioni superficiali (default)	3 [daN/cm ³]
Rapporto di coefficiente sottofondo orizzontale/verticale	0.5
Pressione verticale limite sul terreno per abbassamento (default)	10 [daN/cm ²]
Pressione verticale limite sul terreno per innalzamento (default)	0.001 [daN/cm ²]
Metodo di calcolo della K verticale	Vesic
Metodo di calcolo della portanza e della pressione limite	Vesic
Terreno laterale di riporto da piano posa fondazioni (default)	Ghiaia
Dimensione massima della discretizzazione del palo (default)	200 [cm]
Moltiplicatore coesione per pressione orizzontale limite nei pali	1
Moltiplicatore spinta passiva per pressione orizzontale pali	1
K punta palo (default)	4 [daN/cm ³]
Pressione limite punta palo (default)	10 [daN/cm ²]
Pressione per verifica schiacciamento fondazioni superficiali	6 [daN/cm ²]
Calcola cedimenti fondazioni superficiali	no
Spessore massimo strato	100 [cm]
Profondità massima	3000 [cm]
Cedimento assoluto ammissibile	5 [cm]
Cedimento differenziale ammissibile	5 [cm]
Cedimento relativo ammissibile	5 [cm]
Rapporto di inflessione F/L ammissibile	0.003333
Rotazione rigida ammissibile	0.191 [deg]
Rotazione assoluta ammissibile	0.191 [deg]
Distorsione positiva ammissibile	0.191 [deg]
Distorsione negativa ammissibile	0.095 [deg]
Considera fondazioni compensate	no
Coefficiente di riduzione della a Max attesa	0.3
Condizione per la valutazione della spinta su pareti	Lungo termine
Considera l'azione sismica del terreno anche su pareti sotto lo zero sismico	no
Calcola cedimenti teorici pali	no
Considera accorciamento del palo	si
Distanza influenza cedimento palo	1000 [cm]
Distribuzione attrito laterale	Attrito laterale uniforme
Ripartizione del carico	Ripartizione come da modello FEM
Scelta terreno laterale	Media pesata degli strati coinvolti
Scelta terreno punta	Media pesata degli strati coinvolti
Cedimento assoluto ammissibile	5 [cm]
Cedimento medio ammissibile	5 [cm]
Cedimento differenziale ammissibile	5 [cm]
Rotazione rigida ammissibile	0.191 [deg]
Trascura la coesione efficace in verifica allo scorrimento	si
Considera inclinazione spinta del terreno contro pareti	no



Esegui verifica a liquefazione	no
Metodo di verifica liquefazione	Seed-Idriss (1982)
Coeff. di sicurezza minimo a liquefazione	1.3
Magnitudo scaling factor per liquefazione	1



QUOTE

Livelli

Descrizione breve: nome sintetico assegnato al livello.

Descrizione: nome assegnato al livello.

Quota: quota superiore espressa nel sistema di riferimento assoluto. [cm]

Spessore: spessore del livello. [cm]

Vela orizzontale

Descrizione breve	Descrizione	Quota	Spessore
L1	Piano campagna	0	0
L2	Testa montante	280	0

Vela inclinata 55°

Descrizione breve	Descrizione	Quota	Spessore
L1	Piano campagna	0	0
L2	Testa montante	280	0

Falde

Descrizione breve: nome sintetico assegnato alla falda.

Descrizione: nome assegnato alla falda.

Sp.: spessore del piano della falda. [cm]

Primo punto: primo punto di definizione del piano dell'estradosso della falda.

X: coordinata X. [cm]

Y: coordinata Y. [cm]

Quota: quota. esprimibile come livello, falda, piano orizzontale alla Z specificata. [cm]

Secondo punto: secondo punto di definizione del piano dell'estradosso della falda.

X: coordinata X. [cm]

Y: coordinata Y. [cm]

Quota: quota. esprimibile come livello, falda, piano orizzontale alla Z specificata. [cm]

Terzo punto: terzo punto di definizione del piano dell'estradosso della falda.

X: coordinata X. [cm]

Y: coordinata Y. [cm]

Quota: quota. esprimibile come livello, falda, piano orizzontale alla Z specificata. [cm]

Vela orizzontale

Descrizione breve	Descrizione	Sp.	Primo punto			Secondo punto			Terzo punto		
			X	Y	Quota	X	Y	Quota	X	Y	Quota
F1	Falda 1	5	1542	258	280	-322	258	280	-322	-258	280
F2	Falda 2	5	2531	258	280	1577	258	280	1577	-258	280

Vela inclinata 55°

Descrizione breve	Descrizione	Sp.	Primo punto			Secondo punto			Terzo punto		
			X	Y	Quota	X	Y	Quota	X	Y	Quota
F1	Falda 1	5	-325	-156	65	1545	-156	65	1545	156	495
F2	Falda 2	5	1580	-156	65	2540	-156	65	2540	156	495



Tronchi

Descrizione breve: nome sintetico assegnato al tronco.

Descrizione: nome assegnato al tronco.

Quota 1: riferimento della prima quota di definizione del tronco. esprimibile come livello, falda, piano orizzontale alla Z specificata. [cm]

Quota 2: riferimento della seconda quota di definizione del tronco. esprimibile come livello, falda, piano orizzontale alla Z specificata. [cm]

Vela orizzontale

Descrizione breve	Descrizione	Quota 1	Quota 2
T1	Piano campagna - Testa montante	Piano campagna	Testa montante

Vela inclinata 55°

Descrizione breve	Descrizione	Quota 1	Quota 2
T1	Piano campagna - Testa montante	Piano campagna	Testa montante



ALLEGATO 02 – SEZIONI E MATERIALI



DATI GENERALI

MATERIALI

Acciai

Proprietà acciai base

Descrizione: descrizione o nome assegnato all'elemento.

E: modulo di elasticità longitudinale del materiale per edifici o materiali nuovi. [daN/cm²]

G: modulo di elasticità tangenziale del materiale, viene impiegato nella modellazione di aste e di elementi guscio a comportamento ortotropo. [daN/cm²]

v: coefficiente di Poisson. Il valore è adimensionale.

γ: peso specifico del materiale. [daN/cm³]

α: coefficiente longitudinale di dilatazione termica. [°C-1]

Descrizione	E	G	v	γ	α
S235	2100000	Default (807692.31)	0.3	0.00785	0.000012

Proprietà acciai CNR 10011

Descrizione: descrizione o nome assegnato all'elemento.

Tipo: descrizione per norma.

fy(s<=40 mm): resistenza di snervamento fy per spessori <=40 mm. [daN/cm²]

fy(s>40 mm): resistenza di snervamento fy per spessori >40 mm. [daN/cm²]

fu(s<=40 mm): resistenza di rottura per trazione fu per spessori <=40 mm. [daN/cm²]

fu(s>40 mm): resistenza di rottura per trazione fu per spessori >40 mm. [daN/cm²]

Prosp. Omega: prospetto per coefficienti Omega.

σ amm.(s<=40 mm): σ ammissibile per spessori <=40 mm. [daN/cm²]

σ amm.(s>40 mm): σ ammissibile per spessori >40 mm. [daN/cm²]

fd(s<=40 mm): resistenza di progetto fd per spessori <=40 mm. [daN/cm²]

fd(s>40 mm): resistenza di progetto fd per spessori >40 mm. [daN/cm²]

Descrizione	Tipo	fy(s<=40 mm)	fy(s>40 mm)	fu(s<=40 mm)	fu(s>40 mm)	Prosp. Omega	σ amm.(s<=40 mm)	σ amm.(s>40 mm)	fd(s<=40 mm)	fd(s>40 mm)
S235	FE360	2350	2150	3600	3400	II	1600	1400	2350	2100

Proprietà acciai CNR 10022

Descrizione: descrizione o nome assegnato all'elemento.

Tipo: descrizione per norma.

fy: resistenza di snervamento fy. [daN/cm²]

fu: resistenza di rottura fu. [daN/cm²]

fd: resistenza di progetto fd. [daN/cm²]

Prospetto omega sag.fr.(s<3mm): prospetto coeff. omega per spessori < 3 mm.

Prospetto omega sag.fr.(s>=3mm): prospetto coeff. omega per spessori >= 3 mm.

Prospetti σ crit. Eulero: prospetti σ critiche euleriane.

Descrizione	Tipo	fy	fu	fd	Prospetto omega sag.fr.(s<3mm)	Prospetto omega sag.fr.(s>=3mm)	Prospetti σ crit. Eulero
S235	FE360	2350	3600	2350	b	c	I



Proprietà acciai EC3

Descrizione: descrizione o nome assegnato all'elemento.

Tipo: descrizione per norma.

$f_y(s \leq 40 \text{ mm})$: resistenza di snervamento f_y per spessori $\leq 40 \text{ mm}$. [daN/cm^2]

$f_y(s > 40 \text{ mm})$: resistenza di snervamento f_y per spessori $> 40 \text{ mm}$. [daN/cm^2]

$f_u(s \leq 40 \text{ mm})$: resistenza di rottura per trazione f_u per spessori $\leq 40 \text{ mm}$. [daN/cm^2]

$f_u(s > 40 \text{ mm})$: resistenza di rottura per trazione f_u per spessori $> 40 \text{ mm}$. [daN/cm^2]

Descrizione	Tipo	$f_y(s \leq 40 \text{ mm})$	$f_y(s > 40 \text{ mm})$	$f_u(s \leq 40 \text{ mm})$	$f_u(s > 40 \text{ mm})$
S235	S235	2350	2150	3600	3600

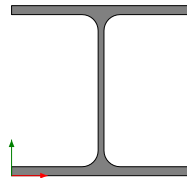


SEZIONI

Sezioni in acciaio

Profili singoli in acciaio

HEA - HEM - HEB – IPE



Descrizione: descrizione o nome assegnato all'elemento.

Sup.: superficie bagnata per unità di lunghezza. [mm]

Area Tx FEM: area di taglio in direzione X per l'analisi FEM. [mm²]

Area Ty FEM: area di taglio in direzione Y per l'analisi FEM. [mm²]

JxFEM: momento di inerzia attorno all'asse X per l'analisi FEM. [mm⁴]

JyFEM: momento di inerzia attorno all'asse Y per l'analisi FEM. [mm⁴]

JtFEM: momento d'inerzia torsionale corretto con il fattore di forma per l'analisi FEM. [mm⁴]

b: larghezza dell'ala. [mm]

h: altezza del profilo. [mm]

s: spessore dell'anima. [mm]

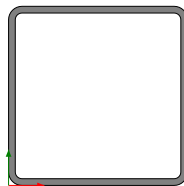
t: spessore delle ali. [mm]

r: raggio del raccordo ala-anima. [mm]

f: truschino. [mm]

Descrizione	Sup.	Area Tx FEM	Area Ty FEM	JxFEM	JyFEM	JtFEM	b	h	s	t	r	f
HEA200	1135.9	3333	1170	36961920	13355920	148895	200	190	6.5	10	18	110

Tubi rettangolari



Descrizione: descrizione o nome assegnato all'elemento.

Sup.: superficie bagnata per unità di lunghezza. [mm]

Area Tx FEM: area di taglio in direzione X per l'analisi FEM. [mm²]

Area Ty FEM: area di taglio in direzione Y per l'analisi FEM. [mm²]

JxFEM: momento di inerzia attorno all'asse X per l'analisi FEM. [mm⁴]

JyFEM: momento di inerzia attorno all'asse Y per l'analisi FEM. [mm⁴]

JtFEM: momento d'inerzia torsionale corretto con il fattore di forma per l'analisi FEM. [mm⁴]

h: altezza del tubo. [mm]

b: larghezza del tubo. [mm]

s: spessore. [mm]

r: raggio di curvatura. [mm]

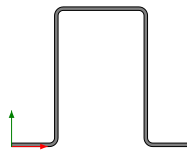
Categoria: categoria, basata sulla tecnologia costruttiva.



Formatura: tipo di formatura a freddo del sagomato.

Descrizione	Sup.	Area Tx FEM	Area Ty FEM	JxFEM	JyFEM	JtFEM	h	b	s	r	Categoria	Formatura
EN10219 160x160x10	1130.9	3200	3200	20476696	20476696	34902931	160	160	10	15	Sagomato a freddo conforme UNI 10219	A rullo

Sagomati Omega



Descrizione: descrizione o nome assegnato all'elemento.

Sup.: superficie bagnata per unità di lunghezza. [mm]

Area Tx FEM: area di taglio in direzione X per l'analisi FEM. [mm²]

Area Ty FEM: area di taglio in direzione Y per l'analisi FEM. [mm²]

JxFEM: momento di inerzia attorno all'asse X per l'analisi FEM. [mm⁴]

JyFEM: momento di inerzia attorno all'asse Y per l'analisi FEM. [mm⁴]

JtFEM: momento d'inerzia torsionale corretto con il fattore di forma per l'analisi FEM. [mm⁴]

b: larghezza dell'ala superiore. [mm]

c: larghezza degli irrigidimenti. [mm]

h: altezza del profilo. [mm]

s: spessore. [mm]

r: raggio di curvatura anima-irrigidimenti. [mm]

r1: raggio di curvatura ali-irrigidimenti. [mm]

Deroga lati: deroga misure lati EC3 §5.2.(1) Nota.

Formatura: tipo di formatura a freddo del sagomato.

Descrizione	Sup.	Area Tx FEM	Area Ty FEM	JxFEM	JyFEM	JtFEM	b	c	h	s	r	r1	Deroga lati	Formatura
OMEGA 80*40*25*3	461.3	270	480	551515	295839	2142	40	25	80	3	4.5	4.5	No	A rullo

Caratteristiche inerziali sezioni in acciaio

Caratteristiche inerziali principali sezioni in acciaio

Descrizione: descrizione o nome assegnato all'elemento.

Xg: coordinata X del baricentro. [cm]

Yg: coordinata Y del baricentro. [cm]

Area: area inerziale nel sistema geometrico centrato nel baricentro. [cm²]

Jx: momento d'inerzia attorno all'asse orizzontale baricentrico di definizione della sezione. [cm⁴]

Jy: momento d'inerzia attorno all'asse verticale baricentrico di definizione della sezione. [cm⁴]

Jxy: momento centrifugo rispetto al sistema di riferimento baricentrico di definizione della sezione. [cm⁴]

Jm: momento d'inerzia attorno all'asse baricentrico principale M. [cm⁴]

Jn: momento d'inerzia attorno all'asse baricentrico principale N. [cm⁴]

α X su M: angolo tra gli assi del sistema di riferimento geometrico di definizione e quelli del sistema di riferimento principale. [deg]

Jt: momento d'inerzia torsionale corretto con il fattore di forma. [cm⁴]



Descrizione	Xg	Yg	Area	Jx	Jy	Jxy	Jm	Jn	α X su M	Jt
EN10219 160x160x10	8	8	56.57	2047.67	2047.67	0	2047.67	2047.67	0	3490.29
HEA200	10	9.5	53.9	3696.19	1335.59	0	3696.19	1335.59	0	14.89
OMEGA 80*40*25*3	4.2	3.83	6.82	55.15	29.58	0	55.15	29.58	0	0.21

Caratteristiche inerziali momenti sezioni in acciaio

Descrizione: descrizione o nome assegnato all'elemento.

ix: raggio di inerzia relativo all'asse x. [cm]

iy: raggio di inerzia relativo all'asse y. [cm]

im: raggio di inerzia relativo all'asse principale m. [cm]

in: raggio di inerzia relativo all'asse principale n. [cm]

Sx: momento statico relativo all'asse x. [cm³]

Sy: momento statico relativo all'asse y. [cm³]

Wx: modulo di resistenza elastico minimo relativo all'asse x. [cm³]

Wy: modulo di resistenza elastico minimo relativo all'asse y. [cm³]

Wm: modulo di resistenza elastico minimo relativo all'asse principale m. [cm³]

Wn: modulo di resistenza elastico minimo relativo all'asse principale n. [cm³]

Wplx: modulo di resistenza plastico relativo all'asse x. [cm³]

Wply: modulo di resistenza plastico relativo all'asse y. [cm³]

Descrizione	ix	iy	im	in	Sx	Sy	Wx	Wy	Wm	Wn	Wplx	Wply
EN10219 160x160x10	6.02	6.02	6.02	6.02	155.17	155.17	255.96	255.96	255.96	255.96	310.95	310.95
HEA200	8.28	4.98	8.28	4.98	215	101.94	389.07	133.56	389.07	133.56	430	203.88
OMEGA 80*40*25*3	2.84	2.08	2.84	2.08	8.66	6.63	13.23	7.04	13.23	7.04	17.32	13.25

Caratteristiche inerziali taglio sezioni in acciaio

Descrizione: descrizione o nome assegnato all'elemento.

Atx: area a taglio lungo x. [cm²]

Aty: area a taglio lungo y. [cm²]

Descrizione	Atx	Aty
EN10219 160x160x10	32	32
HEA200	40	12.35
OMEGA 80*40*25*3	2.7	4.8



ALLEGATO 03 – VERIFICHE STRUTTURE DI SOSTEGNO PANNELLI FOTOVOLTAICI



VERIFICHE

VERIFICHE SUPERELEMENTI ASTE ACCIAIO LAMINATE

Le unità di misura elencate nel capitolo sono in [cm, daN, deg] ove non espressamente specificato.

Sezione: sezione in acciaio.

Rotazione: rotazione della sezione. [deg]

Area: area inerziale nel sistema geometrico centrato nel baricentro. [cm²]

Jx: momento d'inerzia attorno all'asse orizzontale baricentrico di definizione della sezione. [cm⁴]

Jy: momento d'inerzia attorno all'asse verticale baricentrico di definizione della sezione. [cm⁴]

ix: raggio di inerzia relativo all'asse x. [cm]

iy: raggio di inerzia relativo all'asse y. [cm]

Wx: modulo di resistenza elastico minimo relativo all'asse x. [cm³]

Wy: modulo di resistenza elastico minimo relativo all'asse y. [cm³]

Wplx: modulo di resistenza plastico relativo all'asse x. [cm³]

Wply: modulo di resistenza plastico relativo all'asse y. [cm³]

X: distanza dal nodo iniziale. [cm]

Comb.: combinazione di verifica.

Sfruttamento: rapporto di sfruttamento per la verifica in esame, inverso del coefficiente di sicurezza. Verificato se minore o uguale di 1.

VEd: sollecitazione di taglio. [daN]

Vc,Rd: resistenza a taglio. [daN]

Av: area resistenza a taglio. [cm²]

Interazione taglio-torsione: indica se è possibile ridurre il taglio resistente per presenza di torsione.

Riduzione torsione: coefficiente riduttivo della resistenza a taglio per presenza di torsione.

Verifica: stato di verifica.

Classe: classe della sezione.

Mx,Ed: sollecitazione flettente attorno x-x. [daN*cm]

Mx,Rd: resistenza a flessione attorno x-x ridotta per taglio. [daN*cm]

Rid. Mx,Rd da VEd: rapporto tra la resistenza flettente ridotta per taglio e la resistenza flettente attorno x-x.

px: coefficiente di riduzione della resistenza di snervamento per taglio in direzione x.

py: coefficiente di riduzione della resistenza di snervamento per taglio in direzione y.

Numero rit.: numero del ritegno.

Presente: indica se il ritegno è presente o meno.

Ascissa: ascissa del ritegno rispetto al nodo iniziale del superelemento o ascissa iniziale e finale della campata. [cm]

Campata: campata tra i ritegni.

βx/m: coefficiente di lunghezza efficace per rotazione attorno a x/m.

Vincolo a entrambi estremi: indica se il tratto è vincolato a entrambi gli estremi.

λx/m: snellezza attorno a x/m del tratto tra i due ritegni.

λVer: snellezza accettabile.

βy/n: coefficiente di lunghezza efficace per rotazione attorno a y/n.

k,LT: coefficiente di lunghezza efficace per rotazione nel calcolo del momento critico ENV1993-1-1 F 1.2(3).

kw,LT: coefficiente di lunghezza efficace per ingobbamento nel calcolo del momento critico ENV1993-1-1 F 1.2(4).

λy/n: snellezza attorno a y/n del tratto tra i due ritegni.

Obblig.: indica se la verifica è obbligatoria da norma.

Mb,Rd,x: momento resistente di progetto per l'instabilità per sollecitazione flettente attorno l'asse x-x. [daN*cm]

χ,LT: coefficiente di riduzione per instabilità flessio-torsionale.

λ adim. LT: snellezza adimensionale per instabilità flessio-torsionale.

L,LT: distanza tra due ritegni torsionali. [cm]

M,critico: momento critico. [daN*cm]

η: valore di η.

hw: altezza dell'anima. [cm]

tw: spessore dell'anima. [cm]



hw/tw max: rapporto tra hw e tw massimo.

Ascissa freccia: ascissa della massima freccia. [cm]

Combinazione: combinazione di verifica in cui è ricavata la freccia.

Freccia: massima freccia. [cm]

Luce: luce di verifica. [cm]

L/f: rapporto luce su freccia.

L/f,min: minimo rapporto luce su freccia consentito.

Tipo: freccia calcolata considerando le sole condizioni variabili o tutte le condizioni (totale) all'interno della combinazione di verifica.

NEd: sollecitazione assiale. [daN]

Nc,Rd: resistenza assiale a compressione ridotta per taglio. [daN]

Nt,Rd: resistenza assiale a trazione ridotta per taglio. [daN]

Riduzione da taglio: rapporto tra la resistenza assiale ridotta per taglio e la resistenza assiale.

NRd: resistenza assiale ridotta per taglio. [daN]

Rid. NRd da VEd: rapporto tra la resistenza assiale ridotta per taglio e la resistenza assiale.

My,Ed: sollecitazione flettente attorno y-y. [daN*cm]

My,Rd: resistenza a flessione attorno y-y ridotta. [daN*cm]

Rid. My,Rd da VEd: rapporto tra la resistenza flettente ridotta per taglio e la resistenza flettente attorno y-y.

Rid. My,Rd da NEd: rapporto tra la resistenza flettente ridotta per sforzo normale e taglio e la resistenza flettente ridotta per taglio attorno y-y.

Mx,Rd: resistenza a flessione attorno x-x ridotta. [daN*cm]

Rid. Mx,Rd da NEd: rapporto tra la resistenza flettente ridotta per sforzo normale e taglio e la resistenza flettente ridotta per taglio attorno x-x.

α : esponente α per flessione deviata.

β : esponente β per flessione deviata.

NRk: resistenza caratteristica assiale. [daN]

Mx,Ed max: momento sollecitante massimo attorno l'asse x-x tra due ritegni all'inflessione attorno x-x. [daN*cm]

Mx,Rk: resistenza caratteristica a flessione attorno l'asse x-x. [daN*cm]

My,Ed max: momento sollecitante massimo attorno l'asse y-y tra due ritegni all'inflessione attorno y-y. [daN*cm]

My,Rk: resistenza caratteristica a flessione attorno l'asse y-y. [daN*cm]

χ_x : coefficiente di riduzione per inflessione attorno l'asse x-x.

χ_y : coefficiente di riduzione per inflessione attorno l'asse y-y.

kxx: valore di kxx.

kxy: valore di kxy.

kyy: valore di kyy.

kyy: valore di kyy.

Estremo notevole: estremo notevole.

Asta FEM: indice dell'asta FEM.

Estremo asta: estremo dell'asta a cui è applicato.

Posizione: distanza dell'estremo notevole dal nodo iniziale dell'asta. Il valore è espresso in cm. [cm]

Ascissa: distanza dell'estremo dal nodo iniziale del superamento. [cm]

Tipo: asse momento attorno a cui si sviluppa una cerniera, eventualmente dissipativa.

NEd,ED: sforzo normale agente sull'estremo dissipativo. [daN]

Npl,Rd,ED: capacità a sforzo normale dell'estremo dissipativo. [daN]

Quota nodo: quota del nodo trave/colonna in esame. [cm]

Cerniera plastica: zona di formazione di una cerniera plastica sulla colonna.

Interno: nodo interno alla colonna o di estremità (inferiore o superiore).

EN di colonne: estremi notevoli dei tronchi di colonna convergenti nel nodo.

Colonna senza EN: colonna convergente nel nodo senza estremo notevole.

EN di travi: estremi notevoli delle travi convergenti nel nodo.

Travi senza EN: travi convergenti nel nodo senza estremi notevoli.

Mx,Eff,Ed: momento interno efficace di verifica attorno x-x secondo ENV1993-1-1 §5.5.3. [daN*cm]

kLT: valore di kLT.

ky: valore di ky.

Wx: modulo resistente della sezione per inflessione attorno all'asse x-x. [cm³]



Wy: modulo resistente della sezione per inflessione attorno all'asse y-y. [cm³]



VERIFICHE VELA IN POSIZIONE ORIZZONTALE

Si riportano di seguito, a titolo esplicativo, le verifiche dell'elemento trasverso e di un profilo di sostegno dei pannelli fotovoltaici

Caratteristiche del materiale

Acciaio: S235, fyk = 2350

Caratteristiche geometriche

Lunghezza: 280
 Nodo iniziale: 3 Nodo finale: 42
 Cerniera iniziale: No Cerniera finale: No
 Sovraresistenza: 0% Sisma Z: No

Caratteristiche della sezione

Sezione	Rotazione	Area	Jx	Jy	ix	iy	Wx	Wy	Wplx	Wply
HEA200	0	53.9	3696.19	1335.59	8.28	4.98	389.07	133.56	430	203.88

Verifiche di resistenza

Verifiche a forza assiale §4.2.4.1.2.1 - §4.2.4.1.2.2 NTC18

X	Comb.	Sfruttamento	Classe	NEd	Nc,Rd	Nt,Rd	Riduzione da taglio	px	py	Verifica
0	SLV 20	0.015	1	-1866.8	120625.5		1	0	0	Si

Verifiche a forza assiale SLD §4.2.4.1.2.1 - §4.2.4.1.2.2 NTC18

X	Comb.	Sfruttamento	Classe	NEd	Nc,Rd	Nt,Rd	Riduzione da taglio	px	py	Verifica
0	SLD 9	0.009	1	-1039.8	120625.5		1	0	0	Si

Verifica a taglio X §4.2.4.1.2.4 NTC18

X	Comb.	Sfruttamento	VEd	Vc,Rd	Av	Interazione taglio-torsione	Riduzione torsione	Verifica
0	SLV 1	0.003	-139.3	55364.8	42.85	Considerata	1	Si

Verifica a taglio X SLD §4.2.4.1.2.4 NTC18

X	Comb.	Sfruttamento	VEd	Vc,Rd	Av	Interazione taglio-torsione	Riduzione torsione	Verifica
0	SLD 1	0.002	-91	55364.8	42.85	Considerata	1	Si

Verifica a taglio Y §4.2.4.1.2.4 NTC18

X	Comb.	Sfruttamento	VEd	Vc,Rd	Av	Interazione taglio-torsione	Riduzione torsione	Verifica
149.3	SLV 9	0.006	-146.5	23448.3	18.15	Considerata	1	Si

Verifica a taglio Y SLD §4.2.4.1.2.4 NTC18

X	Comb.	Sfruttamento	VEd	Vc,Rd	Av	Interazione taglio-torsione	Riduzione torsione	Verifica
149.3	SLD 9	0.004	-95.7	23448.3	18.15	Considerata	1	Si

Verifica a presso/tenso flessione retta X §§ 4.2.4.1.2.3 - 4.2.4.1.2.6 - 4.2.4.1.2.7 - 4.2.4.1.2.8 NTC18

Verifiche eseguite utilizzando la formula conservativa (6.2) §6.2.1 EN 1993-1-1:2005.

X	Comb.	Sfruttamento	Classe	NEd	NRd	Rid. NRd da VEd	Mx,Ed	Mx,Rd	Rid. Mx,Rd da VEd	Rid. Mx,Rd da NEd	px	py	Verifica
149.3	SLV 5	0.025	1	-976.6	120625.5	1	16638	962374	1		0	0	Si

Verifica a presso/tenso flessione retta X SLD §§ 4.2.4.1.2.3 - 4.2.4.1.2.6 - 4.2.4.1.2.7 - 4.2.4.1.2.8 NTC18

Verifiche eseguite utilizzando la formula conservativa (6.2) §6.2.1 EN 1993-1-1:2005.

X	Comb.	Sfruttamento	Classe	NEd	NRd	Rid. NRd da VEd	Mx,Ed	Mx,Rd	Rid. Mx,Rd da VEd	Rid. Mx,Rd da NEd	px	py	Verifica
149.3	SLD 5	0.019	1	-976.6	120625.5	1	10868	962374	1		0	0	Si

Verifica a presso/tenso flessione deviata §§ 4.2.4.1.2.3 - 4.2.4.1.2.6 - 4.2.4.1.2.7 - 4.2.4.1.2.8 NTC18

Verifiche eseguite utilizzando la formula conservativa (6.2) §6.2.1 EN 1993-1-1:2005.

X	Comb.	Sfruttamento	Classe	NEd	NRd	Rid. NRd da VEd	Mx,Ed	Mx,Rd	My,Ed	My,Rd	Rid. Mx,Rd da VEd	Rid. Mx,Rd da NEd	Rid. My,Rd da VEd	Rid. My,Rd da NEd	α	β	px	py	Verifica
0	SLV 14	0.067	1	1039.8	120625.5	1	11532	962374	21085	456307	1		1				0	0	Si



Verifica a presso/tenso flessione deviata SLD §§ 4.2.4.1.2.3 - 4.2.4.1.2.6 - 4.2.4.1.2.7 - 4.2.4.1.2.8 NTC18

Verifiche eseguite utilizzando la formula conservativa (6.2) §6.2.1 EN 1993-1-1:2005.

X	Comb.	Sfruttamento	Classe	NEd	NRd	Rid. NRd da VEd	Mx,Ed	Mx,Rd	My,Ed	My,Rd	Rid. Mx,Rd da VEd	Rid. Mx,Rd da NEd	Rid. My,Rd da VEd	Rid. My,Rd da NEd	α	β	px	py	Verifica
0	SLD 14	0.047	1	-1039.8	120625.5	1	7533	962374	13772	456307	1		1				0	0	Si

Verifiche ad instabilità

Caratteristiche iniziali

Membratura principale per controllo snellezza; Calcolo di snellezze ed N critici condotti secondo gli assi principali; Curva X: b; Curva Y: c; Svergolamento: Carico all'estradosso; Curva svergolamento: b;

Dati per instabilità attorno a x

Controllo della snellezza secondo §4.2.4.1.3.1 NTC18

Numero rit.	Presente	Ascissa	Campata	βx/m	Vincolo a entrambi estremi	λx/m	λVer
1	Si		0				
2	Si	280	1-2		1	33.8	Si, (<200)

Dati per instabilità attorno a y

Controllo della snellezza secondo §4.2.4.1.3.1 NTC18

Numero rit.	Presente	Ascissa	Campata	βy/n	k _i LT	k _w LT	Vincolo a entrambi estremi	λy/n	λVer
1	Si		0						
2	Si	280	1-2		1	1	Si	56.2	Si, (<200)

Verifica di stabilità membrane compresse §4.2.4.1.3.1 NTC18

X	Comb.	Sfruttamento	Classe	Obblig.	NEd	Nb,Rd	χ _i ,min	l ₀ x/m	l ₀ y/n	λ adim. x/m	λ adim. y/n	N _{crit} x/m	N _{crit} y/n	Verifica
0	SLU 20	0.02	1	No	-1866.8	94813.9	0.786	280	280	0.36	0.599	977141.6	353083	Si

Verifica di stabilità per pressoflessione §C.4.2.4.1.3.2 NTC18

X	Comb.	Sfruttamento	Classe	NEd	NRk	Mx,Ed max	Mx,Rk	My,Ed max	My,Rk	χ _x	χ _y	k _{xx}	k _{xy}	k _{yx}	k _{yy}	χ _i LT	Verifica
0	SLV 5	0.056	1	-1039.8	126656.8	38437.8	1010492.6	6325.8	479122.2	0.942	0.786	0.575	0.242	0.998	0.403	1	Si

Verifica di stabilità per pressoflessione SLD §C.4.2.4.1.3.3.2 NTC18

X	Comb.	Sfruttamento	Classe	NEd	NRk	Mx,Ed max	Mx,Rk	My,Ed max	My,Rk	χ _x	χ _y	k _{xx}	k _{xy}	k _{yx}	k _{yy}	χ _i LT	Verifica
0	SLD 5	0.041	1	-1039.8	126656.8	25106.6	1010492.6	4131.8	479122.2	0.942	0.786	0.575	0.242	0.998	0.403	1	Si

Verifica di stabilità a taglio anima Y §4.2.4.1.2.4 [4.2.27] NTC18

η	hw	tw	hw/tw max	Verifica
1.2		17	0.6	60 Si

Verifica di stabilità a taglio anima Y SLD §4.2.4.1.2.4 [4.2.27] NTC18

η	hw	tw	hw/tw max	Verifica
1.2		17	0.6	60 Si

Verifiche a deformabilità

Mensola X: No; Mensola Y: No.

Verifiche non eseguite in quanto il superelemento è verticale.

Verifiche § 7.5 NTC18

Estremi dissipativi del superelemento

Estremo notevole	Asta FEM	Estremo asta	Posizione	Ascissa	Tipo
Piede asta 2		2	Iniziale	0	Dissipa Mx, Dissipa My

Verifiche di duttilità §7.5.3.2 NTC18

Classe peggiora 1 <= 3 ad ascissa 0 in comb. SLV 1.

Controllo dello sforzo normale nelle zone dissipative di colonna §7.5.3.2 [7.5.3] NTC18

Estremo notevole	Comb.	Sfruttamento	NEd,ED	Npl,Rd,ED	Verifica
Piede asta 2	SLV 9		0.009	-1039.8	120625.5 Si

Verifiche a resistenza ed instabilità della colonna §7.5.4.2 NTC18

Le verifiche previste non vengono condotte in quanto non esistono estremi notevoli dissipativi di trave idonei al calcolo di Ω.

γ_{ov} = 1.25

NB: superelemento non sollecitato. Verifiche non condotte.



Verifiche di gerarchia delle resistenze trave-colonna §7.5.4.2 [7.5.11] NTC18

Dati del nodo

Quota nodo	Cerniera plastica	Interno	EN di colonne	Tipo	Colonna senza EN	EN di travi	Tipo	Travi senza EN
0	Si	No	Piede asta 2	Dissipa Mx, Dissipa My				

$\gamma_{Rd} = 1.3$

Il nodo della colonna a quota 0 è zona di formazione di cerniera plastica e la verifica non deve essere condotta.



Superelemento in acciaio a "Testa montante" 26-42

Caratteristiche del materiale

Acciaio: S235, fyk = 2350

Caratteristiche geometriche

Lunghezza: 610

Nodo iniziale: 42 Nodo finale: 48

Cerniera iniziale: No Cerniera finale: No

Sovreresistenza: 0% Sisma Z: No

Caratteristiche della sezione

Sezione	Rotazione	Area	Jx	Jy	ix	iy	Wx	Wy	Wplx	Wply
EN10219 160x160x10	0	56.57	2047.67	2047.67	6.02	6.02	255.96	255.96	310.95	310.95

Verifiche di resistenza

Verifiche a forza assiale §4.2.4.1.2.1 - §4.2.4.1.2.2 NTC18

X	Comb.	Sfruttamento	Classe	NEd	Nc,Rd	Nt,Rd	Riduzione da taglio	px	py	Verifica
286.3	SLU 20	0.002		207.2		126600.9	1	0	0	Si

Verifiche a forza assiale SLD §4.2.4.1.2.1 - §4.2.4.1.2.2 NTC18

X	Comb.	Sfruttamento	Classe	NEd	Nc,Rd	Nt,Rd	Riduzione da taglio	px	py	Verifica
10.3	SLD 16	0.001		156.4		126600.9	1	0	0	Si

Verifica a taglio X §4.2.4.1.2.4 NTC18

X	Comb.	Sfruttamento	VEd	Vc,Rd	Av	Interazione taglio-torsione	Riduzione torsione	Verifica
0	SLV 11	0.002	67.8	36438.1	28.28	Considerata	1	Si

Verifica a taglio X SLD §4.2.4.1.2.4 NTC18

X	Comb.	Sfruttamento	VEd	Vc,Rd	Av	Interazione taglio-torsione	Riduzione torsione	Verifica
5.1	SLD 11	0.001	44.3	36475.7	28.28	Considerata	1	Si

Verifica a taglio Y §4.2.4.1.2.4 NTC18

X	Comb.	Sfruttamento	VEd	Vc,Rd	Av	Interazione taglio-torsione	Riduzione torsione	Verifica
610	SLU 20	0.027	-984.1	36546.5	28.28	Considerata	1	Si

Verifica a taglio Y SLD §4.2.4.1.2.4 NTC18

X	Comb.	Sfruttamento	VEd	Vc,Rd	Av	Interazione taglio-torsione	Riduzione torsione	Verifica
610	SLD 16	0.015	-550.9	36546.5	28.28	Considerata	1	Si

Verifica a torsione §4.2.4.1.2.5 NTC18

X	Comb.	Sfruttamento torsione	TEd	TRd	Riduzione taglio resistente	Sfruttamento taglio-torsione	τEd,totale	τRd	Verifica
160.7	SLV 12	0.003	-1698.7	572600.6	Considerata				Si

Verifica a torsione SLD §4.2.4.1.2.5 NTC18

X	Comb.	Sfruttamento torsione	TEd	TRd	Riduzione taglio resistente	Sfruttamento taglio-torsione	τEd,totale	τRd	Verifica
212.7	SLD 11	0.002	-1109.5	572600.6	Considerata				Si

Verifica a flessione deviata §§ 4.2.4.1.2.3 - 4.2.4.1.2.6 - 4.2.4.1.2.7 - 4.2.4.1.2.8 NTC18

X	Comb.	Sfruttamento	Classe	Mx,Ed	Mx,Rd	My,Ed	My,Rd	Rid. Mx,Rd da VEd	Rid. My,Rd da VEd	α	β	px	py	Verifica
0	SLV 1	0.077	1	51396	695932	1867	695932	1	1			0	0	Si

Verifica a presso/tenso flessione retta X §§ 4.2.4.1.2.3 - 4.2.4.1.2.6 - 4.2.4.1.2.7 - 4.2.4.1.2.8 NTC18

Verifiche eseguite utilizzando la formula conservativa (6.2) §6.2.1 EN 1993-1-1:2005.

X	Comb.	Sfruttamento	Classe	NEd	NRd	Rid. NRd da VEd	Mx,Ed	Mx,Rd	Rid. Mx,Rd da VEd	Rid. Mx,Rd da NEd	px	py	Verifica
610	SLU 20	0.176	1	207.2	126600.9	1	121019	695932	1		0	0	Si

Verifica a presso/tenso flessione retta X SLD §§ 4.2.4.1.2.3 - 4.2.4.1.2.6 - 4.2.4.1.2.7 - 4.2.4.1.2.8 NTC18

Verifiche eseguite utilizzando la formula conservativa (6.2) §6.2.1 EN 1993-1-1:2005.

X	Comb.	Sfruttamento	Classe	NEd	NRd	Rid. NRd da VEd	Mx,Ed	Mx,Rd	Rid. Mx,Rd da VEd	Rid. Mx,Rd da NEd	px	py	Verifica
91.3	SLD 4	0.017	1	81.1	126600.9	1	11627	695932	1		0	0	Si

Verifica a presso/tenso flessione retta Y §§ 4.2.4.1.2.3 - 4.2.4.1.2.6 - 4.2.4.1.2.7 - 4.2.4.1.2.8 NTC18

Verifiche eseguite utilizzando la formula conservativa (6.2) §6.2.1 EN 1993-1-1:2005.

X	Comb.	Sfruttamento	Classe	NEd	NRd	Rid. NRd da VEd	My,Ed	My,Rd	Rid. My,Rd da VEd	Rid. My,Rd da NEd	px	py	Verifica
438	SLV 11	0.01	1	109	126600.9	1	-6015	695932	1		0	0	Si



Verifica a presso/tenso flessione retta Y SLD §§ 4.2.4.1.2.3 - 4.2.4.1.2.6 - 4.2.4.1.2.7 - 4.2.4.1.2.8 NTC18

Verifiche eseguite utilizzando la formula conservativa (6.2) §6.2.1 EN 1993-1-1:2005.

X	Comb.	Sfruttamento	Classe	NEd	NRd	Rid. NRd da VEd	My,Ed	My,Rd	Rid. My,Rd da VEd	Rid. My,Rd da NEd	px	py	Verifica
459.7	SLD 1	0.003	1	125.5	126600.9	1	1161	695932	1		0	0	Si

Verifica a presso/tenso flessione deviata §§ 4.2.4.1.2.3 - 4.2.4.1.2.6 - 4.2.4.1.2.7 - 4.2.4.1.2.8 NTC18

Verifiche eseguite utilizzando la formula conservativa (6.2) §6.2.1 EN 1993-1-1:2005.

X	Comb.	Sfruttamento	Classe	NEd	NRd	Rid. NRd da VEd	Mx,Ed	Mx,Rd	My,Ed	My,Rd	Rid. Mx,Rd da VEd	Rid. Mx,Rd da NEd	Rid. My,Rd da VEd	Rid. My,Rd da NEd	α	β	px	py	Verifica
610	SLV 16	0.114	1	79.1	126600.9	1	76712	695932	-2347	695932	1		1				0	0	Si

Verifica a presso/tenso flessione deviata SLD §§ 4.2.4.1.2.3 - 4.2.4.1.2.6 - 4.2.4.1.2.7 - 4.2.4.1.2.8 NTC18

Verifiche eseguite utilizzando la formula conservativa (6.2) §6.2.1 EN 1993-1-1:2005.

X	Comb.	Sfruttamento	Classe	NEd	NRd	Rid. NRd da VEd	Mx,Ed	Mx,Rd	My,Ed	My,Rd	Rid. Mx,Rd da VEd	Rid. Mx,Rd da NEd	Rid. My,Rd da VEd	Rid. My,Rd da NEd	α	β	px	py	Verifica
610	SLD 16	0.108	1	91.2	126600.9	1	72785	695932	-1533	695932	1		1				0	0	Si

Verifiche ad instabilità

Caratteristiche iniziali

Membratura principale per controllo snellezza; Calcolo di snellezze ed N critici condotti secondo gli assi principali; Curva X: c; Curva Y: c; Svergolamento: Carico all'estradosso; Curva svergolamento: d;

Dati per instabilità attorno a x

Controllo della snellezza secondo §4.2.4.1.3.1 NTC18

Numero rit.	Presente	Ascissa	Campata	βx/m	Vincolo a entrambi estremi	λx/m	λVer
1	Si	0					
2	Si	610	1-2	1	Si	101.4	Si, (<200)

Dati per instabilità attorno a y

Controllo della snellezza secondo §4.2.4.1.3.1 NTC18

Numero rit.	Presente	Ascissa	Campata	βy/n	k,LT	kw,LT	Vincolo a entrambi estremi	λy/n	λVer
1	Si	0							
2	Si	610	1-2	1	1	1	Si	101.4	Si, (<200)

Verifica a svergolamento con trazione §4.2.4.1.3.2 NTC18 § 5.5.3 ENV 1993-1-1:1992 + AC:1992 + A1:1994 + A2:1998

X	Comb.	Sfruttamento	Classe	Obblig.	NEd	Mx,Ed	Mx,Eff,Ed	Mb,Rd,x	χ,LT	λ adim. LT	L,LT	M,critico	Verifica
610	SLU 20	0.173	1	Si	207.2	121019.2	120362.9	695932.1	1	0.192	610	19829751.9	Si

Verifica a svergolamento con trazione SLD §4.2.4.1.3.2 NTC18 § 5.5.3 ENV 1993-1-1:1992 + AC:1992 + A1:1994 + A2:1998

X	Comb.	Sfruttamento	Classe	Obblig.	NEd	Mx,Ed	Mx,Eff,Ed	Mb,Rd,x	χ,LT	λ adim. LT	L,LT	M,critico	Verifica
91.3	SLD 1	0.016	1	Si	81.1	11627.3	11370.5	695932.1	1	0.192	610	19829751.9	Si

Verifica di stabilità per tenso-flessione deviata §§ 5.5.3-5.5.4 ENV 1993-1-1:1992 + AC:1992 + A1:1994 + A2:1998

X	Comb.	Sfruttamento	Classe	NEd	Mx,Ed	Mx,Eff,Ed	My,Ed	χ,LT	kLT	ky	M,critico	Wx	Wy	Verifica
610	SLV 16	0.113	1	79.1	76711.6	76461.2	-2347.1	1	1	1	24533098.9	310.9	310.9	Si

Verifica di stabilità per tenso-flessione deviata SLD §§ 5.5.3-5.5.4 ENV 1993-1-1:1992 + AC:1992 + A1:1994 + A2:1998

X	Comb.	Sfruttamento	Classe	NEd	Mx,Ed	Mx,Eff,Ed	My,Ed	χ,LT	kLT	ky	M,critico	Wx	Wy	Verifica
610	SLD 16	0.106	1	91.2	72785.3	72496.3	-1533	1	1	1	19829751.9	310.9	310.9	Si

Verifica di stabilità per pressoflessione §C.4.2.4.1.3.3.2 NTC18

X	Comb.	Sfruttamento	Classe	NEd	NRk	Mx,Ed max	Mx,Rk	My,Ed max	My,Rk	χ,x	χ,y	kxx	kxy	kyx	kyy	χ,LT	Verifica
0	SLV 1	0.08	1	0	132931	54070	730728.7	2347.1	730728.7	0.495	0.495	0.431	0.411	1	0.685	1	Si

Verifica di stabilità a taglio anima X §4.2.4.1.2.4 [4.2.27] NTC18

η	hw	tw	hw/tw max	Verifica
1.2	14	1	60	Si

Verifica di stabilità a taglio anima X SLD §4.2.4.1.2.4 [4.2.27] NTC18

η	hw	tw	hw/tw max	Verifica
1.2	14	1	60	Si

Verifica di stabilità a taglio anima Y §4.2.4.1.2.4 [4.2.27] NTC18

η	hw	tw	hw/tw max	Verifica
1.2	14	1	60	Si

Verifica di stabilità a taglio anima Y SLD §4.2.4.1.2.4 [4.2.27] NTC18

η	hw	tw	hw/tw max	Verifica
1.2	14	1	60	Si



Verifiche a deformabilità

Mensola X: No; Mensola Y: No.

Frecce lungo X

Ascissa freccia	Combinazione	Freccia	Luce	L/f	L/f,min	Tipo	Verifica
260.3	SLE RA 1	0	610	10000	250	Totale	Si
260.3	SLE RA 2	0	610	10000	250	Totale	Si
260.3	SLE RA 3	0	610	10000	250	Totale	Si
260.3	SLE RA 4	0	610	10000	250	Totale	Si
260.3	SLE RA 5	0	610	10000	250	Totale	Si
256	SLE RA 2	0	610	10000	350	Variabile	Si
256	SLE RA 3	0	610	10000	350	Variabile	Si
256	SLE RA 4	0	610	10000	350	Variabile	Si
256	SLE RA 5	0	610	10000	350	Variabile	Si

Frecce lungo Y

Ascissa freccia	Combinazione	Freccia	Luce	L/f	L/f,min	Tipo	Verifica
277.7	SLE RA 5	-0.128	610	4768	250	Totale	Si
277.7	SLE RA 4	-0.124	610	4900	250	Totale	Si
277.7	SLE RA 3	-0.117	610	5203.4	250	Totale	Si
277.7	SLE RA 2	-0.104	610	5852.5	250	Totale	Si
277.7	SLE RA 1	-0.098	610	6193.9	250	Totale	Si
282	SLE RA 2	-0.006	610	10000	350	Variabile	Si
282	SLE RA 3	-0.019	610	10000	350	Variabile	Si
282	SLE RA 4	-0.026	610	10000	350	Variabile	Si
282	SLE RA 5	-0.029	610	10000	350	Variabile	Si



Superelemento in acciaio a "Testa montante" 36-37

Caratteristiche del materiale

Acciaio: S235, fyk = 2350, fuk = 3600

Caratteristiche geometriche

Lunghezza: 167

Nodo iniziale: 19 Nodo finale: 46

Cerniera iniziale: No Cerniera finale: No

Sovreresistenza: 0% Sisma Z: No

Irrigidimento: No

Caratteristiche della sezione

Sezione	Rotazione	Area	Jx	Jy	ix	iy	Wx	Wy	Wplx	Wply
OMEGA 80*40*25*3	0	6.82	55.15	29.58	2.84	2.08	13.23	7.04	17.32	13.25

Processo di formatura: A rullo.

Caratteristiche della sezione lorda ricavate dalla sezione a spigoli vivi

Area,g	Wx,y max,g	Wx,y min,g	Wy,x max,g	Wy,x min,g	xS	yS	Iw	yj
6.91	13.51	14.64	6.83	6.83	0	6.6	166.74	6.8

Caratteristiche della sezione efficace

Area,eff	Wx+,y max,eff	Wx+,y min,eff	Wx-,y max,eff	Wx-,y min,eff	Wy+,x max,eff	Wy+,x min,eff	Wy-,x max,eff	Wy-,x min,eff	eNx	eNy
6.91	13.51	14.64	13.51	14.64	6.83	6.83	6.83	6.83	0	0

Controlli geometrici

Verifica del massimo raggio § 5.1 (6) EN 1993-1-3:2006 + AC:2009

$r = 0.45 < 10.72$ - SODDISFATTA

Verifica del minimo raggio C11.3.4.11.2.1 NTC18

$r = 0.45 > 0.3$ - SODDISFATTA

Verifica dello spessore § 3.2.4 EN 1993-1-3:2006 + AC:2009

$t = 0.3: 0.08 < t < 1.6$ - SODDISFATTA

Verifica del rapporto larghezza/spessore Tab. C4.2.XIX NTC18

Lato	b/t	c/t	d/t	Max rapporto	Verifica
1-2			8.33	50	Si
2-3		26.67		60	Si
3-4		13.33		500	Si
5-4		26.67		60	Si
6-5			8.33	50	Si

Verifica degli angoli interni § 5.5.3.2 EN 1993-1-3:2006 + AC:2009 ; Tab. C4.2.XIX NTC18

Id	Φ	Φ_{min}	Φ_{max}	Verifica
2	90	45	135	Si
3	90	45	90	Si
4	90	45	90	Si
5	90	45	135	Si

Verifiche di resistenza

Verifica a taglio Y §C4.2.12.1.5.4.1 NTC18

X	Comb.	Sfruttamento	VEd	Vb,Rd	fyk	Verifica
167	SLU 14	0.002	-11.6	5997.2	2350	Si

Verifica a taglio Y SLD §C4.2.12.1.5.4.1 NTC18

X	Comb.	Sfruttamento	VEd	Vb,Rd	fyk	Verifica
167	SLD 14	0.001	-8.9	5997.2	2350	Si

Verifica a flessione semplice X §§C4.2.12.1.5.3-C4.2.12.1.5.4 NTC18

X	Comb.	Sfruttamento	Mx,Ed	Mcx,Rd	fymk	fyk	Verifica
167	SLU 14	0.027	971	35421.5	2811.63		Si

Verifica a flessione semplice X SLD §§C4.2.12.1.5.3-C4.2.12.1.5.4 NTC18

X	Comb.	Sfruttamento	Mx,Ed	Mcx,Rd	fymk	fyk	Verifica
167	SLD 12	0.021	747	35421.5	2811.63		Si

Verifica a flessione semplice Y §§C4.2.12.1.5.3-C4.2.12.1.5.4 NTC18

X	Comb.	Sfruttamento	My,Ed	Mcy,Rd	fymk	fyk	Verifica
167	SLV 3	0.001	-9.8	18278.6	2811.63		Si



Verifica a flessione deviata §§C4.2.12.1.5.3-C4.2.12.1.5.4 NTC18

X	Comb.	Sfruttamento	Mx,Ed	Mcx,Rd	My,Ed	Mcy,Rd	fymk	fyk	Verifica
167	SLV 4	0.026	747	35421	-98	18279	2811.63		Si

Verifica a flessione deviata SLD §§C4.2.12.1.5.3-C4.2.12.1.5.4 NTC18

X	Comb.	Sfruttamento	Mx,Ed	Mcx,Rd	My,Ed	Mcy,Rd	fymk	fyk	Verifica
167	SLD 4	0.025	747	35421	-64	18279	2811.63		Si

Verifiche ad instabilità

Caratteristiche iniziali

Membratura principale per controllo snellezza; Calcolo di snellezze ed N critici condotti secondo gli assi principali; Curva X: b; Curva Y: b; Svergolamento: Carico all'estradosso; Curva svergolamento: b; Verifica condotta considerando anche il carico critico Ncr a torsione/flesso-torsione.

Dati per instabilità attorno a x

Controllo della snellezza secondo §4.2.4.1.3.1 NTC18

Numero rit.	Presente	Ascissa	Campata	β /m	Vincolo a entrambi estremi	λ /m	λ Ver
1	Si	0					
			1-2	1	Si	58.7	Si, (<200)
2	Si	167					

Dati per instabilità attorno a y

Controllo della snellezza secondo §4.2.4.1.3.1 NTC18

Numero rit.	Presente	Ascissa	Campata	β /n	k,LT	kw,LT	Vincolo a entrambi estremi	λ /n	λ Ver
1	Si	0							
			1-2	1	1	1	Si	80.2	Si, (<200)
2	Si	167							

Verifica a svergolamento §C4.2.12.1.6.2 NTC18

X	Comb.	Sfruttamento	Obblig.	Mx,Ed	Mb,Rd,x	χ ,LT	λ adim. LT	L,LT	M,critico	Verifica
167	SLU 14	0.048	Si	971	20042.2	0.677	0.875	167	40566.1	Si

Verifica a svergolamento SLD §C4.2.12.1.6.2 NTC18

X	Comb.	Sfruttamento	Obblig.	Mx,Ed	Mb,Rd,x	χ ,LT	λ adim. LT	L,LT	M,critico	Verifica
167	SLD 12	0.037	Si	747	20042.2	0.677	0.875	167	40566.1	Si

Verifica di stabilità per pressoflessione con svergolamento § 6.5.2 ENV 1993-1-3:1996 + AC:1997

X	Comb.	Sfruttamento	NEd	Mx,Ed	My,Ed	Aeff	Weff,x,com	Weff,y,com	χ ,min	χ ,lat	kx	ky	kLT	χ ,LT	Verifica
167	SLV 4	0.041	0	747	-97.8	6.82	14.4	6.8	0.231	0.231	1	1	1	0.677	Si

Verifica di stabilità per pressoflessione con svergolamento SLD § 6.5.2 ENV 1993-1-3:1996 + AC:1997

X	Comb.	Sfruttamento	NEd	Mx,Ed	My,Ed	Aeff	Weff,x,com	Weff,y,com	χ ,min	χ ,lat	kx	ky	kLT	χ ,LT	Verifica
167	SLD 4	0.038	0	747	-63.8	6.82	14.4	6.8	0.231	0.231	1	1	1	0.677	Si

Verifiche a deformabilità

Mensola X: No; Mensola Y: No.

Verifiche eseguite considerando, se necessario, la sezione efficace.

Freccie lungo X

Ascissa freccia	Combinazione	Freccia	Luce	L/f	L/f,min	Tipo	Verifica
105.8	SLE RA 1	0	167	10000	250	Totale	Si
105.8	SLE RA 2	0	167	10000	250	Totale	Si
105.8	SLE RA 3	0	167	10000	250	Totale	Si
105.8	SLE RA 4	0	167	10000	250	Totale	Si
105.8	SLE RA 5	0	167	10000	250	Totale	Si
83.5	SLE RA 2	0	167	10000	350	Variabile	Si
55.7	SLE RA 3	0	167	10000	350	Variabile	Si
94.6	SLE RA 4	0	167	10000	350	Variabile	Si
100.2	SLE RA 5	0	167	10000	350	Variabile	Si

Freccie lungo Y

Ascissa freccia	Combinazione	Freccia	Luce	L/f	L/f,min	Tipo	Verifica
105.8	SLE RA 1	0.007	167	10000	250	Totale	Si
105.8	SLE RA 2	0.007	167	10000	250	Totale	Si
105.8	SLE RA 3	0.007	167	10000	250	Totale	Si
105.8	SLE RA 4	0.007	167	10000	250	Totale	Si
105.8	SLE RA 5	0.007	167	10000	250	Totale	Si
83.5	SLE RA 2	0	167	10000	350	Variabile	Si
105.8	SLE RA 3	0	167	10000	350	Variabile	Si
116.9	SLE RA 4	0	167	10000	350	Variabile	Si
111.3	SLE RA 5	0	167	10000	350	Variabile	Si



Superelemento in acciaio a "Testa montante" 37-38

Caratteristiche del materiale

Acciaio: S235, fyk = 2350, fuk = 3600

Caratteristiche geometriche

Lunghezza: 167

Nodo iniziale: 46 Nodo finale: 79

Cerniera iniziale: No Cerniera finale: No

Sovraresistenza: 0% Sisma Z: No

Irrigidimento: No

Caratteristiche della sezione

Sezione	Rotazione	Area	Jx	Jy	ix	iy	Wx	Wy	Wplx	Wply
OMEGA 80*40*25*3	0	6.82	55.15	29.58	2.84	2.08	13.23	7.04	17.32	13.25

Processo di formatura: A rullo.

Caratteristiche della sezione lorda ricavate dalla sezione a spigoli vivi

Area,g	Wx,y max,g	Wx,y min,g	Wy,x max,g	Wy,x min,g	xS	yS	Iw	yj
6.91	13.51	14.64	6.83	6.83	0	6.6	166.74	6.8

Caratteristiche della sezione efficace

Area,eff	Wx+y max,eff	Wx+y min,eff	Wx-y max,eff	Wx-y min,eff	Wy+x max,eff	Wy+x min,eff	Wy-x max,eff	Wy-x min,eff	eNx	eNy
6.91	13.51	14.64	13.51	14.64	6.83	6.83	6.83	6.83	0	0

Controlli geometrici

Verifica del massimo raggio § 5.1 (6) EN 1993-1-3:2006 + AC:2009

r = 0.45 < 10.72 - SODDISFATTA

Verifica del minimo raggio C11.3.4.11.2.1 NTC18

r = 0.45 > 0.3 - SODDISFATTA

Verifica dello spessore § 3.2.4 EN 1993-1-3:2006 + AC:2009

t = 0.3: 0.08 < t < 1.6 - SODDISFATTA

Verifica del rapporto larghezza/spessore Tab. C4.2.XIX NTC18

Lato	b/t	c/t	d/t	Max rapporto	Verifica
1-2			8.33		Si
2-3		26.67		50	Si
3-4		13.33		60	Si
5-4		26.67		500	Si
6-5			8.33	60	Si
				50	Si

Verifica degli angoli interni § 5.5.3.2 EN 1993-1-3:2006 + AC:2009 ; Tab. C4.2.XIX NTC18

Id	Φ	Φ,min	Φ,max	Verifica
2	90	45	135	Si
3	90	45	90	Si
4	90	45	90	Si
5	90	45	135	Si

Verifiche di resistenza

Verifica a taglio Y §C4.2.12.1.5.4.1 NTC18

X	Comb.	Sfruttamento	VEd	Vb,Rd	fyk	Verifica
0	SLU 19	0.002	11.6	5997.2	2350	Si

Verifica a taglio Y SLD §C4.2.12.1.5.4.1 NTC18

X	Comb.	Sfruttamento	VEd	Vb,Rd	fyk	Verifica
0	SLD 16	0.001	8.9	5997.2	2350	Si

Verifica a flessione semplice X §§C4.2.12.1.5.3-C4.2.12.1.5.4 NTC18

X	Comb.	Sfruttamento	Mx,Ed	Mcx,Rd	fymk	fyk	Verifica
0	SLU 19	0.027	971	35421.5	2811.63		Si

Verifica a flessione semplice X SLD §§C4.2.12.1.5.3-C4.2.12.1.5.4 NTC18

X	Comb.	Sfruttamento	Mx,Ed	Mcx,Rd	fymk	fyk	Verifica
0	SLD 8	0.021	747	35421.5	2811.63		Si

Verifica a flessione semplice Y §§C4.2.12.1.5.3-C4.2.12.1.5.4 NTC18

X	Comb.	Sfruttamento	My,Ed	Mcy,Rd	fymk	fyk	Verifica
150.3	SLV 3	0.001	-9.8	18278.6	2811.63		Si

Verifica a flessione deviata §§C4.2.12.1.5.3-C4.2.12.1.5.4 NTC18

X	Comb.	Sfruttamento	Mx,Ed	Mcx,Rd	My,Ed	Mcy,Rd	fymk	fyk	Verifica
0	SLV 1	0.026	747	35421	-98	18279	2811.63		Si



Verifica a flessione deviata SLD §§C4.2.12.1.5.3-C4.2.12.1.5.4 NTC18

X	Comb.	Sfruttamento	Mx,Ed	Mcx,Rd	My,Ed	Mcy,Rd	fymk	fyk	Verifica
0	SLD 1	0.025	747	35421	-64	18279	2811.63		Si

Verifiche ad instabilità

Caratteristiche iniziali

Membratura principale per controllo snellezza; Calcolo di snellezze ed N critici condotti secondo gli assi principali; Curva X: b; Curva Y: b; Svergolamento: Carico all'estradosso; Curva svergolamento: b; Verifica condotta considerando anche il carico critico Ncr a torsione/flesso-torsione.

Dati per instabilità attorno a x

Controllo della snellezza secondo §4.2.4.1.3.1 NTC18

Numero rit.	Presente	Ascissa	Campata	β /m	Vincolo a entrambi estremi	λ /m	λ Ver
1	Si	0					
2	Si	167	1-2	1	Si	58.7	Si, (<200)

Dati per instabilità attorno a y

Controllo della snellezza secondo §4.2.4.1.3.1 NTC18

Numero rit.	Presente	Ascissa	Campata	β /n	k,LT	kw,LT	Vincolo a entrambi estremi	λ /n	λ Ver
1	Si	0							
2	Si	167	1-2	1	1	1	Si	80.2	Si, (<200)

Verifica a svergolamento §C4.2.12.1.6.2 NTC18

X	Comb.	Sfruttamento	Obblig.	Mx,Ed	Mb,Rd,x	χ ,LT	λ adim. LT	L,LT	M,critico	Verifica
0	SLU 19	0.048	Si	971	20042.2	0.677	0.875	167	40566.1	Si

Verifica a svergolamento SLD §C4.2.12.1.6.2 NTC18

X	Comb.	Sfruttamento	Obblig.	Mx,Ed	Mb,Rd,x	χ ,LT	λ adim. LT	L,LT	M,critico	Verifica
0	SLD 8	0.037	Si	747	20042.2	0.677	0.875	167	40566.1	Si

Verifica di stabilità per pressoflessione con svergolamento § 6.5.2 ENV 1993-1-3:1996 + AC:1997

X	Comb.	Sfruttamento	NEd	Mx,Ed	My,Ed	Aeff	Weff,x,com	Weff,y,com	χ ,min	χ ,lat	kx	ky	kLT	χ ,LT	Verifica
0	SLV 1	0.041	0	747	-98.1	6.82	14.4	6.8	0.231	0.231	1	1	1	0.677	Si

Verifica di stabilità per pressoflessione con svergolamento SLD § 6.5.2 ENV 1993-1-3:1996 + AC:1997

X	Comb.	Sfruttamento	NEd	Mx,Ed	My,Ed	Aeff	Weff,x,com	Weff,y,com	χ ,min	χ ,lat	kx	ky	kLT	χ ,LT	Verifica
0	SLD 1	0.038	0	747	-64	6.82	14.4	6.8	0.231	0.231	1	1	1	0.677	Si

Verifiche a deformabilità

Mensola X: No; Mensola Y: No.
Verifiche eseguite considerando, se necessario, la sezione efficace.

Frecce lungo X

Ascissa freccia	Combinazione	Freccia	Luce	L/f	L/f,min	Tipo	Verifica
61.2	SLE RA 1	0	167	10000	250	Totale	Si
61.2	SLE RA 2	0	167	10000	250	Totale	Si
61.2	SLE RA 3	0	167	10000	250	Totale	Si
61.2	SLE RA 4	0	167	10000	250	Totale	Si
61.2	SLE RA 5	0	167	10000	250	Totale	Si
83.5	SLE RA 2	0	167	10000	350	Variabile	Si
89.1	SLE RA 3	0	167	10000	350	Variabile	Si
94.6	SLE RA 4	0	167	10000	350	Variabile	Si
89.1	SLE RA 5	0	167	10000	350	Variabile	Si

Frecce lungo Y

Ascissa freccia	Combinazione	Freccia	Luce	L/f	L/f,min	Tipo	Verifica
61.2	SLE RA 1	0.007	167	10000	250	Totale	Si
61.2	SLE RA 2	0.007	167	10000	250	Totale	Si
61.2	SLE RA 3	0.007	167	10000	250	Totale	Si
61.2	SLE RA 4	0.007	167	10000	250	Totale	Si
61.2	SLE RA 5	0.007	167	10000	250	Totale	Si
66.8	SLE RA 2	0	167	10000	350	Variabile	Si
66.8	SLE RA 3	0	167	10000	350	Variabile	Si
66.8	SLE RA 4	0	167	10000	350	Variabile	Si
66.8	SLE RA 5	0	167	10000	350	Variabile	Si



VERIFICHE VELA IN POSIZIONE INCLINATA

Si riportano di seguito, a titolo esplicativo, le verifiche dell'elemento trasverso e di un profilo di sostegno dei pannelli fotovoltaici

Superelemento in acciaio "Piano campagna"- "Testa montante" filo 26

Caratteristiche del materiale

Acciaio: S235, fyk = 2350

Caratteristiche geometriche

Lunghezza: 280

Nodo iniziale: 3 Nodo finale: 42

Cerniera iniziale: No Cerniera finale: No

Sovreresistenza: 0% Sisma Z: No

Caratteristiche della sezione

Sezione	Rotazione	Area	Jx	Jy	ix	iy	Wx	Wy	Wplx	Wply
HEA200	0	53.9	3696.19	1335.59	8.28	4.98	389.07	133.56	430	203.88

Verifiche di resistenza

Verifiche a forza assiale §4.2.4.1.2.1 - §4.2.4.1.2.2 NTC18

X	Comb.	Sfruttamento	Classe	NEd	Nc,Rd	Nt,Rd	Riduzione da taglio	px	py	Verifica
0	SLU 20	0.016	1	-1884.3	120625.5		1	0	0	Si

Verifiche a forza assiale SLD §4.2.4.1.2.1 - §4.2.4.1.2.2 NTC18

X	Comb.	Sfruttamento	Classe	NEd	Nc,Rd	Nt,Rd	Riduzione da taglio	px	py	Verifica
0	SLD 5	0.009	1	-1057	120625.5		1	0	0	Si

Verifica a taglio X §4.2.4.1.2.4 NTC18

X	Comb.	Sfruttamento	VEd	Vc,Rd	Av	Interazione taglio-torsione	Riduzione torsione	Verifica
0	SLV 1	0.003	-142.7	55364.8	42.85	Considerata	1	Si

Verifica a taglio X SLD §4.2.4.1.2.4 NTC18

X	Comb.	Sfruttamento	VEd	Vc,Rd	Av	Interazione taglio-torsione	Riduzione torsione	Verifica
0	SLD 1	0.002	-93.2	55364.8	42.85	Considerata	1	Si

Verifica a taglio Y §4.2.4.1.2.4 NTC18

X	Comb.	Sfruttamento	VEd	Vc,Rd	Av	Interazione taglio-torsione	Riduzione torsione	Verifica
0	SLV 9	0.006	-147	23448.3	18.15	Considerata	1	Si

Verifica a taglio Y SLD §4.2.4.1.2.4 NTC18

X	Comb.	Sfruttamento	VEd	Vc,Rd	Av	Interazione taglio-torsione	Riduzione torsione	Verifica
149.3	SLD 9	0.004	-96	23448.3	18.15	Considerata	1	Si

Verifica a presso/tenso flessione retta X §§ 4.2.4.1.2.3 - 4.2.4.1.2.6 - 4.2.4.1.2.7 - 4.2.4.1.2.8 NTC18

Verifiche eseguite utilizzando la formula conservativa (6.2) §6.2.1 EN 1993-1-1:2005.

X	Comb.	Sfruttamento	Classe	NEd	NRd	Rid. NRd da VEd	Mx,Ed	Mx,Rd	Rid. Mx,Rd da VEd	Rid. Mx,Rd da NEd	px	py	Verifica
0	SLU 18	0.033	1	-1724	120625.5	1	-18217	962374	1		0	0	Si

Verifica a presso/tenso flessione retta X SLD §§ 4.2.4.1.2.3 - 4.2.4.1.2.6 - 4.2.4.1.2.7 - 4.2.4.1.2.8 NTC18

Verifiche eseguite utilizzando la formula conservativa (6.2) §6.2.1 EN 1993-1-1:2005.

X	Comb.	Sfruttamento	Classe	NEd	NRd	Rid. NRd da VEd	Mx,Ed	Mx,Rd	Rid. Mx,Rd da VEd	Rid. Mx,Rd da NEd	px	py	Verifica
149.3	SLD 5	0.02	1	-993.8	120625.5	1	11175	962374	1		0	0	Si

Verifica a presso/tenso flessione deviata §§ 4.2.4.1.2.3 - 4.2.4.1.2.6 - 4.2.4.1.2.7 - 4.2.4.1.2.8 NTC18

Verifiche eseguite utilizzando la formula conservativa (6.2) §6.2.1 EN 1993-1-1:2005.

X	Comb.	Sfruttamento	Classe	NEd	NRd	Rid. NRd da VEd	Mx,Ed	My,Ed	My,Rd	Rid. Mx,Rd da VEd	Rid. Mx,Rd da NEd	Rid. My,Rd da VEd	Rid. My,Rd da NEd	α	β	px	py	Verifica
0	SLV 14	0.068	1	1056.8	120625.5	1	11690	21592	456307	1		1				0	0	Si



Verifica a presso/tenso flessione deviata SLD §§ 4.2.4.1.2.3 - 4.2.4.1.2.6 - 4.2.4.1.2.7 - 4.2.4.1.2.8 NTC18

Verifiche eseguite utilizzando la formula conservativa (6.2) §6.2.1 EN 1993-1-1:2005.

X	Comb.	Sfruttamento	Classe	NEd	NRd	Rid. NRd da VEd	Mx,Ed	Mx,Rd	My,Ed	My,Rd	Rid. Mx,Rd da VEd	Rid. Mx,Rd da NEd	Rid. My,Rd da VEd	Rid. My,Rd da NEd	α	β	px	py	Verifica
0	SLD 14	0.048	1	-1056.8	120625.5	1	7636	962374	14103	456307	1		1				0	0	Si

Verifiche ad instabilità

Caratteristiche iniziali

Membratura principale per controllo snellezza; Calcolo di snellezze ed N critici condotti secondo gli assi principali; Curva X: b; Curva Y: c; Svergolamento: Carico all'estradosso; Curva svergolamento: b;

Dati per instabilità attorno a x

Controllo della snellezza secondo §4.2.4.1.3.1 NTC18

Numero rit.	Presente	Ascissa	Campata	βx/m	Vincolo a entrambi estremi	λx/m	λVer
1	Si		0				
2	Si	280	1-2	1	Si	33.8	Si, (<200)

Dati per instabilità attorno a y

Controllo della snellezza secondo §4.2.4.1.3.1 NTC18

Numero rit.	Presente	Ascissa	Campata	βy/n	k _i LT	k _w LT	Vincolo a entrambi estremi	λy/n	λVer
1	Si		0						
2	Si	280	1-2	1	1	1	Si	56.2	Si, (<200)

Verifica di stabilità membrature compresse §4.2.4.1.3.1 NTC18

X	Comb.	Sfruttamento	Classe	Obblig.	NEd	Nb,Rd	χ _i ,min	l ₀ x/m	l ₀ y/n	λ adim. x/m	λ adim. y/n	N _{crit} x/m	N _{crit} y/n	Verifica
0	SLU 19	0.02	1	No	-1854.3	94813.9	0.786	280	280	0.36	0.599	977141.6	353083	Si

Verifica di stabilità per pressoflessione §C.4.2.4.1.3.3.2 NTC18

X	Comb.	Sfruttamento	Classe	NEd	NRk	Mx,Ed max	Mx,Rk	My,Ed max	My,Rk	χ _i x	χ _i y	k _{xx}	k _{xy}	k _{yx}	k _{yy}	χ _i LT	Verifica
0	SLV 9	0.057	1	-1057.2	126656.8	38962.9	1010492.6	6477.3	479122.2	0.942	0.786	0.58	0.242	0.998	0.403	1	Si

Verifica di stabilità per pressoflessione SLD §C.4.2.4.1.3.3.2 NTC18

X	Comb.	Sfruttamento	Classe	NEd	NRk	Mx,Ed max	Mx,Rk	My,Ed max	My,Rk	χ _i x	χ _i y	k _{xx}	k _{xy}	k _{yx}	k _{yy}	χ _i LT	Verifica
0	SLD 9	0.041	1	-1057	126656.8	25449.6	1010492.6	4230.8	479122.2	0.942	0.786	0.58	0.242	0.998	0.403	1	Si

Verifica di stabilità a taglio anima Y §4.2.4.1.2.4 [4.2.27] NTC18

η	hw	tw	hw/tw max	Verifica
1.2		17	0.6	60
				Si

Verifica di stabilità a taglio anima Y SLD §4.2.4.1.2.4 [4.2.27] NTC18

η	hw	tw	hw/tw max	Verifica
1.2		17	0.6	60
				Si

Verifiche a deformabilità

Mensola X: No; Mensola Y: No.

Verifiche non eseguite in quanto il superelemento è verticale.

Verifiche § 7.5 NTC18

Estremi dissipativi del superelemento

Estremo notevole	Asta FEM	Estremo asta	Posizione	Ascissa	Tipo
Piede asta 2	2	Iniziale	0	0	Dissipa Mx, Dissipa My

Verifiche di duttilità §7.5.3.2 NTC18

Classe peggiore 1 <= 3 ad ascissa 0 in comb. SLV 1.

Controllo dello sforzo normale nelle zone dissipative di colonna §7.5.3.2 [7.5.3] NTC18

Estremo notevole	Comb.	Sfruttamento	NEd,ED	Npl,Rd,ED	Verifica
Piede asta 2	SLV 5	0.009	-1057.2	120625.5	Si

Verifiche a resistenza ed instabilità della colonna §7.5.4.2 NTC18

Le verifiche previste non vengono condotte in quanto non esistono estremi notevoli dissipativi di trave idonei al calcolo di Ω.

γ_{ov} = 1.25

NB: superelemento non sollecitato. Verifiche non condotte.



Verifiche di gerarchia delle resistenze trave-colonna §7.5.4.2 [7.5.11] NTC18

Dati del nodo

Quota nodo	Cerniera plastica	Interno	EN di colonne	Tipo	Colonna senza EN	EN di travi	Tipo	Travi senza EN
0	Si	No	Piede asta 2	Dissipa Mx, Dissipa My				

$\gamma_{Rd} = 1.3$

Il nodo della colonna a quota 0 è zona di formazione di cerniera plastica e la verifica non deve essere condotta.



Superelemento in acciaio a "Testa montante" 26-42

Caratteristiche del materiale

Acciaio: S235, $f_{yk} = 2350$

Caratteristiche geometriche

Lunghezza: 610

Nodo iniziale: 42 Nodo finale: 48

Cerniera iniziale: No Cerniera finale: No

Sovreresistenza: 0% Sisma Z: No

Caratteristiche della sezione

Sezione	Rotazione	Area	Jx	Jy	ix	iy	Wx	Wy	Wplx	Wply
EN10219 160x160x10	0	56.57	2047.67	2047.67	6.02	6.02	255.96	255.96	310.95	310.95

Verifiche di resistenza

Verifiche a forza assiale §4.2.4.1.2.1 - §4.2.4.1.2.2 NTC18

X	Comb.	Sfruttamento	Classe	NEd	Nc,Rd	Nt,Rd	Riduzione da taglio	px	py	Verifica
94.3	SLU 20	0.002		219.9		126600.9	1	0	0	Si

Verifiche a forza assiale SLD §4.2.4.1.2.1 - §4.2.4.1.2.2 NTC18

X	Comb.	Sfruttamento	Classe	NEd	Nc,Rd	Nt,Rd	Riduzione da taglio	px	py	Verifica
11.7	SLD 16	0.001		165.4		126600.9	1	0	0	Si

Verifica a taglio X §4.2.4.1.2.4 NTC18

X	Comb.	Sfruttamento	VEd	Vc,Rd	Av	Interazione taglio-torsione	Riduzione torsione	Verifica
0	SLV 6	0.002	-68.2	36441.6	28.28	Considerata	1	Si

Verifica a taglio X SLD §4.2.4.1.2.4 NTC18

X	Comb.	Sfruttamento	VEd	Vc,Rd	Av	Interazione taglio-torsione	Riduzione torsione	Verifica
0	SLD 5	0.001	-44.5	36478	28.28	Considerata	1	Si

Verifica a taglio Y §4.2.4.1.2.4 NTC18

X	Comb.	Sfruttamento	VEd	Vc,Rd	Av	Interazione taglio-torsione	Riduzione torsione	Verifica
610	SLU 20	0.027	-1001.9	36546.5	28.28	Considerata	1	Si

Verifica a taglio Y SLD §4.2.4.1.2.4 NTC18

X	Comb.	Sfruttamento	VEd	Vc,Rd	Av	Interazione taglio-torsione	Riduzione torsione	Verifica
610	SLD 16	0.015	-565.7	36546.5	28.28	Considerata	1	Si

Verifica a torsione §4.2.4.1.2.5 NTC18

X	Comb.	Sfruttamento torsione	TEd	TRd	Riduzione taglio resistente	Sfruttamento taglio-torsione	$\tau_{Ed,totale}$	τ_{Rd}	Verifica
610	SLV 8	0.003	-1925.4	572600.6	Considerata				Si

Verifica a torsione SLD §4.2.4.1.2.5 NTC18

X	Comb.	Sfruttamento torsione	TEd	TRd	Riduzione taglio resistente	Sfruttamento taglio-torsione	$\tau_{Ed,totale}$	τ_{Rd}	Verifica
610	SLD 8	0.002	-1257.6	572600.6	Considerata				Si

Verifica a flessione deviata §§ 4.2.4.1.2.3 - 4.2.4.1.2.6 - 4.2.4.1.2.7 - 4.2.4.1.2.8 NTC18

X	Comb.	Sfruttamento	Classe	Mx,Ed	Mx,Rd	My,Ed	My,Rd	Rid. Mx,Rd da VEd	Rid. My,Rd da VEd	α	β	px	py	Verifica
0	SLV 1	0.078	1	52269	695932	1867	695932	1	1			0	0	Si

Verifica a presso/tenso flessione retta X §§ 4.2.4.1.2.3 - 4.2.4.1.2.6 - 4.2.4.1.2.7 - 4.2.4.1.2.8 NTC18

Verifiche eseguite utilizzando la formula conservativa (6.2) §6.2.1 EN 1993-1-1:2005.

X	Comb.	Sfruttamento	Classe	NEd	NRd	Rid. NRd da VEd	Mx,Ed	Mx,Rd	Rid. Mx,Rd da VEd	Rid. Mx,Rd da NEd	px	py	Verifica
610	SLU 19	0.177	1	216.3	126600.9	1	121930	695932	1		0	0	Si

Verifica a presso/tenso flessione retta X SLD §§ 4.2.4.1.2.3 - 4.2.4.1.2.6 - 4.2.4.1.2.7 - 4.2.4.1.2.8 NTC18

Verifiche eseguite utilizzando la formula conservativa (6.2) §6.2.1 EN 1993-1-1:2005.

X	Comb.	Sfruttamento	Classe	NEd	NRd	Rid. NRd da VEd	Mx,Ed	Mx,Rd	Rid. Mx,Rd da VEd	Rid. Mx,Rd da NEd	px	py	Verifica
85.7	SLD 1	0.02	1	88.2	126600.9	1	13650	695932	1		0	0	Si

Verifica a presso/tenso flessione retta Y §§ 4.2.4.1.2.3 - 4.2.4.1.2.6 - 4.2.4.1.2.7 - 4.2.4.1.2.8 NTC18

Verifiche eseguite utilizzando la formula conservativa (6.2) §6.2.1 EN 1993-1-1:2005.

X	Comb.	Sfruttamento	Classe	NEd	NRd	Rid. NRd da VEd	My,Ed	My,Rd	Rid. My,Rd da VEd	Rid. My,Rd da NEd	px	py	Verifica
449.7	SLV 8	0.01	1	127.9	126600.9	1	-6338	695932	1		0	0	Si



Verifica a presso/tenso flessione retta Y SLD §§ 4.2.4.1.2.3 - 4.2.4.1.2.6 - 4.2.4.1.2.7 - 4.2.4.1.2.8 NTC18

Verifiche eseguite utilizzando la formula conservativa (6.2) §6.2.1 EN 1993-1-1:2005.

X	Comb.	Sfruttamento	Classe	NEd	NRd	Rid. NRd da VEd	My,Ed	My,Rd	Rid. My,Rd da VEd	Rid. My,Rd da NEd	px	py	Verifica
458.3	SLD 3	0.003	1	133.7	126600.9	1	-1320	695932	1		0	0	Si

Verifica a presso/tenso flessione deviata §§ 4.2.4.1.2.3 - 4.2.4.1.2.6 - 4.2.4.1.2.7 - 4.2.4.1.2.8 NTC18

Verifiche eseguite utilizzando la formula conservativa (6.2) §6.2.1 EN 1993-1-1:2005.

X	Comb.	Sfruttamento	Classe	NEd	NRd	Rid. NRd da VEd	Mx,Ed	Mx,Rd	My,Ed	My,Rd	Rid. Mx,Rd da VEd	Rid. Mx,Rd da NEd	Rid. My,Rd da VEd	Rid. My,Rd da NEd	α	β	px	py	Verifica
610	SLU 20	0.186	1	219.9	126600.9	1	124055	695932	-3855	695932	1		1				0	0	Si

Verifica a presso/tenso flessione deviata SLD §§ 4.2.4.1.2.3 - 4.2.4.1.2.6 - 4.2.4.1.2.7 - 4.2.4.1.2.8 NTC18

Verifiche eseguite utilizzando la formula conservativa (6.2) §6.2.1 EN 1993-1-1:2005.

X	Comb.	Sfruttamento	Classe	NEd	NRd	Rid. NRd da VEd	Mx,Ed	Mx,Rd	My,Ed	My,Rd	Rid. Mx,Rd da VEd	Rid. Mx,Rd da NEd	Rid. My,Rd da VEd	Rid. My,Rd da NEd	α	β	px	py	Verifica
610	SLD 14	0.111	1	98.7	126600.9	1	75183	695932	1708	695932	1		1				0	0	Si

Verifiche ad instabilità

Caratteristiche iniziali

Membratura principale per controllo snellezza; Calcolo di snellezze ed N critici condotti secondo gli assi principali; Curva X: c; Curva Y: c; Svergolamento: Carico all'estradosso; Curva svergolamento: d;

Dati per instabilità attorno a x

Controllo della snellezza secondo §4.2.4.1.3.1 NTC18

Numero rit.	Presente	Ascissa	Campata	βx/m	Vincolo a entrambi estremi	λx/m	λVer
1	Si		0				
2	Si		610		1	101.4	Si, (<200)

Dati per instabilità attorno a y

Controllo della snellezza secondo §4.2.4.1.3.1 NTC18

Numero rit.	Presente	Ascissa	Campata	βy/n	k,LT	kw,LT	Vincolo a entrambi estremi	λy/n	λVer
1	Si		0						
2	Si		610		1	1	1	101.4	Si, (<200)

Verifica a svergolamento con trazione §4.2.4.1.3.2 NTC18 § 5.5.3 ENV 1993-1-1:1992 + AC:1992 + A1:1994 + A2:1998

X	Comb.	Sfruttamento	Classe	Obblig.	NEd	Mx,Ed	Mx,Eff,Ed	Mb,Rd,x	χ,LT	λ adim. LT	L,LT	M,critico	Verifica
610	SLU 19	0.174	1	Si	216.3	121930.3	121245.3	695932.1	1	0.192	610	19829751.9	Si

Verifica a svergolamento con trazione SLD §4.2.4.1.3.2 NTC18 § 5.5.3 ENV 1993-1-1:1992 + AC:1992 + A1:1994 + A2:1998

X	Comb.	Sfruttamento	Classe	Obblig.	NEd	Mx,Ed	Mx,Eff,Ed	Mb,Rd,x	χ,LT	λ adim. LT	L,LT	M,critico	Verifica
85.7	SLD 1	0.019	1	Si	88.2	13649.5	13370.1	695932.1	1	0.192	610	19829751.9	Si

Verifica di stabilità per tenso-flessione deviata §§ 5.5.3-5.5.4 ENV 1993-1-1:1992 + AC:1992 + A1:1994 + A2:1998

X	Comb.	Sfruttamento	Classe	NEd	Mx,Ed	Mx,Eff,Ed	My,Ed	χ,LT	kLT	ky	M,critico	Wx	Wy	Verifica
610	SLU 20	0.183	1	219.9	124054.8	123358.3	-3854.9	1	1	1	19829751.9	310.9	310.9	Si

Verifica di stabilità per tenso-flessione deviata SLD §§ 5.5.3-5.5.4 ENV 1993-1-1:1992 + AC:1992 + A1:1994 + A2:1998

X	Comb.	Sfruttamento	Classe	NEd	Mx,Ed	Mx,Eff,Ed	My,Ed	χ,LT	kLT	ky	M,critico	Wx	Wy	Verifica
610	SLD 13	0.11	1	98.7	75182.8	74870	1707.7	1	1	1	19829751.9	310.9	310.9	Si

Verifica di stabilità per pressoflessione §C.4.2.4.1.3.3.2 NTC18

X	Comb.	Sfruttamento	Classe	NEd	NRk	Mx,Ed max	Mx,Rk	My,Ed max	My,Rk	χ,x	χ,y	kxx	kxy	kyx	kyy	χ,LT	Verifica
0	SLV 1	0.083	1	0	132931	55927.1	730728.7	2299.2	730728.7	0.495	0.495	0.426	0.466	1	0.777	1	Si

Verifica di stabilità a taglio anima X §4.2.4.1.2.4 [4.2.27] NTC18

η	hw	tw	hw/tw max	Verifica
1.2	14	1	60	Si

Verifica di stabilità a taglio anima X SLD §4.2.4.1.2.4 [4.2.27] NTC18

η	hw	tw	hw/tw max	Verifica
1.2	14	1	60	Si

Verifica di stabilità a taglio anima Y §4.2.4.1.2.4 [4.2.27] NTC18

η	hw	tw	hw/tw max	Verifica
1.2	14	1	60	Si

Verifica di stabilità a taglio anima Y SLD §4.2.4.1.2.4 [4.2.27] NTC18

η	hw	tw	hw/tw max	Verifica
1.2	14	1	60	Si



Verifiche a deformabilità

Mensola X: No; Mensola Y: No.

Freccie lungo X

Ascissa freccia	Combinazione	Freccia	Luce	L/f	L/f,min	Tipo	Verifica
389	SLE RA 1	0	610	10000	250	Totale	Si
510.3	SLE RA 2	0.003	610	10000	250	Totale	Si
510.3	SLE RA 3	0.003	610	10000	250	Totale	Si
389	SLE RA 4	0	610	10000	250	Totale	Si
510.3	SLE RA 5	0.002	610	10000	250	Totale	Si
510.3	SLE RA 2	0.003	610	10000	350	Variabile	Si
510.3	SLE RA 3	0.003	610	10000	350	Variabile	Si
389	SLE RA 4	0	610	10000	350	Variabile	Si
510.3	SLE RA 5	0.002	610	10000	350	Variabile	Si

Freccie lungo Y

Ascissa freccia	Combinazione	Freccia	Luce	L/f	L/f,min	Tipo	Verifica
276.3	SLE RA 5	-0.128	610	4783.5	250	Totale	Si
276.3	SLE RA 4	-0.125	610	4867.2	250	Totale	Si
276.3	SLE RA 3	-0.116	610	5267.4	250	Totale	Si
276.3	SLE RA 2	-0.103	610	5943.5	250	Totale	Si
276.3	SLE RA 1	-0.099	610	6162.7	250	Totale	Si
280.7	SLE RA 2	-0.004	610	10000	350	Variabile	Si
280.7	SLE RA 3	-0.017	610	10000	350	Variabile	Si
280.7	SLE RA 4	-0.026	610	10000	350	Variabile	Si
280.7	SLE RA 5	-0.029	610	10000	350	Variabile	Si



Superelemento in acciaio a "Testa montante"-"139" 37-36

Caratteristiche del materiale

Acciaio: S235, $f_yk = 2350$, $f_u k = 3600$

Caratteristiche geometriche

Lunghezza: 174.5

Nodo iniziale: 46 Nodo finale: 19

Cerniera iniziale: No Cerniera finale: No

Sovreresistenza: 0% Sisma Z: No

Irrigidimento: No

Caratteristiche della sezione

Sezione	Rotazione	Area	Jx	Jy	ix	iy	Wx	Wy	Wplx	Wply
OMEGA 80*40*25*3	0	6.82	55.15	29.58	2.84	2.08	13.23	7.04	17.32	13.25

Processo di formatura: A rullo.

Caratteristiche della sezione lorda ricavate dalla sezione a spigoli vivi

Area,g	Wx,y max,g	Wx,y min,g	Wy,x max,g	Wy,x min,g	xS	yS	Iw	yj
6.91	13.51	14.64	6.83	6.83	0	6.6	166.74	6.8

Caratteristiche della sezione efficace

Area,eff	Wx+,y max,eff	Wx+,y min,eff	Wx-,y max,eff	Wx-,y min,eff	Wy+,x max,eff	Wy+,x min,eff	Wy-,x max,eff	Wy-,x min,eff	eNx	eNy
6.91	13.51	14.64	13.51	14.64	6.83	6.83	6.83	6.83	0	0

Controlli geometrici

Verifica del massimo raggio § 5.1 (6) EN 1993-1-3:2006 + AC:2009

$r = 0.45 < 10.72$ - SODDISFATTA

Verifica del minimo raggio C11.3.4.11.2.1 NTC18

$r = 0.45 > 0.3$ - SODDISFATTA

Verifica dello spessore § 3.2.4 EN 1993-1-3:2006 + AC:2009

$t = 0.3: 0.08 < t < 1.6$ - SODDISFATTA

Verifica del rapporto larghezza/spessore Tab. C4.2.XIX NTC18

Lato	b/t	c/t	d/t	Max rapporto	Verifica
1-2		8.33		50	Si
2-3	26.67			60	Si
3-4	13.33			500	Si
5-4	26.67			60	Si
6-5		8.33		50	Si

Verifica degli angoli interni § 5.5.3.2 EN 1993-1-3:2006 + AC:2009 ; Tab. C4.2.XIX NTC18

Id	Φ	Φ_{min}	Φ_{max}	Verifica
2	90	45	135	Si
3	90	45	90	Si
4	90	45	90	Si
5	90	45	135	Si

Verifiche di resistenza

Verifica a taglio Y §C4.2.12.1.5.4.1 NTC18

X	Comb.	Sfruttamento	VEd	Vb,Rd	f _{yk}	Verifica
0	SLU 12	0.001	7.1	5997.2	2350	Si

Verifica a taglio Y SLD §C4.2.12.1.5.4.1 NTC18

X	Comb.	Sfruttamento	VEd	Vb,Rd	f _{yk}	Verifica
0	SLD 11	0.001	5.6	5997.2	2350	Si

Verifica a flessione semplice X §§C4.2.12.1.5.3-C4.2.12.1.5.4 NTC18

X	Comb.	Sfruttamento	M _{x,Ed}	M _{cx,Rd}	f _{ymk}	f _{yk}	Verifica
17.4	SLU 2	0.011	387.8	35421.5	2811.63		Si

Verifica a flessione semplice X SLD §§C4.2.12.1.5.3-C4.2.12.1.5.4 NTC18

X	Comb.	Sfruttamento	M _{x,Ed}	M _{cx,Rd}	f _{ymk}	f _{yk}	Verifica
34.9	SLD 11	0.009	324.8	35421.5	2811.63		Si

Verifica a flessione semplice Y §§C4.2.12.1.5.3-C4.2.12.1.5.4 NTC18

X	Comb.	Sfruttamento	M _{y,Ed}	M _{cy,Rd}	f _{ymk}	f _{yk}	Verifica



X	Comb.	Sfruttamento	My,Ed	Mcy,Rd	fymk	fyk	Verifica
145.4	SLV 13	0.001	-18.4	18278.6	2811.63		Si

Verifica a flessione semplice Y SLD §5C4.2.12.1.5.3-C4.2.12.1.5.4 NTC18

X	Comb.	Sfruttamento	My,Ed	Mcy,Rd	fymk	fyk	Verifica
145.4	SLD 13	0.001	-12	18278.6	2811.63		Si

Verifica a flessione deviata §5C4.2.12.1.5.3-C4.2.12.1.5.4 NTC18

X	Comb.	Sfruttamento	Mx,Ed	Mcx,Rd	My,Ed	Mcy,Rd	fymk	fyk	Verifica
17.4	SLV 4	0.017	395	35421	99	18279	2811.63		Si

Verifica a flessione deviata SLD §5C4.2.12.1.5.3-C4.2.12.1.5.4 NTC18

X	Comb.	Sfruttamento	Mx,Ed	Mcx,Rd	My,Ed	Mcy,Rd	fymk	fyk	Verifica
17.4	SLD 3	0.015	393	35421	65	18279	2811.63		Si

Verifica a presso/tenso flessione §C4.2.12.1.5.4 NTC18

X	Comb.	Sfruttamento	NEd	Nc,Rd	Nt,Rd	Mx,Ed	Mcx,Rd,com	Mcx,Rd,ten	My,Ed	Mcy,Rd,com	Mcy,Rd,ten	fymk	fyk	Verifica
0	SLV 3	0.02	7.5		18272.1	487.13	38551.68	35421.47	110.19	18278.59	18278.59	2811.63		Si

Verifica a presso/tenso flessione SLD §C4.2.12.1.5.4 NTC18

X	Comb.	Sfruttamento	NEd	Nc,Rd	Nt,Rd	Mx,Ed	Mcx,Rd,com	Mcx,Rd,ten	My,Ed	Mcy,Rd,com	Mcy,Rd,ten	fymk	fyk	Verifica
0	SLD 4	0.018	7.5		18272.1	484.27	38551.68	35421.47	71.95	18278.59	18278.59	2811.63		Si

Verifiche ad instabilità

Caratteristiche iniziali

Membratura principale per controllo snellezza; Calcolo di snellezze ed N critici condotti secondo gli assi principali; Curva X: b; Curva Y: b; Svergolamento: Carico all'estradosso; Curva svergolamento: b; Verifica condotta considerando anche il carico critico Ncr a torsione/flesso-torsione.

Dati per instabilità attorno a x

Controllo della snellezza secondo §4.2.4.1.3.1 NTC18

Numero rit.	Presente	Ascissa	Campata	βx/m	Vincolo a entrambi estremi	λx/m	λVer
1	Si	0					
2	Si	174.5	1-2	1	Si	61.4	Si, (<200)

Dati per instabilità attorno a y

Controllo della snellezza secondo §4.2.4.1.3.1 NTC18

Numero rit.	Presente	Ascissa	Campata	βy/n	k,LT	kw,LT	Vincolo a entrambi estremi	λy/n	λVer
1	Si	0							
2	Si	174.5	1-2	1	1	1	Si	83.8	Si, (<200)

Verifica a svergolamento §C4.2.12.1.6.2 NTC18

X	Comb.	Sfruttamento	Obblig.	Mx,Ed	Mb,Rd,x	χ,LT	λ adim. LT	L,LT	M,critico	Verifica
17.4	SLU 2	0.02	Si	387.8	19714	0.666	0.893	174.5	39009.6	Si

Verifica a svergolamento SLD §C4.2.12.1.6.2 NTC18

X	Comb.	Sfruttamento	Obblig.	Mx,Ed	Mb,Rd,x	χ,LT	λ adim. LT	L,LT	M,critico	Verifica
34.9	SLD 11	0.016	Si	324.8	19714	0.666	0.893	174.5	39009.6	Si

Verifica a svergolamento §C4.2.12.1.6.2 NTC18 § 5.5.3 ENV 1993-1-1:1992 + AC:1992 + A1:1994 + A2:1998

X	Comb.	Sfruttamento	Obblig.	Mx,Ed	Mb,Rd,x	χ,LT	λ adim. LT	L,LT	M,critico	Verifica
0	SLU 12	0.031	Si	9.8	622.4	607.902	19714.015	0.7	0.9	174,469904348627

Verifica di stabilità per tenso-flessione deviata § 6.5.1 ENV 1993-1-3:1996 + AC:1997 § 5.5.3 ENV 1993-1-1:1992 + AC:1992 + A1:1994 + A2:1998

X	Comb.	Sfruttamento	NEd	Mx,Ed	Mx,Eff,Ed	My,Ed	χ,LT	kLT	ky	M,critico	Weff,x,com	Weff,y,com	Verifica
0	SLV 3	0.029	7.5	487.1	476	110.2	0.666	1	1	39009.6	14.4	6.8	Si

Verifica di stabilità per tenso-flessione deviata SLD § 6.5.1 ENV 1993-1-3:1996 + AC:1997 § 5.5.3 ENV 1993-1-1:1992 + AC:1992 + A1:1994 + A2:1998

X	Comb.	Sfruttamento	NEd	Mx,Ed	Mx,Eff,Ed	My,Ed	χ,LT	kLT	ky	M,critico	Weff,x,com	Weff,y,com	Verifica
0	SLD 4	0.027	7.5	484.3	473.1	71.9	0.666	1	1	39009.6	14.4	6.8	Si

Verifica di stabilità per pressoflessione con svergolamento § 6.5.2 ENV 1993-1-3:1996 + AC:1997

X	Comb.	Sfruttamento	NEd	Mx,Ed	My,Ed	Aeff	Weff,x,com	Weff,y,com	χ,min	χ,lat	kx	ky	kLT	χ,LT	Verifica
17.4	SLV 4	0.025	0	395.3	99.2	6.82	14.4	6.8	0.222	0.222	1	1	1	0.666	Si

Verifica di stabilità per pressoflessione con svergolamento SLD § 6.5.2 ENV 1993-1-3:1996 + AC:1997

X	Comb.	Sfruttamento	NEd	Mx,Ed	My,Ed	Aeff	Weff,x,com	Weff,y,com	χ,min	χ,lat	kx	ky	kLT	χ,LT	Verifica
17.4	SLD 3	0.023	0	392.8	64.8	6.82	14.4	6.8	0.222	0.222	1	1	1	0.666	Si

Verifiche a deformabilità

Mensola X: No; Mensola Y: No.

Verifiche eseguite considerando, se necessario, la sezione efficace.

Frecce lungo X

Ascissa freccia	Combinazione	Freccia	Luce	L/f	L/f,min	Tipo	Verifica
64	SLE RA 1	0	174.5	10000	250	Totale	Si



Ascissa freccia	Combinazione	Freccia	Luce	L/f	L/f,min	Tipo	Verifica
64	SLE RA 2	0	174.5	10000	250	Totale	Si
64	SLE RA 3	0	174.5	10000	250	Totale	Si
64	SLE RA 4	0	174.5	10000	250	Totale	Si
64	SLE RA 5	0	174.5	10000	250	Totale	Si
81.4	SLE RA 2	0	174.5	10000	350	Variabile	Si
87.2	SLE RA 3	0	174.5	10000	350	Variabile	Si
87.2	SLE RA 4	0	174.5	10000	350	Variabile	Si
87.2	SLE RA 5	0	174.5	10000	350	Variabile	Si

Freccie lungo Y

Ascissa freccia	Combinazione	Freccia	Luce	L/f	L/f,min	Tipo	Verifica
64	SLE RA 1	0.005	174.5	10000	250	Totale	Si
64	SLE RA 2	0.005	174.5	10000	250	Totale	Si
64	SLE RA 3	0.005	174.5	10000	250	Totale	Si
64	SLE RA 4	0.005	174.5	10000	250	Totale	Si
64	SLE RA 5	0.005	174.5	10000	250	Totale	Si
75.6	SLE RA 2	0	174.5	10000	350	Variabile	Si
75.6	SLE RA 3	0	174.5	10000	350	Variabile	Si
75.6	SLE RA 4	0	174.5	10000	350	Variabile	Si
75.6	SLE RA 5	0	174.5	10000	350	Variabile	Si



Superelemento in acciaio a "Testa montante"-"421" 37-38

Caratteristiche del materiale

Acciaio: S235, $f_yk = 2350$, $f_u k = 3600$

Caratteristiche geometriche

Lunghezza: 174.5

Nodo iniziale: 46 Nodo finale: 75

Cerniera iniziale: No Cerniera finale: No

Sovreresistenza: 0% Sisma Z: No

Irrigidimento: No

Caratteristiche della sezione

Sezione	Rotazione	Area	Jx	Jy	ix	iy	Wx	Wy	Wplx	Wply
OMEGA 80*40*25*3	0	6.82	55.15	29.58	2.84	2.08	13.23	7.04	17.32	13.25

Processo di formatura: A rullo.

Caratteristiche della sezione lorda ricavate dalla sezione a spigoli vivi

Area,g	Wx,y max,g	Wx,y min,g	Wy,x max,g	Wy,x min,g	xS	yS	Iw	Ij
6.91	13.51	14.64	6.83	6.83	0	6.6	166.74	6.8

Caratteristiche della sezione efficace

Area,eff	Wx+,y max,eff	Wx+,y min,eff	Wx-,y max,eff	Wx-,y min,eff	Wy+,x max,eff	Wy+,x min,eff	Wy-,x max,eff	Wy-,x min,eff	eNx	eNy
6.91	13.51	14.64	13.51	14.64	6.83	6.83	6.83	6.83	0	0

Controlli geometrici

Verifica del massimo raggio § 5.1 (6) EN 1993-1-3:2006 + AC:2009

$r = 0.45 < 10.72$ - SODDISFATTA

Verifica del minimo raggio C11.3.4.11.2.1 NTC18

$r = 0.45 > 0.3$ - SODDISFATTA

Verifica dello spessore § 3.2.4 EN 1993-1-3:2006 + AC:2009

$t = 0.3: 0.08 < t < 1.6$ - SODDISFATTA

Verifica del rapporto larghezza/spessore Tab. C4.2.XIX NTC18

Lato	b/t	c/t	d/t	Max rapporto	Verifica
1-2		8.33		50	Si
2-3	26.67			60	Si
3-4	13.33			500	Si
5-4	26.67			60	Si
6-5		8.33		50	Si

Verifica degli angoli interni § 5.5.3.2 EN 1993-1-3:2006 + AC:2009 ; Tab. C4.2.XIX NTC18

Id	Φ	Φ_{min}	Φ_{max}	Verifica
2	90	45	135	Si
3	90	45	90	Si
4	90	45	90	Si
5	90	45	135	Si

Verifiche di resistenza

Verifica a taglio Y §C4.2.12.1.5.4.1 NTC18

X	Comb.	Sfruttamento	VEd	Vb,Rd	f _{yk}	Verifica
0	SLU 12	0.001	7.1	5997.2	2350	Si

Verifica a taglio Y SLD §C4.2.12.1.5.4.1 NTC18

X	Comb.	Sfruttamento	VEd	Vb,Rd	f _{yk}	Verifica
0	SLD 12	0.001	6	5997.2	2350	Si

Verifica a flessione semplice X §§C4.2.12.1.5.3-C4.2.12.1.5.4 NTC18

X	Comb.	Sfruttamento	M _{x,Ed}	M _{cx,Rd}	f _{ymk}	f _{yk}	Verifica
17.4	SLU 2	0.011	387.8	35421.5	2811.63		Si

Verifica a flessione semplice X SLD §§C4.2.12.1.5.3-C4.2.12.1.5.4 NTC18

X	Comb.	Sfruttamento	M _{x,Ed}	M _{cx,Rd}	f _{ymk}	f _{yk}	Verifica
11.6	SLD 11	0.014	493.2	35421.5	2811.63		Si

Verifica a flessione semplice Y §§C4.2.12.1.5.3-C4.2.12.1.5.4 NTC18

X	Comb.	Sfruttamento	M _{y,Ed}	M _{cy,Rd}	f _{ymk}	f _{yk}	Verifica



X	Comb.	Sfruttamento	My,Ed	Mcy,Rd	fymk	fyk	Verifica
139.6	SLV 14	0.001	19.9	18278.6	2811.63		Si

Verifica a flessione semplice Y SLD §§C4.2.12.1.5.3-C4.2.12.1.5.4 NTC18

X	Comb.	Sfruttamento	My,Ed	Mcy,Rd	fymk	fyk	Verifica
145.4	SLD 13	0.001	10.8	18278.6	2811.63		Si

Verifica a flessione deviata §§C4.2.12.1.5.3-C4.2.12.1.5.4 NTC18

X	Comb.	Sfruttamento	Mx,Ed	Mcy,Rd	My,Ed	Mcy,Rd	fymk	fyk	Verifica
5.8	SLV 7	0.018	567	35421	-45	18279	2811.63		Si

Verifica a flessione deviata SLD §§C4.2.12.1.5.3-C4.2.12.1.5.4 NTC18

X	Comb.	Sfruttamento	Mx,Ed	Mcy,Rd	My,Ed	Mcy,Rd	fymk	fyk	Verifica
11.6	SLD 8	0.015	492	35421	-28	18279	2811.63		Si

Verifica a presso/tenso flessione §C4.2.12.1.5.4 NTC18

X	Comb.	Sfruttamento	NEd	Nc,Rd	Nt,Rd	Mx,Ed	Mcx,Rd,com	Mcx,Rd,ten	My,Ed	Mcy,Rd,com	Mcy,Rd,ten	fymk	fyk	Verifica
0	SLV 4	0.02	-7.4	18272.1		513.65	38551.68	35421.47	-99.62	18278.59	18278.59	2811.63		Si

Verifica a presso/tenso flessione SLD §C4.2.12.1.5.4 NTC18

X	Comb.	Sfruttamento	NEd	Nc,Rd	Nt,Rd	Mx,Ed	Mcx,Rd,com	Mcx,Rd,ten	My,Ed	Mcy,Rd,com	Mcy,Rd,ten	fymk	fyk	Verifica
0	SLD 3	0.017	-7.5	18272.1		501.56	38551.68	35421.47	-65.05	18278.59	18278.59	2811.63		Si

Verifiche ad instabilità

Caratteristiche iniziali

Membratura principale per controllo snellezza; Calcolo di snellezze ed N critici condotti secondo gli assi principali; Curva X: b; Curva Y: b; Svergolamento: Carico all'estradosso; Curva svergolamento: b; Verifica condotta considerando anche il carico critico Ncr a torsione/flesso-torsione.

Dati per instabilità attorno a x

Controllo della snellezza secondo §4.2.4.1.3.1 NTC18

Numero rit.	Presente	Ascissa	Campata	$\beta x/m$	Vincolo a entrambi estremi	$\lambda x/m$	λVer
1	Si		0				
2	Si	174.5	1-2	1	Si	61.4	Si, (<200)

Dati per instabilità attorno a y

Controllo della snellezza secondo §4.2.4.1.3.1 NTC18

Numero rit.	Presente	Ascissa	Campata	$\beta y/n$	k,LT	kw,LT	Vincolo a entrambi estremi	$\lambda y/n$	λVer
1	Si		0						
2	Si	174.5	1-2	1	1	1	Si	83.8	Si, (<200)

Verifica a svergolamento §C4.2.12.1.6.2 NTC18

X	Comb.	Sfruttamento	Obblig.	Mx,Ed	Mb,Rd,x	χ_{LT}	λ adim. LT	L,LT	M,critico	Verifica
17.4	SLU 2	0.02	Si	387.8	19714	0.666	0.893	174.5	39009.6	Si

Verifica a svergolamento SLD §C4.2.12.1.6.2 NTC18

X	Comb.	Sfruttamento	Obblig.	Mx,Ed	Mb,Rd,x	χ_{LT}	λ adim. LT	L,LT	M,critico	Verifica
11.6	SLD 11	0.025	Si	493.2	19714	0.666	0.893	174.5	39009.6	Si

Verifica di stabilità per pressoflessione con svergolamento § 6.5.2 ENV 1993-1-3:1996 + AC:1997

X	Comb.	Sfruttamento	NEd	Mx,Ed	My,Ed	Aeff	Weff,x,com	Weff,y,com	χ_{min}	χ_{lat}	kx	ky	kLT	χ_{LT}	Verifica
0	SLV 7	0.033	-7.1	602.2	-46.4	6.82	14.4	6.8	0.222	0.222	1	1.002	0.999	0.666	Si

Verifica di stabilità per pressoflessione con svergolamento SLD § 6.5.2 ENV 1993-1-3:1996 + AC:1997

X	Comb.	Sfruttamento	NEd	Mx,Ed	My,Ed	Aeff	Weff,x,com	Weff,y,com	χ_{min}	χ_{lat}	kx	ky	kLT	χ_{LT}	Verifica
0	SLD 7	0.03	-7.2	559.4	-30.2	6.82	14.4	6.8	0.222	0.222	1	1.002	0.999	0.666	Si

Verifica di stabilità per pressoflessione retta § 6.2.5 (2) EN 1993-1-3:2006 + AC:2009

X	Comb.	Sfruttamento	NEd	Nb,Rd	Mx,Ed	Mb,Rd,x	χ_{min}	l0 x/m	l0 y/n	λ adim. x/m	λ adim. y/n	N,crit x/m	N,crit y/n	χ_{LT}	λ adim. LT	M,critico	Verifica
0	SLU 12	0.072	-9.8	3390.4	622.4	19714	0.222	174.5	174.5	0.653	1.935	37552.2	4280.6	0.666	0.893	39009.6	Si

Verifica di stabilità per pressoflessione retta SLD § 6.2.5 (2) EN 1993-1-3:2006 + AC:2009

X	Comb.	Sfruttamento	NEd	Nb,Rd	Mx,Ed	Mb,Rd,x	χ_{min}	l0 x/m	l0 y/n	λ adim. x/m	λ adim. y/n	N,crit x/m	N,crit y/n	χ_{LT}	λ adim. LT	M,critico	Verifica
0	SLD 11	0.065	-7.2	3390.4	560.4	19714	0.222	174.5	174.5	0.653	1.935	37552.2	4280.6	0.666	0.893	39009.6	Si

Verifiche a deformabilità

Mensola X: No; Mensola Y: No.
Verifiche eseguite considerando, se necessario, la sezione efficace.

Freccie lungo X

Ascissa freccia	Combinazione	Freccia	Luce	L/f	L/f,min	Tipo	Verifica
64	SLE RA 1	0	174.5	10000	250	Totale	Si
64	SLE RA 2	0	174.5	10000	250	Totale	Si
64	SLE RA 3	0	174.5	10000	250	Totale	Si
64	SLE RA 4	0	174.5	10000	250	Totale	Si
64	SLE RA 5	0	174.5	10000	250	Totale	Si
133.8	SLE RA 2	0	174.5	10000	350	Variabile	Si



Ascissa freccia	Combinazione	Freccia	Luce	L/f	L/f,min	Tipo	Verifica
87.2	SLE RA 3	0	174.5	10000	350	Variabile	Si
93.1	SLE RA 4	0	174.5	10000	350	Variabile	Si
93.1	SLE RA 5	0	174.5	10000	350	Variabile	Si

Freccie lungo Y

Ascissa freccia	Combinazione	Freccia	Luce	L/f	L/f,min	Tipo	Verifica
64	SLE RA 1	0.005	174.5	10000	250	Totale	Si
64	SLE RA 2	0.005	174.5	10000	250	Totale	Si
64	SLE RA 3	0.005	174.5	10000	250	Totale	Si
64	SLE RA 4	0.005	174.5	10000	250	Totale	Si
64	SLE RA 5	0.005	174.5	10000	250	Totale	Si
75.6	SLE RA 2	0	174.5	10000	350	Variabile	Si
75.6	SLE RA 3	0	174.5	10000	350	Variabile	Si
52.3	SLE RA 4	0	174.5	10000	350	Variabile	Si
75.6	SLE RA 5	0	174.5	10000	350	Variabile	Si



ALLEGATO 04 – VERIFICHE GEOTECNICHE PALI

NORMATIVA DI RIFERIMENTO**D.M. 17/01/2018**

Le verifiche al carico limite (di tipo geotecnico) e strutturali vengono svolte con il metodo agli Stati Limite Ultimi (S.L.U.)

Coeff. parziali o di sicurezza sulle azioni (A)

gruppo A1 (tra parentesi il valore adottato nel calcolo)

- azioni permanenti con effetto favorevole alla sicurezza, $g_{Gi}=1$ (1)
- azioni permanenti con effetto sfavorevole alla sicurezza, $g_{Gs}=1,3$ (1,3)
- azioni variabili con effetto favorevole alla sicurezza, $g_{Qi}=0$ (0)
- azioni variabili con effetto sfavorevole alla sicurezza, $g_{Qs} = 1,5$ (1,5)

gruppo A2 (tra parentesi il valore adottato nel calcolo)

- azioni permanenti con effetto favorevole alla sicurezza, $g_{Gi}=1$ (1)
- azioni permanenti con effetto sfavorevole alla sicurezza, $g_{Gs}=1$ (1)
- azioni variabili con effetto favorevole alla sicurezza, $g_{Qi}=0$ (0)
- azioni variabili con effetto sfavorevole alla sicurezza, $g_{Qs}=1,3$ (1,3)

Coeff. parziali o di sicurezza per i parametri geotecnici dei terreni (M)

gruppo M1 (tra parentesi il valore adottato nel calcolo)

- tangente dell'angolo di resistenza al taglio, $g_f=1$ (1)
- coesione efficace, $g_c=1$ (1)
- coesione non drenata, $g_{cu}=1$ (1)

gruppo M2 (tra parentesi il valore adottato nel calcolo)

- tangente dell'angolo di resistenza al taglio, $g_f=1,25$ (1,25)
- coesione efficace, $g_c=1,25$ (1,25)
- coesione non drenata, $g_{cu}=1,4$ (1,4)

Coeff. parziali o di sicurezza sulle resistenze globali dei sistemi geotecnici (R)

gruppo R1 (tra parentesi il valore adottato nel calcolo)

- resistenza alla base, $g_b=1$ (1)
- resistenza laterale in compressione, $g_s=1$ (1)
- resistenza laterale in trazione, $g_{st}=1$ (1)
- resistenza a carichi trasversali, $g_T=1$ (1)

gruppo R2 (tra parentesi il valore adottato nel calcolo)

- resistenza alla base per pali battuti, $g_b=1,45$ (1,45)
- resistenza alla base per pali trivellati, $g_b=1,7$ (1,7)
- resistenza alla base per pali ad elica continua, $g_b=1,6$ (1,6)

resistenza laterale in compressione, $g_s=1,45$ (1,45)

resistenza laterale in trazione, $g_{st}=1,6$ (1,6)

resistenza a carichi trasversali, $g_T=1,6$ (1,6)

gruppo R3 (tra parentesi il valore adottato nel calcolo)

resistenza alla base per pali battuti, $g_b=1,15$ (1,15)

resistenza alla base per pali trivellati, $g_b=1,35$ (1,35)

resistenza alla base per pali ad elica continua, $g_b=1,3$ (1,3)

resistenza laterale in compressione, $g_s=1,15$ (1,15)

resistenza laterale in trazione, $g_{st}=1,25$ (1,25)

resistenza a carichi trasversali, $g_T=1,3$ (1,3)

UNITA' DI MISURA

Sistema Internazionale

Calcoli generali e geotecnici

lunghezze (dimensioni, coordinate, distanze, ...): m (gli spostamenti sono espressi in cm)

aree sezioni: mq

volumi: mc

momenti di inerzia sezioni: m^4

forze, Resistenza alla punta e laterale, Sforzo normale, Taglio: kN

momenti e rigidezze rotazionali vincoli: $kN \cdot m$

forze distribuite per unità di lunghezza, rigidezze traslazionali vincoli: kN/m

coesioni, adesioni: kN/mq

tensioni nel sottosuolo, pressione neutra u: kN/mq

carico limite unitario: N/mm²

pesi unità di volume: kN/mc

coefficienti di reazione del terreno o di Winkler: N/cm²

Calcoli strutturali

dimensioni, copriferro, interferro: cm

diametri tondini, trefoli, barre, staffe e spirali: mm

aree sezioni: cm²

volumi: cm³

momenti statici sezioni: cm³

momenti di inerzia sezioni: cm⁴

tensioni/pressioni, moduli elastici, resistenze materiali: N/mm²

TIPO DI PALO

Palo battuto

Palo in acciaio

CONDIZIONI DI ROTTURA

Condizioni drenate (terreni a grana grossa, terreni a grana fina con applicazione lenta dei carichi, terreni a grana fina con analisi a lungo termine)

NUMERO DI STRATI E VERTICALI DI INDAGINE

N° di strati = 1 (terreno omogeneo)

N° di verticali di indagine = 1

SISTEMI DI RIFERIMENTO

Sistema di riferimento locale per il terreno

asse z verticale verso il basso con origine nel piano di campagna

Sistema di riferimento assoluto XYZ per il calcolo strutturale del palo

origine nel baricentro della sezione superiore del palo

asse X orizzontale verso destra

asse Y verticale verso il basso (coincidente con l'asse del palo)

asse Z ortogonale al piano del disegno ed entrante (rotazioni positive orarie)

regola della mano destra

Sistema di riferimento locale per il calcolo strutturale del palo

origine nel baricentro della sezione superiore del palo

asse x verticale verso il basso coincidente con l'asse del palo (+Y globale)

asse z orizzontale verso sinistra (-X globale)

asse y ortogonale al piano del disegno e uscente (-Z globale)

regola della mano destra

GEOMETRIA

diametro del palo, $D=0,2$ m

lunghezza di affondamento palo, $L=2,5$ m

lunghezza del palo fuori terra, $L1=0$ m

CONDIZIONE DI VINCOLO IN TESTA AL PALO

Palo libero di ruotare in testa (attorno all'asse locale y)

SEZIONE METALLICA MICROPALO O PALO ACCIAIO

forma armatura metallica: HEA

profilato: HEA 200

base della sezione, $b=20$ cm

altezza della sezione, $h=19$ cm

spessore parete, $t=tw=0,65$ cm

spessore ali laterali, $s=tf=1$ cm

raggio raccordo ali-anima, $r=1,8$ cm

area della sezione, $A=53,8$ cm²

momento d'inerzia elastico della sezione rispetto all'asse y, $I_y=3692$ cm⁴

modulo di resistenza elastico rispetto all'asse y, $W_y=389$ cm³

modulo di resistenza plastico rispetto all'asse y, $W_{ply}=429,5$ cm³

Classe della sezione = 2

DATI GEOTECNICI TERRENI (valori caratteristici)

Valori medi per gli strati presenti

Strato n° 1-Arenaria

peso dell'unità di volume, $g=20,00$ kN/m³

angolo di resistenza al taglio denato, $\phi_i=30^\circ$

coesione drenata, $c'=0$ kN/m²

angolo di attrito palo-terreno lato spinta attiva, $\delta_{a}=15^\circ$

angolo di attrito palo-terreno lato spinta passiva, $\delta_{p}=8^\circ$

grado di sovraconsolidazione, $OCR=1$

comportamento a breve termine: drenato

DATI GEOTECNICI TERRENI DI FONDAZIONE E INTERFACCIA PALO-TERRENO

Dati relativi a tutte le verticali di indagine (calcolo carico limite assiale e trasvers.)

Verticale di indagine n° 1 ()

Strato n° 1

angolo di resistenza al taglio, $\phi_i=30^\circ$

coesione drenata, $c'=0$ kN/m²

adesione al contatto palo-terreno, $a=0$ kN/m²

coefficiente di attrito fra palo e terreno, $m=0,36$

coeff. empirico k che lega la tens. norm. orizz. alla tens. effett. litost. vertic., $k=1$

COEFFICIENTI DI REAZIONE ORIZZONTALE DEL TERRENO O DI WINKLER

Formula binomia $K_s=As+Bs*z^n$ con As e Bs espressi in N/cm², z in m

strato	As	Bs	n
1 Arenaria	6,02793	14,7209	0,5

DATI MATERIALI COSTITUENTI IL PALO

tipo di acciaio micropalo/palo: S 235

modulo di elasticità longitudinale acciaio, $E_s=210000$ N/mm²

peso dell'unità di volume dell'armatura metallica, $g_{acc}=78,5$ kN/m³

tensione caratteristica di rottura acciaio, $f_{tk}=360$ N/mm²

tensione caratteristica di snervamento acciaio, $f_{yk}=235$ N/mm²

coeff. parziale sicurezza per il calcolo della resistenza delle sezioni di acciaio di classe 1-2-3-4, $g_{M0}=1,05$

coeff. parziale sicurezza per il calcolo della resistenza all'instabilità delle membrature, $g_{M1}=1,05$

coeff. parziale sicurezza per il calcolo della resistenza di sezioni tese indebolite da fori, $g_{M2}=1,25$

tensione di snervamento di progetto dell'acciaio, $f_{yd}=f_{yk}/g_{M0}=223,81$ N/mm²

CARICHI ESTERNI APPLICATI IN TESTA AL PALO (valori caratteristici)

Combinazione di carico allo SLU n° 1

componente verticale permanente, $N_{x0G}=13$ kN

componente verticale variabile, $N_{x0Q}=3$ kN

componente orizzontale permanente, $T_{z0G}=0$ kN

componente orizzontale variabile, $T_{z0Q}=0$ kN

componente momento permanente, $M_{y0G}=20$ kN*m

componente momento variabile, $M_{y0Q}=0,5$ kN*m

Combinazione di carico allo SLE n° 1

componente verticale, $N_{x0}=15$ kN

componente orizzontale, $T_{z0}=0$ kN

componente momento, $M_{y0}=20$ kN*m

SCELTE DI CALCOLO

Verifiche agli SLU di tipo geotecnico condotte in base all'Approccio 2 (A1+M1+R3)

Calcolo FEM: lunghezza media elemento finito, $L_{me}=0,5$ m
 Vincolo alla base del palo: appoggio cedevole elasticamente

TIPO DI ANALISI E METODI APPLICATI

Verifiche geotecniche: carico limite per carichi assiali

valori del fattore di forma N_q : Berezantzev et al. (1961)

valori del fattore di forma N_q per pali trivallati di grande diametro: Berezantzev (1965)

Verifiche geotecniche: carico limite per carichi trasversali

Teoria di Broms (1964)

Calcolo sollecitazioni e spostamenti orizzontali nel palo di fondazione

Soluzione con il Metodo agli Elementi Finiti (F.E.M)

Palo elastico su suolo elastico alla Winkler

Analisi Lineare: molle che simulano il terreno a comportamento elastico-lineare

DATI PALO

perimetro sezione palo, $U=\pi \cdot D=0,628$ m

rapporto $L/D=12,5$

area sezione (sul diametro D), $A_p=0,0314$ mq

volume palo (sul diametro D), $V_p=0,08$ mc

peso del palo, $W_p=1,06$ kN

VERIFICHE AGLI STATI LIMITE ULTIMI

Combinazione di carico allo SLU n° 1 (1)

SOLLECITAZIONI AGENTI SUL PALO DI FONDAZIONE (calcolo FEM)

sez./n odo	x (m)	N_x (kN)	T_z (kN)	M_y (kN*m)
1	0,0	-21,40	2,88	-26,75
2	0,5	-21,67	11,85	-25,31
3	1,0	-21,95	16,33	-19,38
4	1,5	-22,22	15,05	-11,22
5	2,0	-22,50	7,38	-3,69
6	2,5	-22,77	7,38	0,00

REAZIONI VINCOLARI E PRESSIONI DI CONTATTO TERRENO-PALO (calcolo FEM)

K_s = costante orizzontale di Winkler (N/cmc)

R_{vX} = componente della reazione vincolare lungo X (kN)

R_{vY} = componente della reazione vincolare lungo Y (kN)

R_{vZ} = componente momento della reazione vincolare (kN*m)

p_{Xv} = pressione orizzontale del terreno (molle) (kN/mq)

sez./nodo	x (m)	K_s	R_{vX}	R_{vY}	R_{vZ}	p_{Xv}
1	0	6,03	2,22	0	0	44,3
2	0,5	16,44	6,9	0	0	69,03
3	1	20,75	3,44	0	0	34,44
4	1,5	24,06	-0,98	0	0	-9,84
5	2	26,85	-5,9	0	0	-58,97
6	2,5	29,3	-5,68	-17,52	0	-113,61

VERIFICA CONDIZIONI DI EQUILIBRIO PALO (calcolo FEM)**Equilibrio alla traslazione orizzontale**

somma delle forze esterne orizzontali applicate al palo, $S_{Fx}=0,00$ kN

somma delle reazioni vincolari lungo X, $SommR_{vX}=0,00$ kN

equazione di equilibrio alla traslazione orizzontale: $S_{Fx}+SommR_{vX}=0,00$ kN

Equilibrio alla traslazione verticale

peso proprio del palo, $W_p=1,06$ kN

somma delle forze verticali applicate al palo, $S_{Fy}=16,46$ kN

somma delle reazioni vincolari lungo Y, $SommR_{vY}=-17,52$ kN

equazione di equilibrio alla traslazione verticale: $W_p+S_{Fy}+SommR_{vY}=0,00$ kN

Equilibrio alla rotazione (attorno alla testa del palo-primo nodo)

momento delle forze orizzontali applicate al palo, $M_{Fx}=-20,58$ kN*m

momento delle reazioni vincolari lungo X, $M_{RvX}=20,58$ kN*m

reazioni vincolari momento, $M_{RvZ}=0,00$ kN*m

equazione di equilibrio alla rotazione: $M_{Fx}+M_{RvX}+M_{RvZ}=0,00$ kN*m

SPOSTAMENTI NODALI (calcolo FEM)

w = spostamento orizzontale (lungo l'asse globale X, coincidente con l'asse locale z)

u = spostamento verticale (lungo l'asse globale Y, coincidente con l'asse locale x)

sez./nodo	x (m)	w (cm)	u (cm)	rot. (rad)
1	0	-0,73	1,91	-0,007
2	0,5	-0,42	1,91	-0,0057
3	1	-0,17	1,91	-0,0046
4	1,5	0,04	1,9	-0,0038
5	2	0,22	1,9	-0,0034
6	2,5	0,39	1,9	-0,0033

VERIFICA SEZIONI A SFORZO NORMALE ECCENTRICO E TAGLIO

Dati meccanici della sezione

Resistenza plastica a sforzo normale della sezione lorda A, $N_{pl_Rd}=1\ 204,10$ kN

Area resistente al taglio della sezione lungo z, $A_{vz}=18,05$ cmq

Resistenza di progetto a taglio lungo z, $V_{cz_Rd}=233,24$ kN

Momento resistente elastico lungo l'asse vettore y, $M_{ely_Rd}=87,06$ kN*m

Momento resistente plastico lungo l'asse vettore y, $M_{ply_Rd}=96,13$ kN*m

tensione di snervamento di progetto, $f_{yd}=224$ N/mmq

Dati sulle verifiche delle sezioni

sid_m: tensione ideale massima nella sezione di acciaio (N/mmq)

Mcy_Rd: resistenza di progetto sezione soggetta a presso/tenso-flessione retta (kN*m)

sez.	x (m)	Nx (kN)	Tz (kN)	My (kN*m)	sid_m	Mcy_Rd	Verif?
1	0	-21,4	2,88	-26,75		108,3	SI
2	0,5	-21,67	11,85	-25,31		108,3	SI
3	1	-21,95	16,33	-19,38		108,3	SI
4	1,5	-22,22	15,05	-11,22		108,2	SI
5	2	-22,5	7,38	-3,69		108,2	SI
6	2,5	-22,77	7,38	0		108,2	SI

Momento resistente o di plasticizzazione del palo, $M_{yR}=96,13$ kN*m

CARICO LIMITE PER CARICHI ASSIALI

APPROCCIO 2 (A1+M1+R3)

Azione di progetto

$E_d = g_{Gs} \cdot N_{x0g} + g_{Qs} \cdot N_{x0q} + g_{Gs} \cdot W_p = 22,77 \text{ kN}$

Resistenza di progetto**Verticale di indagine n° 1 ()**

Parametri geotecnici di progetto

coesione, $c_d = 0 \text{ kN/mq}$

angolo di resistenza al taglio, $F_{i_d} = 30^\circ$

Resistenza alla punta

fattore N_q (Berezantzev), $N_q = 25,07$

fattore $N_c = 41,68$

tensione litostatica verticale totale alla profondità L , $s_{VL} = 50,00 \text{ kN/mq}$

pressione neutra alla profondità L , $u_L = 0,00 \text{ kN/mq}$

tensione litostatica verticale efficace alla profondità L , $s'_{VL} = 50,00 \text{ kN/mq}$

Resistenza unitaria alla punta, $p = 1,25 \text{ N/mm}^2$

Resistenza alla punta, $P_{max} = 39,37 \text{ kN}$

Resistenza laterale

Resistenza laterale, $S_{max} = 14,14 \text{ kN}$

Resistenza alla punta e laterale di progetto

Resistenza alla punta (valore medio), $P_{max_med} = 39,37 \text{ kN}$

Resistenza alla punta (valore minimo), $P_{max_min} = 39,37 \text{ kN}$

Resistenza laterale (valore medio), $S_{max_med} = 14,14 \text{ kN}$

Resistenza laterale (valore minimo), $S_{max_min} = 14,14 \text{ kN}$

Fattore di correlazione, $\xi_3 = 1,7$

Fattore di correlazione, $\xi_4 = 1,7$

Resistenza alla punta (valore caratteristico), $P_{max_k} = 23,16 \text{ kN}$

Resistenza laterale (valore caratteristico), $S_{max_k} = 8,32 \text{ kN}$

Resistenza alla punta di progetto, $P_{max_d} = P_{max_k} / \gamma_b = 20,14 \text{ kN}$

Resistenza laterale di progetto, $S_{max_d} = S_{max_k} / \gamma_s = 7,23 \text{ kN}$

Carico limite per carichi assiali di compressione

$Q_{lim_d} = P_{max_d} + S_{max_d} = 27,37 \text{ kN}$

Carico limite di sfilamento per carichi assiali di trazione

$Q_{limt_d} = S_{max_d} = 7,23 \text{ kN}$

Verifica al carico limite per carichi assiali di compressione

Verifica OK: l'azione di progetto non supera la resistenza di progetto

coeff. di sicurezza, $E_t = Q_{lim_d} / E_d = 1,2$

CARICO LIMITE PER CARICHI TRASVERSALI

Momento resistente o di plasticizzazione del palo, $M_{yR}=96,13 \text{ kN}\cdot\text{m}$

APPROCCIO 2 (A1+M1+R3)**Azione di progetto**

$E_d = g_{Gs} \cdot T_{z0g} + g_{Qs} \cdot T_{z0q} = 0,00 \text{ kN}$

Resistenza di progetto**Verticale di indagine n° 1 ()**

angolo di resistenza al taglio di progetto, $F_{i_d} = 30^\circ$

coefficiente di spinta passiva, $K_p = 3$

reazione orizzontale del terreno alla profondità L, $p(L) = 90,00 \text{ kN/m}$

Meccanismo di rottura di "palo corto"

profondità f in cui si ha il massimo momento flettente, $f = 1,28 \text{ m}$

momento flettente massimo nel palo, $M_{y_max} = -45,42 \text{ kN}\cdot\text{m}$

carico limite trasversale, $T_{lim} = 29,30 \text{ kN}$

Carico limite trasversale di progetto

valore medio, $T_{lim_med} = 29,30 \text{ kN}$

valore minimo, $T_{lim_min} = 29,30 \text{ kN}$

fattore di correlazione $\chi_{si3} = 1,7$

fattore di correlazione $\chi_{si4} = 1,7$

Carico limite trasversale (valore caratteristico), $T_{lim_k} = 17,24 \text{ kN}$

Carico limite trasversale di progetto, $T_{lim_d} = 13,26 \text{ kN}$

Verifica al carico limite per carichi trasversali

Verifica OK: l'azione di progetto non supera la resistenza di progetto

VERIFICHE AGLI STATI LIMITE DI ESERCIZIO**Combinazione di carico allo SLE n° 1 (1)****SOLLECITAZIONI AGENTI SUL PALO DI FONDAZIONE (calcolo FEM)**

sez./nodo	x (m)	Nx (kN)	Tz (kN)	My (kN*m)
1	0,0	-15,00	2,15	-20,00
2	0,5	-15,21	8,86	-18,92

3	1,0	-15,42	12,21	-14,49
4	1,5	-15,63	11,25	-8,39
5	2,0	-15,84	5,52	-2,76
6	2,5	-16,06	5,52	0,00

SPOSTAMENTI NODALI (calcolo FEM)

w = spostamento orizzontale (lungo l'asse globale X, coincidente con l'asse locale z)

u = spostamento verticale (lungo l'asse globale Y, coincidente con l'asse locale x)

sez./nodo	x (m)	w (cm)	u (cm)	rot. (rad)
1	0	-0,71	1,75	-0,0068
2	0,5	-0,41	1,75	-0,0055
3	1	-0,16	1,75	-0,0044
4	1,5	0,04	1,75	-0,0037
5	2	0,21	1,74	-0,0033
6	2,5	0,38	1,74	-0,0032

COMPUTO METRICO DEI MATERIALI DA COSTRUZIONE (palo singolo)

Acciaio (kg) 105,6

Il progettista/tecnico

Ing. Aires Mauro



ALLEGATO 05 – DATI DI DEFINIZIONE PER DIMENSIONAMENTO BASAMENTI



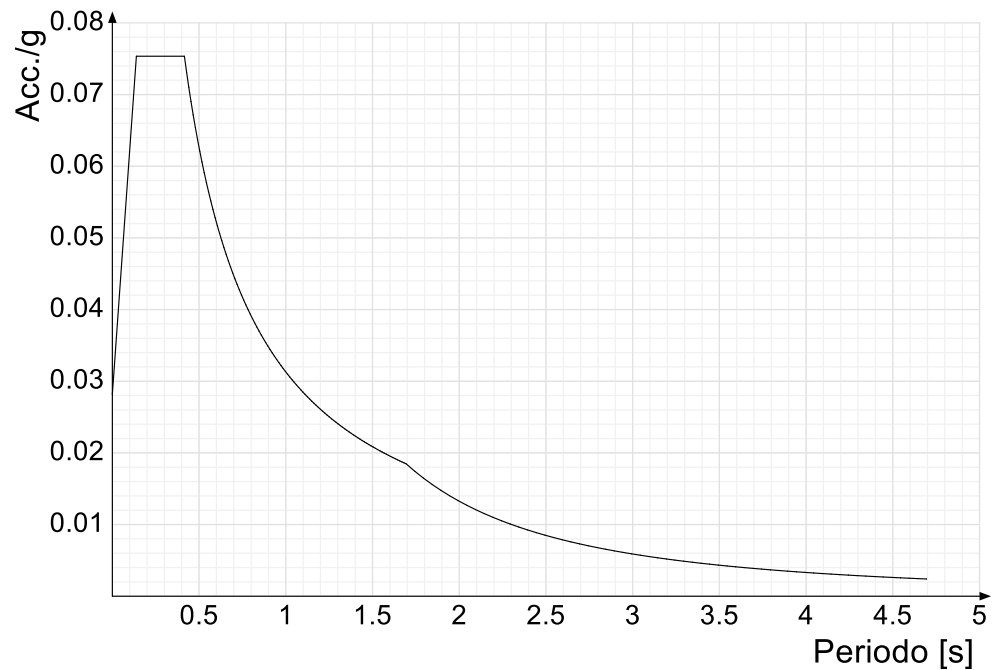
DATI DI DEFINIZIONE

Spettri D.M. 17-01-18

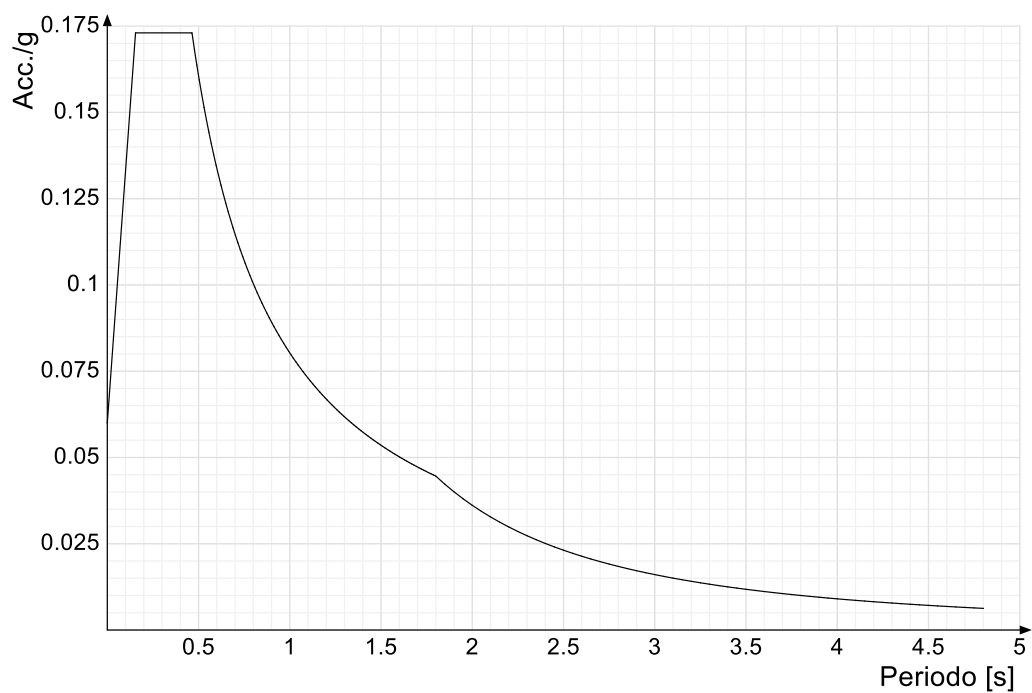
Acc./g: Accelerazione spettrale normalizzata ottenuta dividendo l'accelerazione spettrale per l'accelerazione di gravità.

Periodo: Periodo di vibrazione.

Spettro di risposta elastico in accelerazione delle componenti orizzontali SLD § 3.2.3.2.1 [3.2.2]

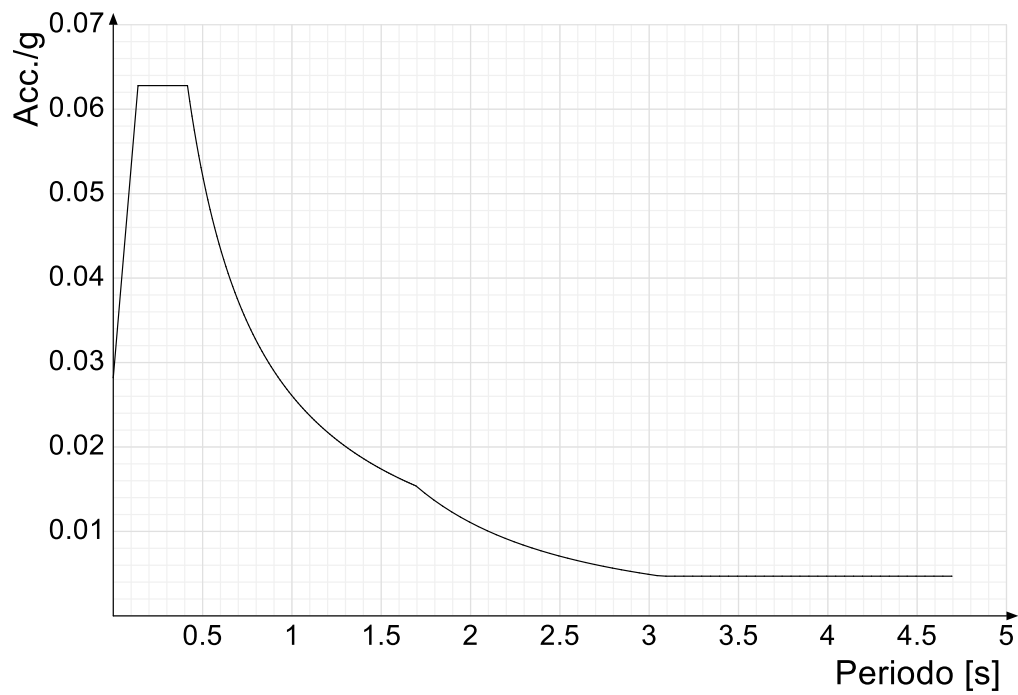


Spettro di risposta elastico in accelerazione delle componenti orizzontali SLV § 3.2.3.2.1 [3.2.2]

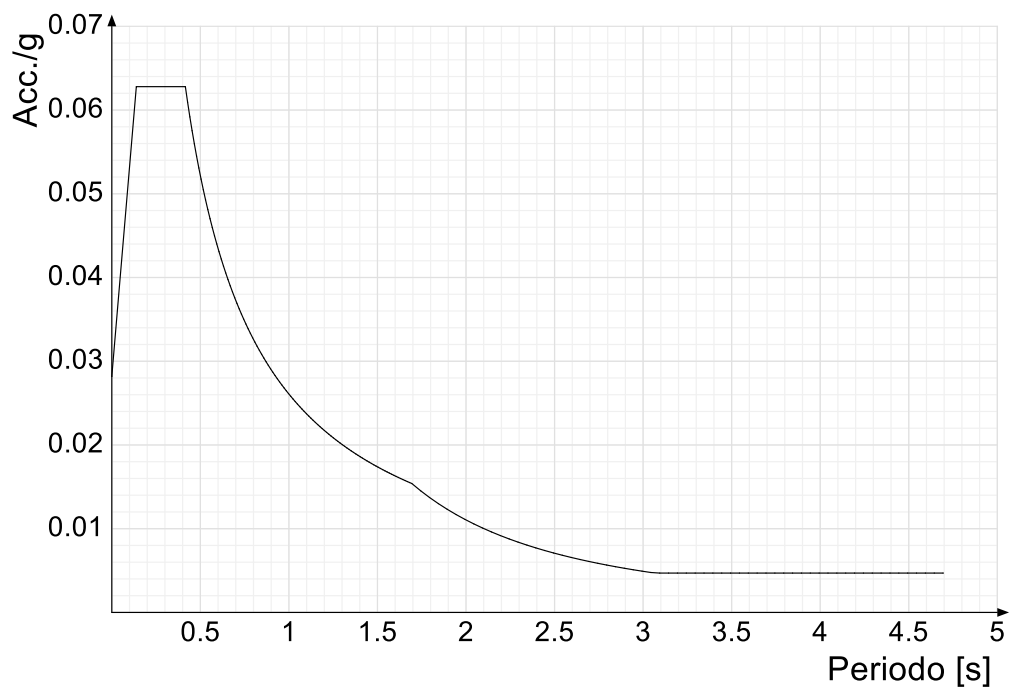




Spettro di risposta di progetto in accelerazione della componente X SLD § 3.2.3.5

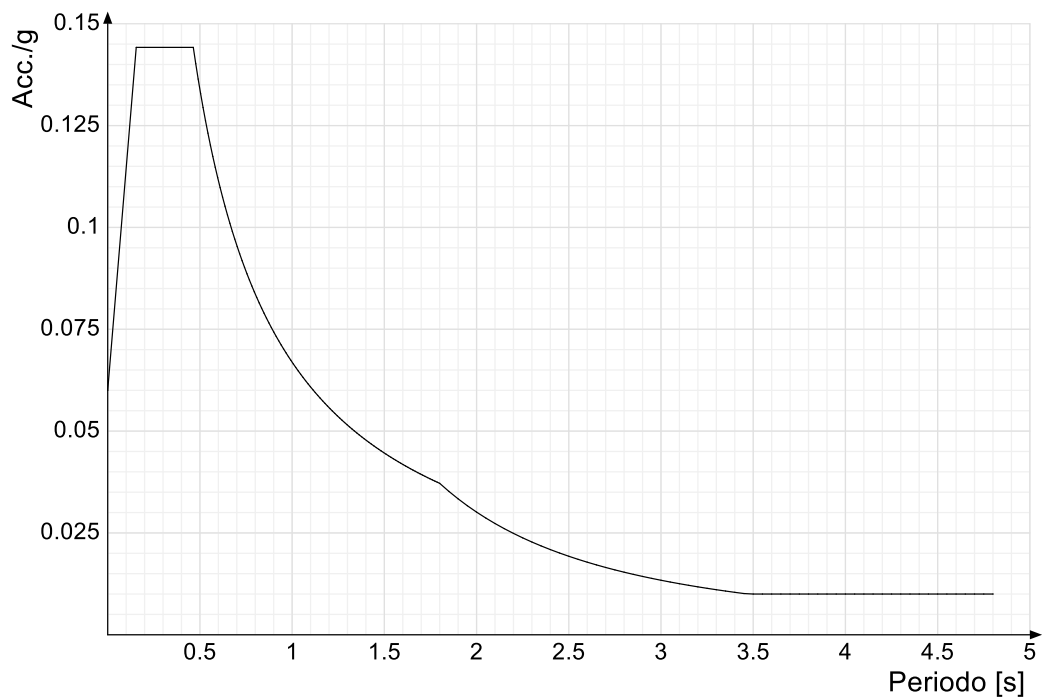


Spettro di risposta di progetto in accelerazione della componente Y SLD § 3.2.3.5

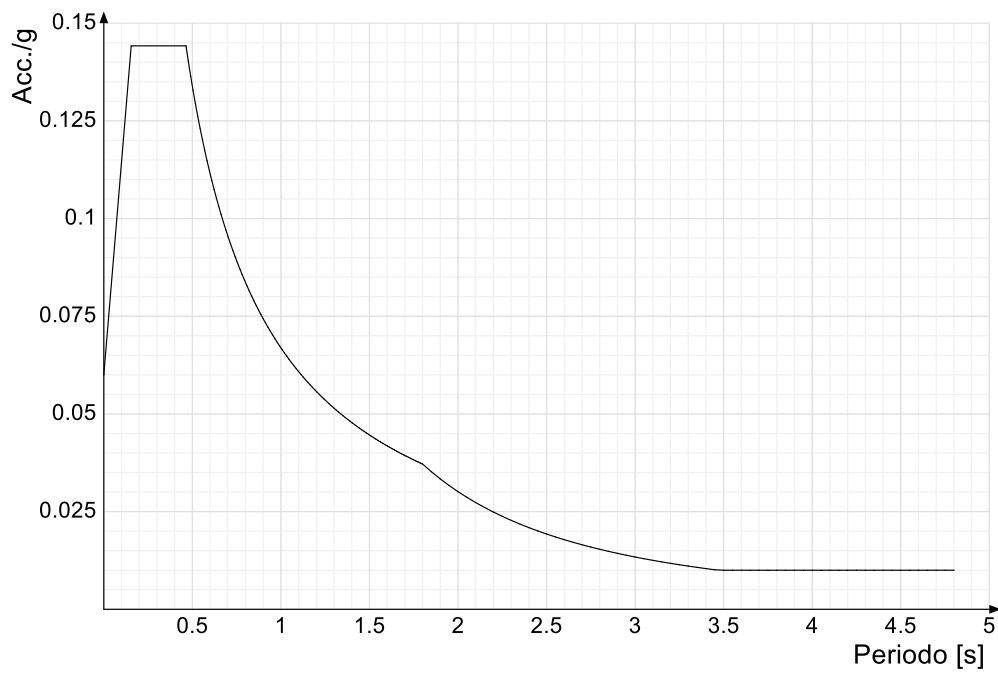




Spettro di risposta di progetto in accelerazione della componente X SLV § 3.2.3.5



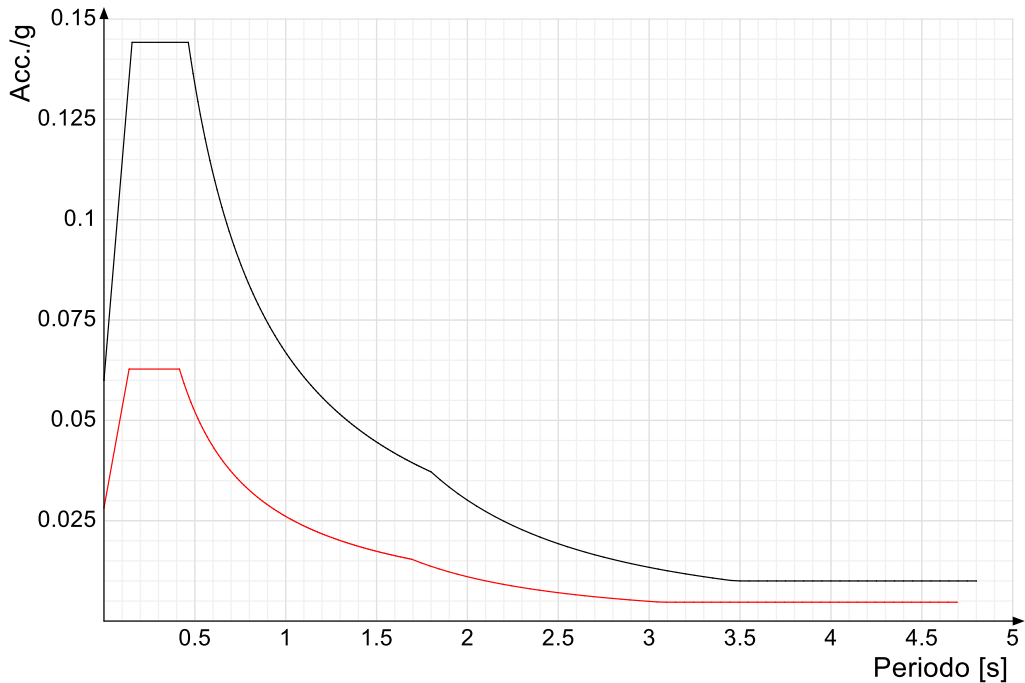
Spettro di risposta di progetto in accelerazione della componente Y SLV § 3.2.3.5



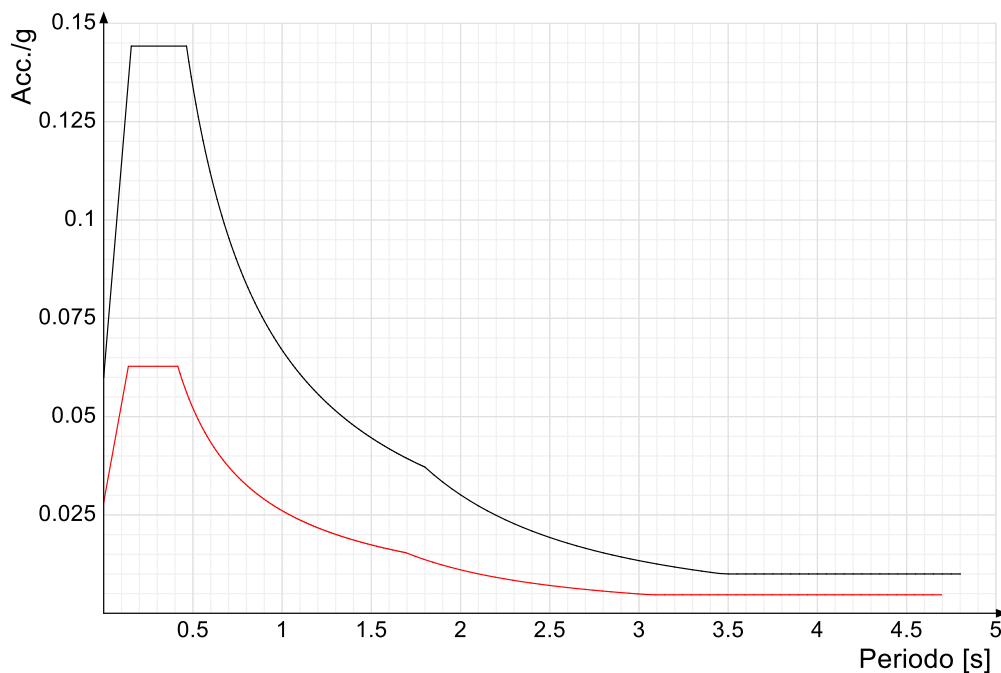


Confronti spettri SLV-SLD

Vengono confrontati lo spettro Spettro di risposta di progetto in accelerazione della componente X SLD § 3.2.3.5 (di colore rosso) e Spettro di risposta di progetto in accelerazione della componente X SLV § 3.2.3.5 (di colore nero).



Vengono confrontati lo spettro Spettro di risposta di progetto in accelerazione della componente Y SLD § 3.2.3.5 (di colore rosso) e Spettro di risposta di progetto in accelerazione della componente Y SLV § 3.2.3.5 (di colore nero).





PREFERENZE DI VERIFICA

Normativa di verifica in uso

Norma di verifica	D.M. 17-01-18 (N.T.C.)
Cemento armato	Preferenze comuni di verifica C.A. D.M. 17-01-18 (N.T.C.)

Normativa di verifica C.A.

γ_s (fattore di sicurezza parziale per l'acciaio)	1.15
γ_c (fattore di sicurezza parziale per il calcestruzzo)	1.5
Limite σ_c/f_{ck} in combinazione rara	0.6
Limite σ_c/f_{ck} in combinazione quasi permanente	0.45
Limite σ_s/f_{yk} in combinazione rara	0.8
Coefficiente di riduzione della τ per cattiva aderenza	0.7
Dimensione limite fessure w1 §4.1.2.2.4	0.02 [cm]
Dimensione limite fessure w2 §4.1.2.2.4	0.03 [cm]
Dimensione limite fessure w3 §4.1.2.2.4	0.04 [cm]
Fattori parziali di sicurezza unitari per meccanismi duttili di strutture esistenti con fattore η	Si
Copriferro secondo EC2	No
α_{cc} elementi nuovi nelle combinazioni sismiche	0.85
α_{cc} elementi esistenti	0.85

Preferenze FEM

Dimensione massima ottimale mesh pareti (default)	30 [cm]
Dimensione massima ottimale mesh piastre (default)	30 [cm]
Dimensione massima ottimale suddivisioni archi finestre/porte (default)	30 [cm]
Tipo di mesh dei gusci (default)	Quadrilateri o triangoli
Tipo di mesh imposta ai gusci	Specifico dell'elemento
Metodo P-Delta	non utilizzato
Analisi buckling	non utilizzata
Rapporto spessore flessionale/membranale gusci muratura verticali	0.2
Spessori membranale e flessionale pareti XLAM da sole tavole verticali	No
Moltiplicatore rigidezza connettori pannelli pareti legno a diaframma	1
Tolleranza di parallelismo	4.99 [deg]
Tolleranza di unicità punti	10 [cm]
Tolleranza generazione nodi di aste	1 [cm]
Tolleranza di parallelismo in suddivisione aste	4.99 [deg]
Tolleranza generazione nodi di gusci	4 [cm]
Tolleranza eccentricità carichi concentrati	100 [cm]
Considera deformabilità a taglio negli elementi guscio	No
Modello elastico pareti in muratura	Gusci
Concentra masse pareti nei vertici	No
Segno risultati analisi spettrale	Analisi statica
Memoria utilizzabile dal solutore	8000000
Metodo di risoluzione della matrice	Intel MKL PARDISO
Scrivi commenti nel file di input	No
Scrivi file di output in formato testo	No
Solidi colle e corpi ruvidi (default)	Solidi reali
Moltiplicatore rigidezza molla torsionale applicata ad aste di fondazione	1
Modello trave su suolo alla Winkler nel caso di modellazione lineare	Equilibrio elastico

Moltiplicatori inerziali

Tipologia: tipo di entità a cui si riferiscono i moltiplicatori inerziali.

J2: moltiplicatore inerziale di J2. Il valore è adimensionale.

J3: moltiplicatore inerziale di J3. Il valore è adimensionale.

Jt: moltiplicatore inerziale di Jt. Il valore è adimensionale.

A: moltiplicatore dell'area della sezione. Il valore è adimensionale.

A2: moltiplicatore dell'area a taglio in direzione 2. Il valore è adimensionale.

A3: moltiplicatore dell'area a taglio in direzione 3. Il valore è adimensionale.

Conci rigidi: fattore di riduzione dei tronchi rigidi. Il valore è adimensionale.

Tipologia	J2	J3	Jt	A	A2	A3	Conci rigidi
Trave C.A.	1	1	0.01	1	1	1	0.5
Pilastro C.A.	1	1	0.01	1	1	1	0.5
Trave di fondazione	1	1	0.01	1	1	1	0.5



Preferenze di analisi non lineare FEM

Metodo iterativo	Secante
Tolleranza iterazione	0.0001
Numero massimo iterazioni	50

Preferenze di analisi carichi superficiali

Detrazione peso proprio solai nelle zone di sovrapposizione	non applicata
Metodo di ripartizione	a zone d'influenza
Percentuale carico calcolato a trave continua	0
Esegui smoothing diagrammi di carico	applicata
Tolleranza smoothing altezza trapezi	0.001 [daN/cm]
Tolleranza smoothing altezza media trapezi	0.001 [daN/cm]

6.1.8 Preferenze del suolo

Fondazioni non modellate e struttura bloccata alla base	no
Fondazioni bloccate orizzontalmente	si
Considera peso sismico delle fondazioni	no
Fondazioni superficiali e profonde su suolo elastoplastico	si
Coefficiente di sottofondo verticale per fondazioni superficiali (default)	3 [daN/cm ³]
Rapporto di coefficiente sottofondo orizzontale/verticale	0.5
Pressione verticale limite sul terreno per abbassamento (default)	10 [daN/cm ²]
Pressione verticale limite sul terreno per innalzamento (default)	0.001 [daN/cm ²]
Metodo di calcolo della K verticale	Vesic
Metodo di calcolo della portanza e della pressione limite	Vesic
Terreno laterale di riporto da piano posa fondazioni (default)	Ghiaia_3
Dimensione massima della discretizzazione del palo (default)	200 [cm]
Moltiplicatore coesione per pressione orizzontale limite nei pali	1
Moltiplicatore spinta passiva per pressione orizzontale pali	1
K punta palo (default)	4 [daN/cm ³]
Pressione limite punta palo (default)	10 [daN/cm ²]
Pressione per verifica schiacciamento fondazioni superficiali	6 [daN/cm ²]
Calcola cedimenti fondazioni superficiali	no
Spessore massimo strato	100 [cm]
Profondità massima	3000 [cm]
Cedimento assoluto ammissibile	5 [cm]
Cedimento differenziale ammissibile	5 [cm]
Cedimento relativo ammissibile	5 [cm]
Rapporto di inflessione F/L ammissibile	0.003333
Rotazione rigida ammissibile	0.191 [deg]
Rotazione assoluta ammissibile	0.191 [deg]
Distorsione positiva ammissibile	0.191 [deg]
Distorsione negativa ammissibile	0.095 [deg]
Considera fondazioni compensate	no
Coefficiente di riduzione della a Max attesa	0.3
Condizione per la valutazione della spinta su pareti	Lungo termine
Considera l'azione sismica del terreno anche su pareti sotto lo zero sismico	no
Cedimento assoluto ammissibile	5 [cm]
Cedimento medio ammissibile	5 [cm]
Cedimento differenziale ammissibile	5 [cm]
Rotazione rigida ammissibile	0.191 [deg]
Trascura la coesione efficace in verifica allo scorrimento	si
Considera inclinazione spinta del terreno contro pareti	no
Esegui verifica a liquefazione	no
Metodo di verifica liquefazione	Seed-Idriss (1982)
Coeff. di sicurezza minimo a liquefazione	1.3
Magnitudo scaling factor per liquefazione	1



AZIONI E CARICHI

Condizioni elementari di carico

Descrizione: nome assegnato alla condizione elementare.

Nome breve: nome breve assegnato alla condizione elementare.

Durata: descrive la durata della condizione (necessario per strutture in legno).

ψ_0 : coefficiente moltiplicatore ψ_0 . Il valore è adimensionale.

ψ_1 : coefficiente moltiplicatore ψ_1 . Il valore è adimensionale.

ψ_2 : coefficiente moltiplicatore ψ_2 . Il valore è adimensionale.

Con segno: descrive se la condizione elementare ha la possibilità di variare di segno.

Descrizione	Nome breve	Durata	ψ_0	ψ_1	ψ_2	Con segno
Pesi strutturali	Pesi	Permanente				
Permanenti portati	Port.	Permanente				
Variabile E	Variabile E	Media	1	0.9	0.8	
Vento	Vento	Media	0.6	0.2	0	
ΔT	ΔT	Media	0.6	0.5	0	No
Sisma X SLV	X SLV					
Sisma Y SLV	Y SLV					
Sisma Z SLV	Z SLV					
Eccentricità Y per sisma X SLV	EY SLV					
Eccentricità X per sisma Y SLV	EX SLV					
Sisma X SLD	X SLD					
Sisma Y SLD	Y SLD					
Sisma Z SLD	Z SLD					
Eccentricità Y per sisma X SLD	EY SLD					
Eccentricità X per sisma Y SLD	EX SLD					
Rig. Ux	R Ux					
Rig. Uy	R Uy					
Rig. Rz	R Rz					

Definizioni di carichi superficiali

Nome: nome identificativo della definizione di carico.

Valori: valori associati alle condizioni di carico.

Condizione: condizione di carico a cui sono associati i valori.

Descrizione: nome assegnato alla condizione elementare.

Valore: modulo del carico superficiale applicato alla superficie. [daN/cm²]

Applicazione: modalità con cui il carico è applicato alla superficie.

Cabina di smistamento

Nome	Valori			
	Condizione	Valore	Cp vento	Tipo
	Descrizione			
Container	Pesi strutturali	0		Verticale
	Permanenti portati	0.105		Verticale
	Neve	0.0048		Verticale
	Vento		0.0001	Cp vento
	Variabile E	0.06		Verticale
Transformatore	Pesi strutturali	0		Verticale
	Permanenti portati	0		Verticale
	Neve	0		Verticale
	Vento	0		Verticale



Nome	Valori			
	Condizione	Valore	Cp vento	Tipo
	Descrizione			
	Variabile E	0.1		Verticale

Cabinato magazzino

Nome	Valori			
	Condizione	Valore	Cp vento	Tipo
	Descrizione			
Magazzino	Pesi strutturali	0		Verticale
	Permanenti portati	0.07		Verticale
	Neve	0.0048		Verticale
	Vento		0.0001	Cp vento
	Variabile E	0.06		Verticale

Cabinati magazzino

Nome	Valori			
	Condizione	Valore	Cp vento	Tipo
	Descrizione			
Container BESS	Pesi strutturali	0		Verticale
	Permanenti portati	0.115		Verticale
	Variabile E	0.06		Verticale
	Neve	0.0048		Verticale

**QUOTE****Livelli**

Descrizione breve: nome sintetico assegnato al livello.

Descrizione: nome assegnato al livello.

Quota: quota superiore espressa nel sistema di riferimento assoluto. [cm]

Spessore: spessore del livello. [cm]

Cabina power station

Descrizione breve	Descrizione	Quota	Spessore
L1	Fondazione	0	0

Cabina di raccolta

Descrizione breve	Descrizione	Quota	Spessore
L1	Fondazione	0	0

Cabinati magazzino

Descrizione breve	Descrizione	Quota	Spessore
L1	Fondazione	0	0



MATERIALI

Materiali c.a.

Descrizione: descrizione o nome assegnato all'elemento.

Rck: resistenza caratteristica cubica; valore medio nel caso di edificio esistente. [daN/cm²]

E: modulo di elasticità longitudinale del materiale per edifici o materiali nuovi. [daN/cm²]

G: modulo di elasticità tangenziale del materiale, viene impiegato nella modellazione di aste e di elementi guscio a comportamento ortotropo. [daN/cm²]

v: coefficiente di Poisson. Il valore è adimensionale.

γ: peso specifico del materiale. [daN/cm³]

α: coefficiente longitudinale di dilatazione termica. [°C-1]

Cabina power station – Cabina di consegna – cabinati magazzino

Descrizione	Rck	E	G	v	γ	α
C25/30	300	314472	Default (142941.64)	0.1	0.0025	0.00001

Curve di materiali c.a.

Descrizione: descrizione o nome assegnato all'elemento.

Curva: curva caratteristica.

Reaz.traz.: reagisce a trazione.

Comp.frag.: ha comportamento fragile.

E.compr.: modulo di elasticità a compressione. [daN/cm²]

Incr.compr.: incrudimento di compressione. Il valore è adimensionale.

EpsEc: ε elastico a compressione. Il valore è adimensionale.

EpsUc: ε ultimo a compressione. Il valore è adimensionale.

E.traz.: modulo di elasticità a trazione. [daN/cm²]

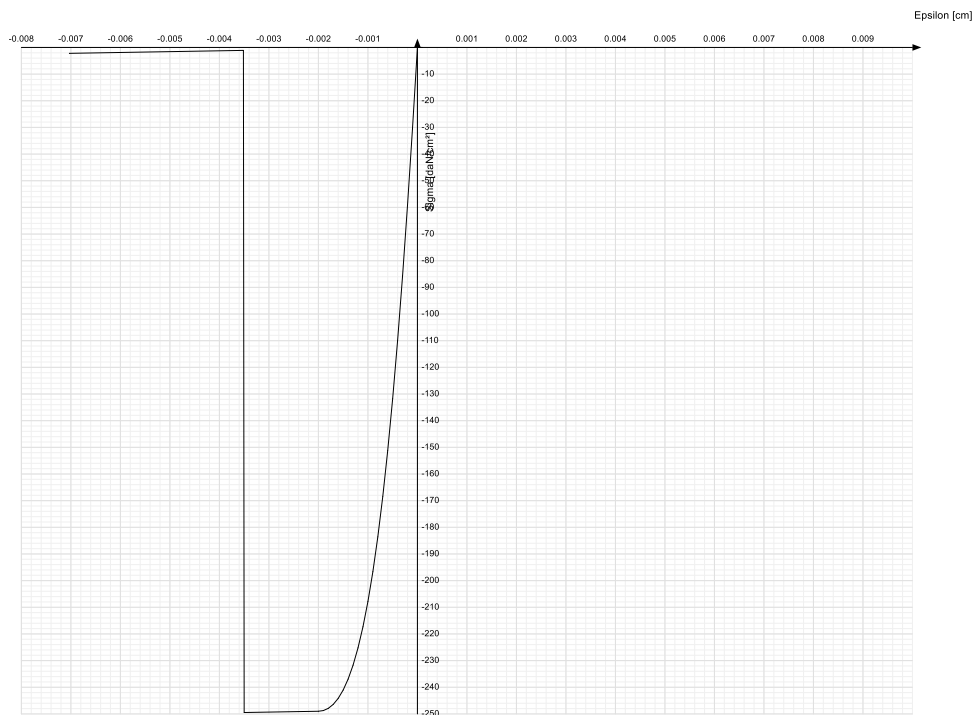
Incr.traz.: incrudimento di trazione. Il valore è adimensionale.

EpsEt: ε elastico a trazione. Il valore è adimensionale.

EpsUt: ε ultimo a trazione. Il valore è adimensionale.

Cabina power station – Cabina di consegna – cabinati magazzino

Descrizione	Curva									
	Reaz.traz.	Comp.frag.	E.compr.	Incr.compr.	EpsEc	EpsUc	E.traz.	Incr.traz.	EpsEt	EpsUt
C25/30	No	Si	314471.61	0.001	-	-	314471.61	0.001	0.0000569	0.0000626



Armature

Descrizione: descrizione o nome assegnato all'elemento.

fyk: resistenza caratteristica. [daN/cm²]

σamm.: tensione ammissibile. [daN/cm²]

Tipo: tipo di barra.

E: modulo di elasticità longitudinale del materiale per edifici o materiali nuovi. [daN/cm²]

γ: peso specifico del materiale. [daN/cm³]

v: coefficiente di Poisson. Il valore è adimensionale.

α: coefficiente longitudinale di dilatazione termica. [°C⁻¹]

Livello di conoscenza: indica se il materiale è nuovo o esistente, e in tal caso il livello di conoscenza secondo Circ.617 02/02/09 §C8A. Informazione impiegata solo in analisi D.M. 14-01-08 (N.T.C.) e D.M. 17-01-18 (N.T.C.).

Descrizione	fyk	σamm.	Tipo	E	γ	v	α	Livello di conoscenza
B450C	4500	2550	Aderenza migliorata	2060000	0.00785	0.3	0.000012	Nuovo



ALLEGATO 06 – VERIFICHE BASAMENTI CABINE



VERIFICHE

VERIFICHE PIASTRE C.A.

Le unità di misura elencate nel capitolo sono in [cm, daN, deg] ove non espressamente specificato.

Nodo: indice del nodo di verifica.

Dir.: direzione della sezione di verifica.

B: base della sezione rettangolare di verifica. [cm]

H: altezza della sezione rettangolare di verifica. [cm]

A. sup.: area barre armatura superiori. [cm²]

C. sup.: distanza media delle barre superiori dal bordo superiore della sezione. [cm]

A. inf.: area barre armatura inferiori. [cm²]

C. inf.: distanza media delle barre inferiori dal bordo inferiore della sezione. [cm]

Comb.: combinazione di verifica.

M: momento flettente. [daN*cm]

N: sforzo normale. [daN]

Mu: momento flettente ultimo. [daN*cm]

Nu: sforzo normale ultimo. [daN]

c.s.: coefficiente di sicurezza.

Verifica: stato di verifica.

A. st.: area staffe su interasse. [cm]

A. sag.: area sagomati su interasse. [cm]

Ved: taglio agente. [daN]

Vrd: taglio resistente. [daN]

Vrdc: resistenza di calcolo a taglio per elementi privi di armature trasversali. [daN]

Vrsd: resistenza di calcolo a taglio trazione. [daN]

Vrcd: resistenza di calcolo a taglio compressione. [daN]

cotgθ: cotangente dell'inclinazione dei puntoni di calcestruzzo rispetto all'asse dell'elemento.

Asl: area longitudinale tesa nella combinazione di verifica di Ved. [cm²]

σc: tensione nel calcestruzzo. [daN/cm²]

σlim: tensione limite. [daN/cm²]

Es/Ec: coefficiente di omogenizzazione.

σf: tensione nell'acciaio d'armatura. [daN/cm²]

Comb.: combinazione.

Fh: componente orizzontale del carico. [daN]

Fv: componente verticale del carico. [daN]

Cnd: resistenza valutata a breve o lungo termine (BT - LT).

Ad: adesione di progetto. [daN/cm²]

Phi: angolo di attrito di progetto. [deg]

RPl: resistenza passiva laterale unitaria di progetto. [daN/cm²]

γR: coefficiente parziale sulla resistenza di progetto.

Rd: resistenza alla traslazione di progetto. [daN]

Ed: azione di progetto. [daN]

Rd/Ed: coefficiente di sicurezza allo scorrimento.

ID: indice della verifica di capacità portante.

Fx: componente lungo x del carico. [daN]

Fy: componente lungo y del carico. [daN]

Fz: componente verticale del carico. [daN]

Mx: componente lungo x del momento. [daN*cm]

My: componente lungo y del momento. [daN*cm]

ix: inclinazione del carico in x. [deg]

iy: inclinazione del carico in y. [deg]

ex: eccentricità del carico in x. [cm]



ey: eccentricità del carico in y. [cm]

B': larghezza efficace. [cm]

L': lunghezza efficace. [cm]

C: coesione di progetto. [daN/cm²]

Qs: sovraccarico laterale da piano di posa. [daN/cm²]

Rd: resistenza alla rottura del complesso di progetto. [daN]

Ed: azione di progetto (sforzo normale al piano di posa). [daN]

Rd/Ed: coefficiente di sicurezza alla capacità portante.

N:

Nq: fattore di capacità portante per il termine di sovraccarico.

Nc: fattore di capacità portante per il termine coesivo.

Ng: fattore di capacità portante per il termine attritivo.

S:

Sq: fattore correttivo di capacità portante per forma (shape), per il termine di sovraccarico.

Sc: fattore correttivo di capacità portante per forma (shape), per il termine coesivo.

Sg: fattore correttivo di capacità portante per forma (shape), per il termine attritivo.

D:

Dq: fattore correttivo di capacità portante per approfondimento (deep), per il termine di sovraccarico.

Dc: fattore correttivo di capacità portante per approfondimento (deep), per il termine coesivo.

Dg: fattore correttivo di capacità portante per approfondimento (deep), per il termine attritivo.

I:

Iq: fattore correttivo di capacità portante per inclinazione del carico, per il termine di sovraccarico.

Ic: fattore correttivo di capacità portante per inclinazione del carico, per il termine coesivo.

Ig: fattore correttivo di capacità portante per inclinazione del carico, per il termine attritivo.

B:

Bq: fattore correttivo di capacità portante per inclinazione della base, per il termine di sovraccarico.

Bc: fattore correttivo di capacità portante per inclinazione della base, per il termine coesivo.

Bg: fattore correttivo di capacità portante per inclinazione della base, per il termine attritivo.

G:

Gq: fattore correttivo di capacità portante per inclinazione del pendio, per il termine di sovraccarico.

Gc: fattore correttivo di capacità portante per inclinazione del pendio, per il termine coesivo.

Gg: fattore correttivo di capacità portante per inclinazione del pendio, per il termine attritivo.

P:

Pq: fattore correttivo di capacità portante per punzonamento, per il termine di sovraccarico.

Pc: fattore correttivo di capacità portante per punzonamento, per il termine coesivo.

Pg: fattore correttivo di capacità portante per punzonamento, per il termine attritivo.

E:

Eq: fattore correttivo di capacità portante per sisma (earthquake), per il termine di sovraccarico.

Ec: fattore correttivo di capacità portante per sisma (earthquake), per il termine coesivo.

Eg: fattore correttivo di capacità portante per sisma (earthquake), per il termine attritivo.



BASAMENTO CABINA DI SMISTAMENTO

Platea a "Fondazione"

Verifiche condotte secondo D.M. 17-01-18 (N.T.C.)

Geometria



Caratteristiche dei materiali

Acciaio: B450C Fyk 4500

Calcestruzzo: C25/30 Rck 300

Sistema di riferimento e direzioni di armatura

Le coordinate citate nel seguito sono espresse in un sistema di riferimento cartesiano con origine in (0; 0; 0), direzione dell'asse X = (1; 0; 0), direzione dell'asse Y = (0; 1; 0).

Le direzioni X/Y di armatura e le sezioni X/Y di verifica sono individuate dagli assi del sistema di riferimento.

Verifiche nei nodi

Verifiche SLU flessione nei nodi

Piastra di fondazione con comportamento non dissipativo pertanto la verifica a pressoflessione, per le combinazioni SLV, viene eseguita calcolando i momenti resistenti in campo sostanzialmente elastico secondo D.M. 17-01-2018 §7.4.1

Nodo	Dir.	B	H	A. sup.	C. sup.	A. inf.	C. inf.	Comb.	M	N	Mu	Nu	c.s.	Verifica
236	Y	100	25	5.65	5.6	5.65	5.6	SLU 27	-5680	0	-475925	0	83.7931	Si
237	Y	100	25	5.65	5.6	5.65	5.6	SLU 27	-5500	0	-475925	0	86.535	Si
278	X	50	25	2.83	6.8	2.83	6.8	SLU 27	-2593	0	-226616	0	87.3896	Si
284	Y	100	25	5.65	5.6	5.65	5.6	SLU 27	-5436	0	-475925	0	87.5514	Si
283	Y	100	25	5.65	5.6	5.65	5.6	SLU 27	-5380	0	-475925	0	88.4549	Si

Verifiche SLE tensione calcestruzzo nei nodi

Nodo	Dir.	B	H	A. sup.	C. sup.	A. inf.	C. inf.	Comb.	M	N	σc	σlim	Es/Ec	Verifica
236	Y	100	25	5.65	5.6	5.65	5.6	SLE QP 1	-4369	0	-0.4	112.1	15	Si
237	Y	100	25	5.65	5.6	5.65	5.6	SLE QP 1	-4231	0	-0.4	112.1	15	Si
284	Y	100	25	5.65	5.6	5.65	5.6	SLE QP 1	-4182	0	-0.4	112.1	15	Si
283	Y	100	25	5.65	5.6	5.65	5.6	SLE QP 1	-4139	0	-0.4	112.1	15	Si
190	Y	100	25	5.65	5.6	5.65	5.6	SLE QP 1	-4094	0	-0.4	112.1	15	Si

Verifiche SLE tensione acciaio nei nodi

Nodo	Dir.	B	H	A. sup.	C. sup.	A. inf.	C. inf.	Comb.	M	N	σf	σlim	Es/Ec	Verifica
236	Y	100	25	5.65	5.6	5.65	5.6	SLE RA 1	-4369	0	3.3	3600	15	Si
237	Y	100	25	5.65	5.6	5.65	5.6	SLE RA 1	-4231	0	3.2	3600	15	Si
284	Y	100	25	5.65	5.6	5.65	5.6	SLE RA 1	-4182	0	3.1	3600	15	Si
283	Y	100	25	5.65	5.6	5.65	5.6	SLE RA 1	-4139	0	3.1	3600	15	Si
190	Y	100	25	5.65	5.6	5.65	5.6	SLE RA 1	-4094	0	3.1	3600	15	Si

Verifiche SLE fessurazione nei nodi

La piastra non presenta nodi con apertura delle fessure.



Verifiche geotecniche

Dati geometrici dell'impronta di calcolo

Forma dell'impronta di calcolo: rettangolare di area equivalente

Centro impronta, nel sistema globale: 1800; 445; -25

Lato minore B dell'impronta: 890

Lato maggiore L dell'impronta: 3600

Area dell'impronta rettangolare di calcolo: 3204000

Verifica di scorrimento sul piano di posa

Coefficiente di sicurezza minimo per scorrimento 159304791100.33

Comb.	Fh	Fv	Cnd	Ad	Phi	RPI	yR	Rd	Ed	Rd/Ed	Verifica
SLU 27	0	-260325	LT	0	18	0	1.1	76895	0	159304791100.33	Si

Verifiche geotecniche di capacità portante sul piano di posa

Profondità massima del bulbo di rottura considerato: 7.71 m

Peso specifico efficace del terreno di progetto γ_s : 2000 daN/m³

Coefficiente di sicurezza minimo per portanza 96.14

ID	Comb.	Fx	Fy	Fz	Mx	My	ix	iy	ex	ey	B'	L'	Cnd	C	Phi	Qs	yR	Rd	Ed	Rd/Ed	Verifica
1	SLU 27	0	0	-260325	0	0	0	0	0	0	890	3600	LT	0	30	0	2.3	25028178	260325	96.14	Si

Verifiche geotecniche di capacità portante - Fattori utilizzati nel calcolo di Rd

ID	N			S			D			I			B			G			P			E		
	Nq	Nc	Ng	Sq	Sc	Sg	Dq	Dc	Dg	Iq	Ic	Ig	Bq	Bc	Bg	Gq	Gc	Gg	Pq	Pc	Pg	Eq	Ec	Eg
1	18	30	22	1.14	1.15	0.9	1	1	1	1	1	1	1	1	1	1	1	1	1	1	1	1	1	1



BASAMENTO CABINATI MAGAZZINO

Platea a "Fondazione"

Verifiche condotte secondo D.M. 17-01-18 (N.T.C.)

Geometria



Caratteristiche dei materiali

Acciaio: B450C Fyk 4500

Calcestruzzo: C25/30_1 Rck 300

Sistema di riferimento e direzioni di armatura

Le coordinate citate nel seguito sono espresse in un sistema di riferimento cartesiano con origine in (0; 0; 0), direzione dell'asse X = (1; 0; 0), direzione dell'asse Y = (0; 1; 0).

Le direzioni X/Y di armatura e le sezioni X/Y di verifica sono individuate dagli assi del sistema di riferimento.

Verifiche nei nodi

Verifiche SLU flessione nei nodi

Piastra di fondazione con comportamento non dissipativo pertanto la verifica a pressoflessione, per le combinazioni SLV, viene eseguita calcolando i momenti resistenti in campo sostanzialmente elastico secondo D.M. 17-01-2018 §7.4.1

Nodo	Dir.	B	H	A. sup.	C. sup.	A. inf.	C. inf.	Comb.	M	N	Mu	Nu	c.s.	Verifica
68	X	100	25	5.65	6.8	5.65	6.8	SLU 27	-4671	0	-477299	0	102.1802	Si
47	X	100	25	5.65	6.8	5.65	6.8	SLU 27	-4671	0	-477299	0	102.1802	Si
61	X	100	25	5.65	6.8	5.65	6.8	SLU 27	-4659	0	-477299	0	102.4424	Si
54	X	100	25	5.65	6.8	5.65	6.8	SLU 27	-4659	0	-477299	0	102.4424	Si
44	X	50	25	2.83	6.8	2.83	6.8	SLU 27	-2206	0	-226616	0	102.7337	Si

Verifiche SLE tensione calcestruzzo nei nodi

Nodo	Dir.	B	H	A. sup.	C. sup.	A. inf.	C. inf.	Comb.	M	N	σc	σlim	Es/Ec	Verifica
68	X	100	25	5.65	6.8	5.65	6.8	SLE QP 1	-3593	0	-0.3	112.1	15	Si
47	X	100	25	5.65	6.8	5.65	6.8	SLE QP 1	-3593	0	-0.3	112.1	15	Si
61	X	100	25	5.65	6.8	5.65	6.8	SLE QP 1	-3584	0	-0.3	112.1	15	Si
54	X	100	25	5.65	6.8	5.65	6.8	SLE QP 1	-3584	0	-0.3	112.1	15	Si
40	X	100	25	5.65	6.8	5.65	6.8	SLE QP 1	-3560	0	-0.3	112.1	15	Si

Verifiche SLE tensione acciaio nei nodi

Nodo	Dir.	B	H	A. sup.	C. sup.	A. inf.	C. inf.	Comb.	M	N	σf	σlim	Es/Ec	Verifica
68	X	100	25	5.65	6.8	5.65	6.8	SLE RA 1	-3593	0	2.3	3600	15	Si
47	X	100	25	5.65	6.8	5.65	6.8	SLE RA 1	-3593	0	2.3	3600	15	Si
54	X	100	25	5.65	6.8	5.65	6.8	SLE RA 1	-3584	0	2.3	3600	15	Si
61	X	100	25	5.65	6.8	5.65	6.8	SLE RA 1	-3584	0	2.3	3600	15	Si
40	X	100	25	5.65	6.8	5.65	6.8	SLE RA 1	-3560	0	2.2	3600	15	Si

Verifiche SLE fessurazione nei nodi

La piastra non presenta nodi con apertura delle fessure.

Verifiche geotecniche

Dati geometrici dell'impronta di calcolo

Forma dell'impronta di calcolo: rettangolare di area equivalente



Centro impronta, nel sistema globale: 255; 620; -25

Lato minore B dell'impronta: 510

Lato maggiore L dell'impronta: 1240

Area dell'impronta rettangolare di calcolo: 632400

Verifica di scorrimento sul piano di posa

Coefficiente di sicurezza minimo per scorrimento 440610394758.92

Comb.	Fh	Fv	Cnd	Ad	Phi	RPI	yR	Rd	Ed	Rd/Ed	Verifica
SLU 27	0	-51382	LT	0	18	0	1.1	15177	0	440610394758.92	Si

Verifiche geotecniche di capacità portante sul piano di posa

Profondità massima del bulbo di rottura considerato: 4.42 m

Peso specifico efficace del terreno di progetto γ_s : 2000 daN/m³

Coefficiente di sicurezza minimo per portanza 51.08

ID	Comb.	Fx	Fy	Fz	Mx	My	ix	iy	ex	ey	B'	L'	Cnd	C	Phi	Qs	yR	Rd	Ed	Rd/Ed	Verifica
1	SLU 27	0	0	-51382	0	0	0	0	0	0	510	1240	LT	0	30	0	2.3	2624632	51382	51.08	Si

Verifiche geotecniche di capacità portante - Fattori utilizzati nel calcolo di Rd

ID	N			S			D			I			B			G			P			E		
	Nq	Nc	Ng	Sq	Sc	Sg	Dq	Dc	Dg	Iq	Ic	Ig	Bq	Bc	Bg	Gq	Gc	Gg	Pq	Pc	Pg	Eq	Ec	Eg
1	18	30	22	1.24	1.25	0.84	1	1	1	1	1	1	1	1	1	1	1	1	1	1	1	1	1	1



BASAMENTO CABINATI BESS

Platea a "Fondazione"

Verifiche condotte secondo D.M. 17-01-18 (N.T.C.)

Geometria



Caratteristiche dei materiali

Acciaio: B450C Fyk 4500

Calcestruzzo: C28/35 Rck 350

Sistema di riferimento e direzioni di armatura

Le coordinate citate nel seguito sono espresse in un sistema di riferimento cartesiano con origine in (0; 0; 0), direzione dell'asse X = (1; 0; 0), direzione dell'asse Y = (0; 1; 0).

Le direzioni X/Y di armatura e le sezioni X/Y di verifica sono individuate dagli assi del sistema di riferimento.

Verifiche nei nodi

Verifiche SLU flessione nei nodi

Piastra di fondazione con comportamento non dissipativo pertanto la verifica a pressoflessione, per le combinazioni SLV, viene eseguita calcolando i momenti resistenti in campo sostanzialmente elastico secondo D.M. 17-01-2018 §7.4.1

Nodo	Dir.	B	H	A. sup.	C. sup.	A. inf.	C. inf.	Comb.	M	N	Mu	Nu	c.s.	Verifica
7	Y	50	30	2.83	5.6	2.83	5.6	SLU 2	-1786	0	-285608	0	159.9236	Si
73	Y	50	30	2.83	5.6	2.83	5.6	SLU 2	-1734	0	-285608	0	164.6896	Si
23	Y	97.4	30	5.51	5.6	5.51	5.6	SLU 2	-3379	0	-559431	0	165.5571	Si
6	Y	50	30	2.83	5.6	2.83	5.6	SLU 2	-1678	0	-285608	0	170.2555	Si
57	Y	97.4	30	5.51	5.6	5.51	5.6	SLU 2	-3284	0	-559431	0	170.3747	Si

Verifiche SLE tensione calcestruzzo nei nodi

Nodo	Dir.	B	H	A. sup.	C. sup.	A. inf.	C. inf.	Comb.	M	N	σc	σlim	Es/Ec	Verifica
7	Y	50	30	2.83	5.6	2.83	5.6	SLE QP 1	-1374	0	-0.2	130.7	15	Si
73	Y	50	30	2.83	5.6	2.83	5.6	SLE QP 1	-1334	0	-0.2	130.7	15	Si
23	Y	97.4	30	5.51	5.6	5.51	5.6	SLE QP 1	-2599	0	-0.2	130.7	15	Si
57	Y	97.4	30	5.51	5.6	5.51	5.6	SLE QP 1	-2526	0	-0.2	130.7	15	Si
6	Y	50	30	2.83	5.6	2.83	5.6	SLE QP 1	-1290	0	-0.2	130.7	15	Si

Verifiche SLE tensione acciaio nei nodi

Nodo	Dir.	B	H	A. sup.	C. sup.	A. inf.	C. inf.	Comb.	M	N	σf	σlim	Es/Ec	Verifica
7	Y	50	30	2.83	5.6	2.83	5.6	SLE RA 1	-1374	0	1.6	3600	15	Si
73	Y	50	30	2.83	5.6	2.83	5.6	SLE RA 1	-1334	0	1.6	3600	15	Si
23	Y	97.4	30	5.51	5.6	5.51	5.6	SLE RA 1	-2599	0	1.6	3600	15	Si
57	Y	97.4	30	5.51	5.6	5.51	5.6	SLE RA 1	-2526	0	1.5	3600	15	Si
6	Y	50	30	2.83	5.6	2.83	5.6	SLE RA 1	-1290	0	1.5	3600	15	Si



Verifiche SLE fessurazione nei nodi

La piastra non presenta nodi con apertura delle fessure.

Verifiche geotecniche

Dati geometrici dell'impronta di calcolo

Forma dell'impronta di calcolo: rettangolare di area equivalente

Centro impronta, nel sistema globale: 325; 145; -30

Lato minore B dell'impronta: 290

Lato maggiore L dell'impronta: 650

Area dell'impronta rettangolare di calcolo: 188500

Verifica di scorrimento sul piano di posa

Coefficiente di sicurezza minimo per scorrimento 830005090192.07

Comb.	Fh	Fv	Cnd	Ad	Phi	RPI	yR	Rd	Ed	Rd/Ed	Verifica
SLU 2	0	-18379	LT	0	18	0	1.1	5429	0	830005090192.07	Si

Verifiche geotecniche di capacità portante sul piano di posa

Profondità massima del bulbo di rottura considerato: 2.51 m

Peso specifico efficace del terreno di progetto γ_s : 2000 daN/m³

Coefficiente di sicurezza minimo per portanza 23.8

ID	Comb.	Fx	Fy	Fz	Mx	My	ix	iy	ex	ey	B'	L'	Cnd	C	Phi	Qs	yR	Rd	Ed	Rd/Ed	Verifica
1	SLU 2	0	0	-18379	0	0	0	0	0	0	290	650	LT	0	30	0	2.3	437427	18379	23.8	Si

Verifiche geotecniche di capacità portante - Fattori utilizzati nel calcolo di Rd

ID	N			S			D			I			B			G			P			E		
	Nq	Nc	Ng	Sq	Sc	Sg	Dq	Dc	Dg	Iq	Ic	Ig	Bq	Bc	Bg	Gq	Gc	Gg	Pq	Pc	Pg	Eq	Ec	Eg
1	18	30	22	1.26	1.27	0.82	1	1	1	1	1	1	1	1	1	1	1	1	1	1	1	1	1	1



ALLEGATO 07 – DATI DI DEFINIZIONE PER DIMENSIONAMENTO RECINZIONE ED ACCESSI



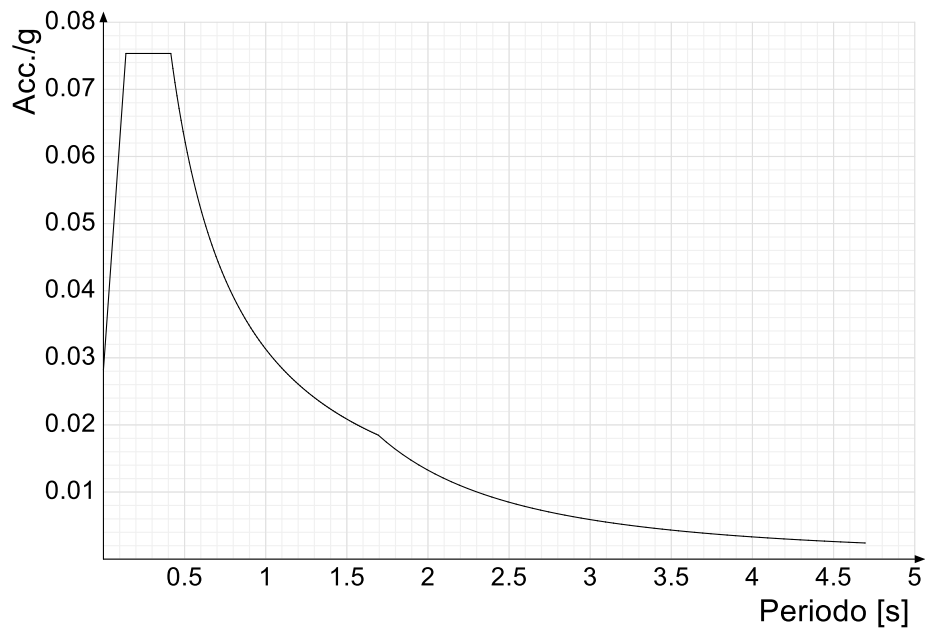
Dati di definizione

Spettri D.M. 17-01-18

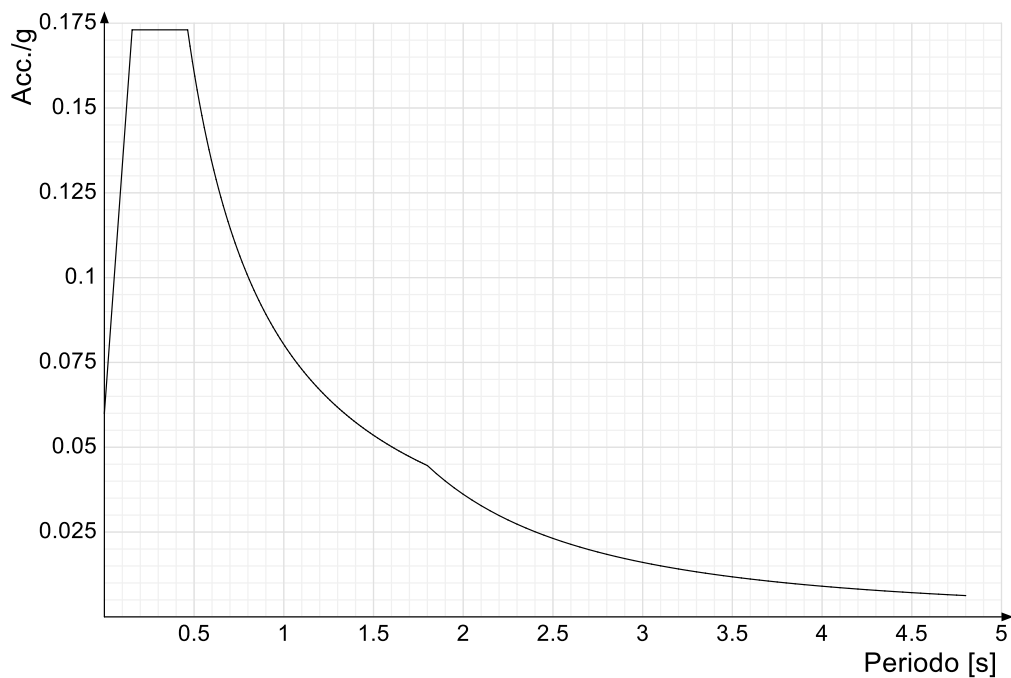
Acc./g: Accelerazione spettrale normalizzata ottenuta dividendo l'accelerazione spettrale per l'accelerazione di gravità.

Periodo: Periodo di vibrazione.

Spettro di risposta elastico in accelerazione delle componenti orizzontali SLD § 3.2.3.2.1 [3.2.2]

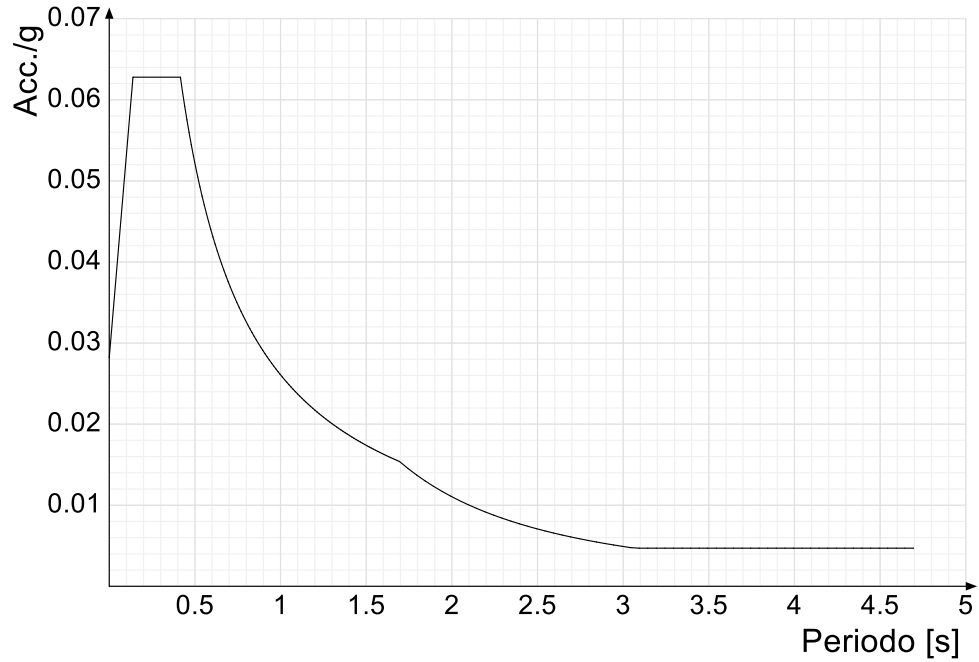


Spettro di risposta elastico in accelerazione delle componenti orizzontali SLV § 3.2.3.2.1 [3.2.2]

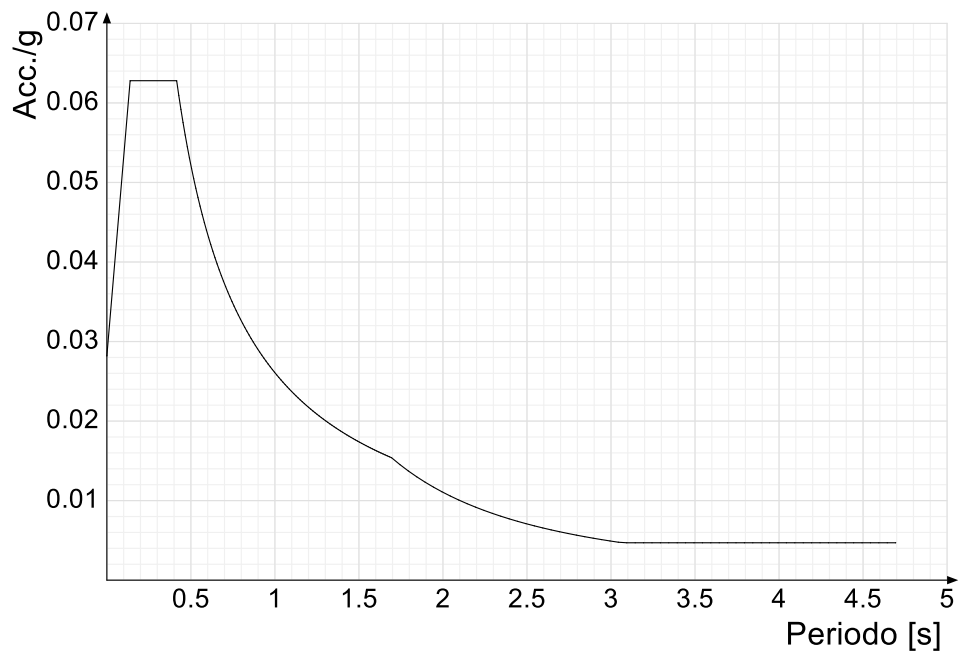




Spettro di risposta di progetto in accelerazione della componente X SLD § 3.2.3.5

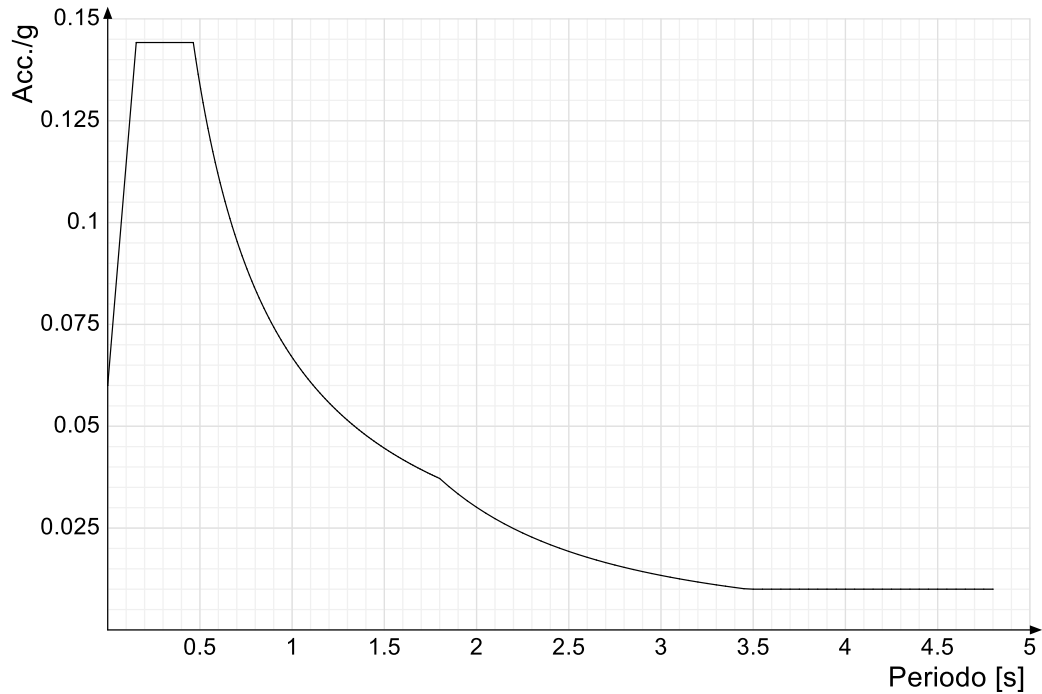


Spettro di risposta di progetto in accelerazione della componente Y SLD § 3.2.3.5

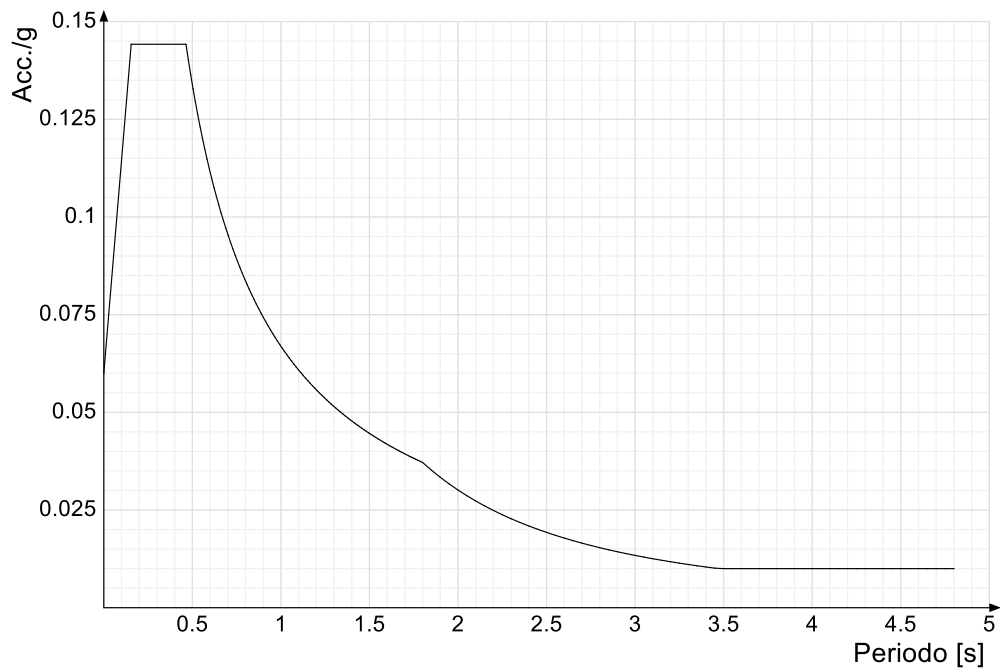




Spettro di risposta di progetto in accelerazione della componente X SLV § 3.2.3.5



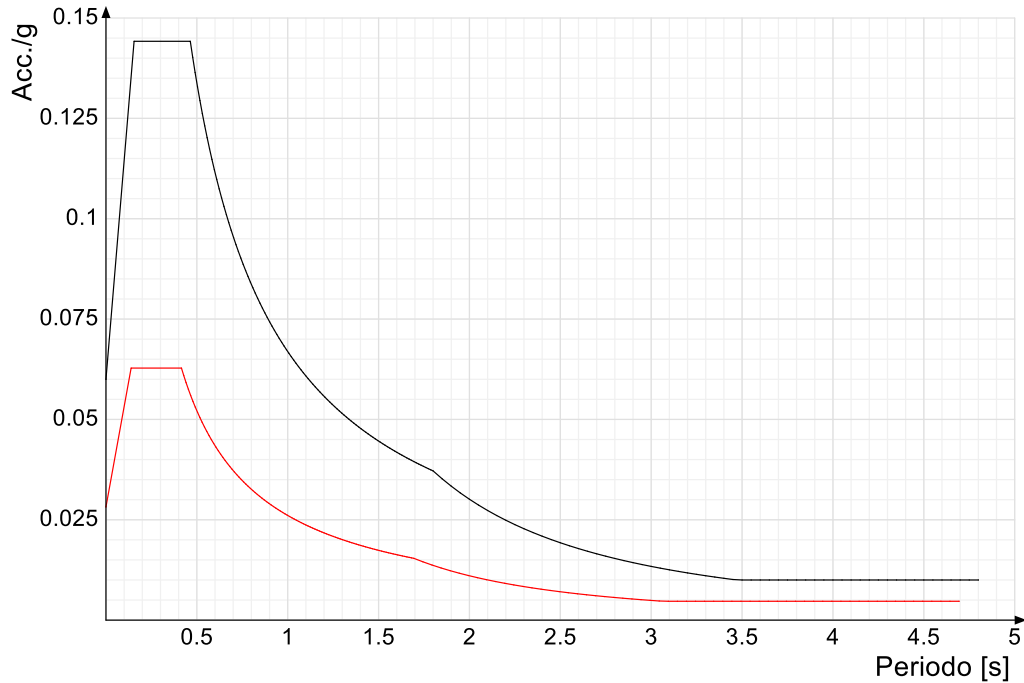
Spettro di risposta di progetto in accelerazione della componente Y SLV § 3.2.3.5



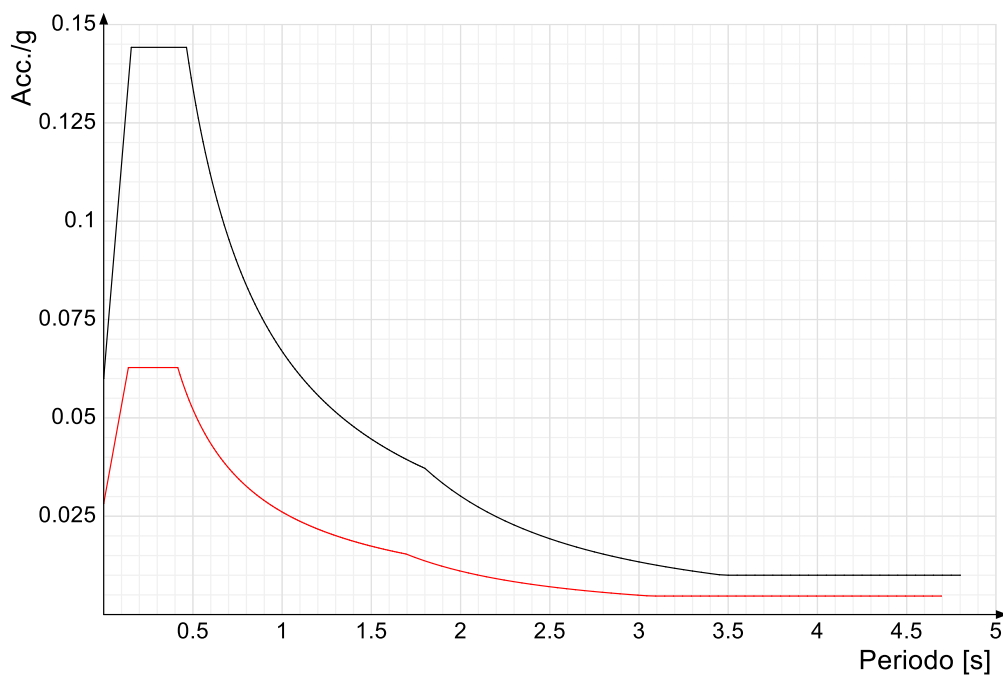


Confronti spettri SLV-SLD

Vengono confrontati lo spettro Spettro di risposta di progetto in accelerazione della componente X SLD § 3.2.3.5 (di colore rosso) e Spettro di risposta di progetto in accelerazione della componente X SLV § 3.2.3.5 (di colore nero).



Vengono confrontati lo spettro Spettro di risposta di progetto in accelerazione della componente Y SLD § 3.2.3.5 (di colore rosso) e Spettro di risposta di progetto in accelerazione della componente Y SLV § 3.2.3.5 (di colore nero).





PREFERENZE DI VERIFICA

Normativa di verifica in uso

Norma di verifica	D.M. 17-01-18 (N.T.C.)
Cemento armato	Preferenze analisi di verifica in stato limite
Acciaio	Preferenze di verifica acciaio D.M. 17-01-18 (N.T.C.)

Normativa di verifica c.a.

γ_s (fattore di sicurezza parziale per l'acciaio)	1.15
γ_c (fattore di sicurezza parziale per il calcestruzzo)	1.5
Limite σ_c/f_{ck} in combinazione rara	0.6
Limite σ_c/f_{ck} in combinazione quasi permanente	0.45
Limite σ_s/f_{yk} in combinazione rara	0.8
Coefficiente di riduzione della τ per cattiva aderenza	0.7
Dimensione limite fessure w_1 §4.1.2.2.4	0.02 [cm]
Dimensione limite fessure w_2 §4.1.2.2.4	0.03 [cm]
Dimensione limite fessure w_3 §4.1.2.2.4	0.04 [cm]
Fattori parziali di sicurezza unitari per meccanismi duttili di strutture esistenti con fattore q	No
Copriferro secondo EC2	No
acc elementi nuovi nelle combinazioni sismiche	0.85
acc elementi esistenti	0.85

Normativa di verifica acciaio

γ_{m0}	1.05
γ_{m1}	1.05
γ_{m2}	1.25
Coefficiente riduttivo per effetto vettoriale	0.7
Calcolo coefficienti C_1, C_2, C_3 per M_{cr}	automatico
Coefficienti α, β per flessione deviata	unitari
Verifica semplificata conservativa	si
L/e_0 iniziale per profili accoppiati compressi	500
Metodo semplificato formula (4.2.82)	si
Escludi 6.2.6.7 e 6.2.6.8 in 7.5.4.3 e 7.5.4.5	si
Applica Nota 1 del prospetto 6.2	no
Riduzione f_y per tubi tondi di classe 4	no
Effettua la verifica secondo 6.2.8 con irrigidimenti superiori (piastra di base)	no
Limite spostamento relativo interpiano e monopiano colonne	0.00333
Limite spostamento relativo complessivo multipiano colonne	0.002
Considera taglio resistente estremità sagomati	no
Fattori parziali di sicurezza unitari per meccanismi duttili di strutture esistenti con fattore q	no

Preferenze FEM

Dimensione massima ottimale mesh pareti (default)	50 [cm]
Dimensione massima ottimale mesh piastre (default)	50 [cm]
Tipo di mesh dei gusci (default)	Quadrilateri o triangoli



Tipo di mesh imposta ai gusci	Specifico dell'elemento
Metodo P-Delta	non utilizzato
Analisi buckling	non utilizzata
Tolleranza di parallelismo	4.99 [deg]
Tolleranza di unicità punti	10 [cm]
Tolleranza generazione nodi di aste	1 [cm]
Tolleranza di parallelismo in suddivisione aste	4.99 [deg]
Tolleranza generazione nodi di gusci	4 [cm]
Tolleranza eccentricità carichi concentrati	100 [cm]
Considera deformabilità a taglio negli elementi guscio	No
Segno risultati analisi spettrale	Analisi statica
Memoria utilizzabile dal solutore	8000000
Metodo di risoluzione della matrice	AspenTech MA57
Scrivi commenti nel file di input	No
Scrivi file di output in formato testo	No
Solidi colle e corpi ruvidi (default)	Solidi reali
Moltiplicatore rigidezza molla torsionale applicata ad aste di fondazione	1
Modello trave su suolo alla Winkler nel caso di modellazione lineare	Equilibrio elastico

Moltiplicatori inerziali

Tipologia: tipo di entità a cui si riferiscono i moltiplicatori inerziali.

J2: moltiplicatore inerziale di J2. Il valore è adimensionale.

J3: moltiplicatore inerziale di J3. Il valore è adimensionale.

Jt: moltiplicatore inerziale di Jt. Il valore è adimensionale.

A: moltiplicatore dell'area della sezione. Il valore è adimensionale.

A2: moltiplicatore dell'area a taglio in direzione 2. Il valore è adimensionale.

A3: moltiplicatore dell'area a taglio in direzione 3. Il valore è adimensionale.

Conci rigidi: fattore di riduzione dei tronchi rigidi. Il valore è adimensionale.

Tipologia	J2	J3	Jt	A	A2	A3	Conci rigidi
Trave C.A.	1	1	0.01	1	1	1	0.5
Pilastro C.A.	1	1	0.01	1	1	1	0.5
Colonna in acciaio	1	1	1	1	1	1	1
Trave di fondazione	1	1	0.01	1	1	1	0.5

Preferenze di analisi non lineare FEM

Metodo iterativo	Secante
Tolleranza iterazione	0.0001
Numero massimo iterazioni	50

Preferenze di analisi carichi superficiali

Detrazione peso proprio solai nelle zone di sovrapposizione	non applicata
Metodo di ripartizione	a zone d'influenza
Percentuale carico calcolato a trave continua	0
Esegui smoothing diagrammi di carico	applicata
Tolleranza smoothing altezza trapezi	0.001 [daN/cm]
Tolleranza smoothing altezza media trapezi	0.001 [daN/cm]



Preferenze del suolo

Fondazioni non modellate e struttura bloccata alla base	no
Fondazioni bloccate orizzontalmente	si
Considera peso sismico delle fondazioni	si
Fondazioni superficiali e profonde su suolo elastoplastico	si
Coefficiente di sottofondo verticale per fondazioni superficiali (default)	3 [daN/cm ³]
Rapporto di coefficiente sottofondo orizzontale/verticale	0.5
Pressione verticale limite sul terreno per abbassamento (default)	10 [daN/cm ²]
Pressione verticale limite sul terreno per innalzamento (default)	0.001 [daN/cm ²]
Metodo di calcolo della K verticale	Vesic
Metodo di calcolo della portanza e della pressione limite	Vesic
Terreno laterale di riporto da piano posa fondazioni (default)	Argilla sabbiosa_1
Dimensione massima della discretizzazione del palo (default)	200 [cm]
Moltiplicatore coesione per pressione orizzontale limite nei pali	1
Moltiplicatore spinta passiva per pressione orizzontale pali	1
K punta palo (default)	2 [daN/cm ³]
Pressione limite punta palo (default)	5 [daN/cm ²]
Pressione per verifica schiacciamento fondazioni superficiali	4 [daN/cm ²]
Calcola cedimenti fondazioni superficiali	si
Spessore massimo strato	100 [cm]
Profondità massima	3000 [cm]
Cedimento assoluto ammissibile	5 [cm]
Cedimento differenziale ammissibile	5 [cm]
Cedimento relativo ammissibile	5 [cm]
Rapporto di inflessione F/L ammissibile	0.003333
Rotazione rigida ammissibile	0.191 [deg]
Rotazione assoluta ammissibile	0.191 [deg]
Distorsione positiva ammissibile	0.191 [deg]
Distorsione negativa ammissibile	0.095 [deg]
Considera fondazioni compensate	no
Coefficiente di riduzione della a Max attesa	0.3
Condizione per la valutazione della spinta su pareti	Lungo termine
Considera l'azione sismica del terreno anche su pareti sotto lo zero sismico	si
Calcola cedimenti teorici pali	si
Considera accorciamento del palo	si
Distanza influenza cedimento palo	1000 [cm]
Distribuzione attrito laterale	Attrito laterale uniforme
Ripartizione del carico	Ripartizione come da modello FEM
Scelta terreno laterale	Media pesata degli strati coinvolti
Scelta terreno punta	Media pesata degli strati coinvolti
Cedimento assoluto ammissibile	5 [cm]
Cedimento medio ammissibile	5 [cm]
Cedimento differenziale ammissibile	5 [cm]
Rotazione rigida ammissibile	0.191 [deg]
Trascura la coesione efficace in verifica allo scorrimento	si
Considera inclinazione spinta del terreno contro pareti	no
Esegui verifica a liquefazione	no
Metodo di verifica liquefazione	Seed-Idriss (1982)



Coeff. di sicurezza minimo a liquefazione	1.3
Magnitudo scaling factor per liquefazione	1



AZIONI E CARICHI

Condizioni elementari di carico

Descrizione: nome assegnato alla condizione elementare.

Nome breve: nome breve assegnato alla condizione elementare.

Durata: descrive la durata della condizione (necessario per strutture in legno).

ψ_0 : coefficiente moltiplicatore ψ_0 . Il valore è adimensionale.

ψ_1 : coefficiente moltiplicatore ψ_1 . Il valore è adimensionale.

ψ_2 : coefficiente moltiplicatore ψ_2 . Il valore è adimensionale.

Con segno: descrive se la condizione elementare ha la possibilità di variare di segno.

Descrizione	Nome breve	Durata	ψ_0	ψ_1	ψ_2	Con segno
Pesi strutturali	Pesi	Permanente				
Permanenti portati	Port.	Permanente				
Vento	Vento	Media	0.6	0.2	0	
Variabile A	Variabile A	Media	0.7	0.5	0.3	
Neve	Neve	Media	0.5	0.2	0	
ΔT	ΔT	Media	0.6	0.5	0	No
Sisma X SLV	X SLV					
Sisma Y SLV	Y SLV					
Sisma Z SLV	Z SLV					
Eccentricità Y per sisma X SLV	EY SLV					
Eccentricità X per sisma Y SLV	EX SLV					
Sisma X SLD	X SLD					
Sisma Y SLD	Y SLD					
Sisma Z SLD	Z SLD					
Eccentricità Y per sisma X SLD	EY SLD					
Eccentricità X per sisma Y SLD	EX SLD					
Rig. Ux	R Ux					
Rig. Uy	R Uy					
Rig. Rz	R Rz					

Definizioni di carichi concentrati

Nome: nome identificativo della definizione di carico.

Valori: valori associati alle condizioni di carico.

Condizione: condizione di carico a cui sono associati i valori.

Descrizione: nome assegnato alla condizione elementare.

Fx: componente X del carico concentrato. [daN]

Fy: componente Y del carico concentrato. [daN]

Fz: componente Z del carico concentrato. [daN]

Mx: componente di momento della coppia concentrata attorno all'asse X. [daN*cm]

My: componente di momento della coppia concentrata attorno all'asse Y. [daN*cm]

Mz: componente di momento della coppia concentrata attorno all'asse Z. [daN*cm]

Nome	Valori						
	Condizione	Fx	Fy	Fz	Mx	My	Mz
	Descrizione						
Peso cancello	Pesi strutturali	0	0	0	0	0	0
	Permanenti portati	0	0	-50	0	0	0
	Vento	0	0	0	0	0	0
Peso cancelletto	Variabile A	0	0	0	1500	0	0
	Neve	0	0	0	0	0	0
	Pesi strutturali	0	0	0	0	0	0
Peso cancelletto	Permanenti portati	0	0	-40	0	0	0
	Vento	0	0	0	0	0	0
	Variabile A	0	0	0	4000	0	0
	Neve	0	0	0	0	0	0



Definizioni di carichi lineari

Nome: nome identificativo della definizione di carico.

Valori: valori associati alle condizioni di carico.

Condizione: condizione di carico a cui sono associati i valori.

Descrizione: nome assegnato alla condizione elementare.

Fx i.: valore iniziale della forza, per unità di lunghezza, agente in direzione X. [daN/cm]

Fx f.: valore finale della forza, per unità di lunghezza, agente in direzione X. [daN/cm]

Fy i.: valore iniziale della forza, per unità di lunghezza, agente in direzione Y. [daN/cm]

Fy f.: valore finale della forza, per unità di lunghezza, agente in direzione Y. [daN/cm]

Fz i.: valore iniziale della forza, per unità di lunghezza, agente in direzione Z. [daN/cm]

Fz f.: valore finale della forza, per unità di lunghezza, agente in direzione Z. [daN/cm]

Mx i.: valore iniziale della coppia, per unità di lunghezza, agente attorno l'asse X. [daN]

Mx f.: valore finale della coppia, per unità di lunghezza, agente attorno l'asse X. [daN]

My i.: valore iniziale della coppia, per unità di lunghezza, agente attorno l'asse Y. [daN]

My f.: valore finale della coppia, per unità di lunghezza, agente attorno l'asse Y. [daN]

Mz i.: valore iniziale della coppia, per unità di lunghezza, agente attorno l'asse Z. [daN]

Mz f.: valore finale della coppia, per unità di lunghezza, agente attorno l'asse Z. [daN]

Nome	Condizione	Valori											
		Fx i.	Fx f.	Fy i.	Fy f.	Fz i.	Fz f.	Mx i.	Mx f.	My i.	My f.	Mz i.	Mz f.
	Descrizione												
Pilastro cancello	Pesi strutturali	0	0	0	0	0	0	0	0	0	0	0	0
	Permanenti portati	0	0	0	0	0	0	0	0	0	0	0	0
	Vento	0	0	0.7	0.7	0	0	0	0	0	0	0	0
	Variabile A	0	0	0	0	0	0	0	0	0	0	0	0
	Neve	0	0	0	0	0	0	0	0	0	0	0	0
Pilastro cancelletto	Pesi strutturali	0	0	0	0	0	0	0	0	0	0	0	0
	Permanenti portati	0	0	0	0	0	0	0	0	0	0	0	0
	Vento	0	0	0.7	0.7	0	0	0	0	0	0	0	0
	Variabile A	0	0	0	0	0	0	0	0	0	0	0	0
	Neve	0	0	0	0	0	0	0	0	0	0	0	0



ALLEGATO 08 – SEZIONI E MATERIALI RECINZIONI ED ACCESSI



DATI GENERALI DB

MATERIALI

Materiali c.a.

Descrizione: descrizione o nome assegnato all'elemento.

Rck: resistenza caratteristica cubica; valore medio nel caso di edificio esistente. [daN/cm²]

E: modulo di elasticità longitudinale del materiale per edifici o materiali nuovi. [daN/cm²]

G: modulo di elasticità tangenziale del materiale, viene impiegato nella modellazione di aste e di elementi guscio a comportamento ortotropo. [daN/cm²]

v: coefficiente di Poisson. Il valore è adimensionale.

γ: peso specifico del materiale. [daN/cm³]

α: coefficiente longitudinale di dilatazione termica. [°C-1]

Descrizione	Rck	E	G	v	γ	α
C25/30	300	314472	Default (142941.64)	0.1	0.0025	0.00001

Curve di materiali c.a.

Descrizione: descrizione o nome assegnato all'elemento.

Curva: curva caratteristica.

Reaz.traz.: reagisce a trazione.

Comp.frag.: ha comportamento fragile.

E.compr.: modulo di elasticità a compressione. [daN/cm²]

Incr.compr.: incrudimento di compressione. Il valore è adimensionale.

EpsEc: ε elastico a compressione. Il valore è adimensionale.

EpsUc: ε ultimo a compressione. Il valore è adimensionale.

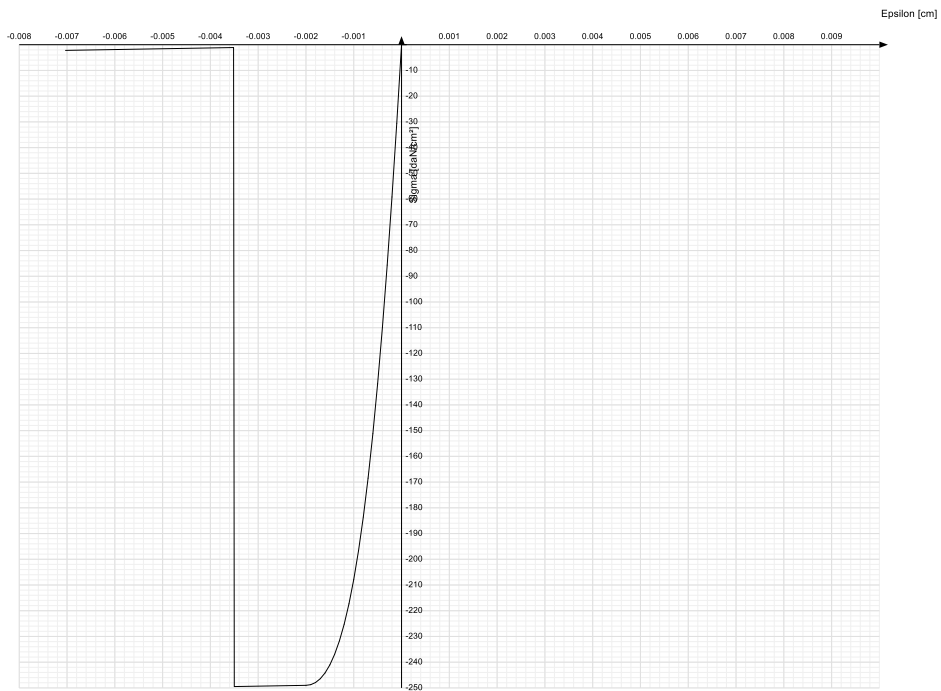
E.traz.: modulo di elasticità a trazione. [daN/cm²]

Incr.traz.: incrudimento di trazione. Il valore è adimensionale.

EpsEt: ε elastico a trazione. Il valore è adimensionale.

EpsUt: ε ultimo a trazione. Il valore è adimensionale.

Descrizione	Curva									
	Reaz.traz.	Comp.frag.	E.compr.	Incr.compr.	EpsEc	EpsUc	E.traz.	Incr.traz.	EpsEt	EpsUt
C25/30	No	Si	314471.61	0.001	- 0.002	- 0.0035	314471.61	0.001	0.0000569	0.0000626



Armature

Descrizione: descrizione o nome assegnato all'elemento.

fyk: resistenza caratteristica. [daN/cm²]

σamm.: tensione ammissibile. [daN/cm²]

Tipo: tipo di barra.

E: modulo di elasticità longitudinale del materiale per edifici o materiali nuovi. [daN/cm²]

γ: peso specifico del materiale. [daN/cm³]

v: coefficiente di Poisson. Il valore è adimensionale.

α: coefficiente longitudinale di dilatazione termica. [°C⁻¹]

Livello di conoscenza: indica se il materiale è nuovo o esistente, e in tal caso il livello di conoscenza secondo Circ.617 02/02/09 §C8A. Informazione impiegata solo in analisi D.M. 14-01-08 (N.T.C.) e D.M. 17-01-18 (N.T.C.).

Descrizione	fyk	σamm.	Tipo	E	γ	v	α	Livello di conoscenza
B450C	4500	2550	Aderenza migliorata	2060000	0.00785	0.3	0.000012	Nuovo



Acciai

Proprietà acciai base

Descrizione: descrizione o nome assegnato all'elemento.

E: modulo di elasticità longitudinale del materiale per edifici o materiali nuovi. [daN/cm²]

G: modulo di elasticità tangenziale del materiale, viene impiegato nella modellazione di aste e di elementi guscio a comportamento ortotropo. [daN/cm²]

v: coefficiente di Poisson. Il valore è adimensionale.

γ: peso specifico del materiale. [daN/cm³]

α: coefficiente longitudinale di dilatazione termica. [°C-1]

Descrizione	E	G	v	γ	α
S235	2100000	Default (807692.31)	0.3	0.00785	0.000012

Proprietà acciai CNR 10011

Descrizione: descrizione o nome assegnato all'elemento.

Tipo: descrizione per norma.

fy(s<=40 mm): resistenza di snervamento fy per spessori <=40 mm. [daN/cm²]

fy(s>40 mm): resistenza di snervamento fy per spessori >40 mm. [daN/cm²]

fu(s<=40 mm): resistenza di rottura per trazione fu per spessori <=40 mm. [daN/cm²]

fu(s>40 mm): resistenza di rottura per trazione fu per spessori >40 mm. [daN/cm²]

Prosp. Omega: prospetto per coefficienti Omega.

σ amm.(s<=40 mm): σ ammissibile per spessori <=40 mm. [daN/cm²]

σ amm.(s>40 mm): σ ammissibile per spessori >40 mm. [daN/cm²]

fd(s<=40 mm): resistenza di progetto fd per spessori <=40 mm. [daN/cm²]

fd(s>40 mm): resistenza di progetto fd per spessori >40 mm. [daN/cm²]

Descrizione	Tipo	fy(s<=40 mm)	fy(s>40 mm)	fu(s<=40 mm)	fu(s>40 mm)	Prosp. Omega	σ amm.(s<=40 mm)	σ amm.(s>40 mm)	fd(s<=40 mm)	fd(s>40 mm)
S235	FE360	2350	2150	3600	3400	II	1600	1400	2350	2100

Proprietà acciai CNR 10022

Descrizione: descrizione o nome assegnato all'elemento.

Tipo: descrizione per norma.

fy: resistenza di snervamento fy. [daN/cm²]

fu: resistenza di rottura fu. [daN/cm²]

fd: resistenza di progetto fd. [daN/cm²]

Prospetto omega sag.fr.(s<3mm): prospetto coeff. omega per spessori < 3 mm.

Prospetto omega sag.fr.(s>=3mm): prospetto coeff. omega per spessori >= 3 mm.

Prospetti σ crit. Eulero: prospetti σ critiche euleriane.

Descrizione	Tipo	fy	fu	fd	Prospetto omega sag.fr.(s<3mm)	Prospetto omega sag.fr.(s>=3mm)	Prospetti σ crit. Eulero
S235	FE360	2350	3600	2350	b	c	I

Proprietà acciai EC3

Descrizione: descrizione o nome assegnato all'elemento.

Tipo: descrizione per norma.

fy(s<=40 mm): resistenza di snervamento fy per spessori <=40 mm. [daN/cm²]

fy(s>40 mm): resistenza di snervamento fy per spessori >40 mm. [daN/cm²]

fu(s<=40 mm): resistenza di rottura per trazione fu per spessori <=40 mm. [daN/cm²]

fu(s>40 mm): resistenza di rottura per trazione fu per spessori >40 mm. [daN/cm²]



Descrizione	Tipo	$f_y(s \leq 40 \text{ mm})$	$f_y(s > 40 \text{ mm})$	$f_u(s \leq 40 \text{ mm})$	$f_u(s > 40 \text{ mm})$
S235	S235	2350	2150	3600	3600



SEZIONI

Sezioni C.A.

Sezioni rettangolari C.A.



Descrizione: descrizione o nome assegnato all'elemento.

Area Tx FEM: area di taglio in direzione X per l'analisi FEM. [cm²]

Area Ty FEM: area di taglio in direzione Y per l'analisi FEM. [cm²]

JxFEM: momento di inerzia attorno all'asse X per l'analisi FEM. [cm⁴]

JyFEM: momento di inerzia attorno all'asse Y per l'analisi FEM. [cm⁴]

JtFEM: momento d'inerzia torsionale corretto con il fattore di forma per l'analisi FEM. [cm⁴]

H: altezza della sezione. [cm]

B: larghezza della sezione. [cm]

c.s.: copriferro superiore della sezione. [cm]

c.i.: copriferro inferiore della sezione. [cm]

c.l.: copriferro laterale della sezione. [cm]

Descrizione	Area Tx FEM	Area Ty FEM	JxFEM	JyFEM	JtFEM	H	B	c.s.	c.i.	c.l.
R 70x50	2916.67	2916.67	729166.67	1.429E06	1.604E06	50	70	6	6	6

Caratteristiche inerziali sezioni C.A.

Descrizione: descrizione o nome assegnato all'elemento.

Xg: ascissa del baricentro definita rispetto al sistema geometrico in cui sono definiti i vertici del poligono. [cm]

Yg: ordinata del baricentro definita rispetto al sistema geometrico in cui sono definiti i vertici del poligono. [cm]

Area: area inerziale nel sistema geometrico centrato nel baricentro. [cm²]

Jx: momento d'inerzia attorno all'asse orizzontale baricentrico di definizione della sezione. [cm⁴]

Jy: momento d'inerzia attorno all'asse verticale baricentrico di definizione della sezione. [cm⁴]

Jxy: momento centrifugo rispetto al sistema di riferimento baricentrico di definizione della sezione. [cm⁴]

Jm: momento d'inerzia attorno all'asse baricentrico principale M. [cm⁴]

Jn: momento d'inerzia attorno all'asse baricentrico principale N. [cm⁴]

α: angolo tra gli assi del sistema di riferimento geometrico di definizione e quelli del sistema di riferimento principale. [deg]

Area Tx FEM: area di taglio in direzione X per l'analisi FEM. [cm²]

Area Ty FEM: area di taglio in direzione Y per l'analisi FEM. [cm²]

JxFEM: momento di inerzia attorno all'asse X per l'analisi FEM. [cm⁴]

JyFEM: momento di inerzia attorno all'asse Y per l'analisi FEM. [cm⁴]

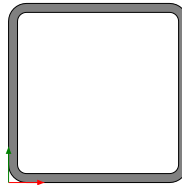
JtFEM: momento d'inerzia torsionale corretto con il fattore di forma per l'analisi FEM. [cm⁴]

Descrizione	Xg	Yg	Area	Jx	Jy	Jxy	Jm	Jn	α	Area Tx FEM	Area Ty FEM	JxFEM	JyFEM	JtFEM
R 70x50	35	25	3500	7.3E5	1.4E6	0	7.3E5	1.4E6	0	2916.67	2916.67	7.29E05	1.43E06	1.60E06



Sezioni in acciaio

Tubi rettangolari



Descrizione: descrizione o nome assegnato all'elemento.

Sup.: superficie bagnata per unità di lunghezza. [mm]

Area Tx FEM: area di taglio in direzione X per l'analisi FEM. [mm²]

Area Ty FEM: area di taglio in direzione Y per l'analisi FEM. [mm²]

JxFEM: momento di inerzia attorno all'asse X per l'analisi FEM. [mm⁴]

JyFEM: momento di inerzia attorno all'asse Y per l'analisi FEM. [mm⁴]

JtFEM: momento d'inerzia torsionale corretto con il fattore di forma per l'analisi FEM. [mm⁴]

h: altezza del tubo. [mm]

b: larghezza del tubo. [mm]

s: spessore. [mm]

r: raggio di curvatura. [mm]

Categoria: categoria, basata sulla tecnologia costruttiva.

Formatura: tipo di formatura a freddo del sagomato.

Descrizione	Sup.	Area Tx FEM	Area Ty FEM	JxFEM	JyFEM	JtFEM	h	b	s	r	Categoria	Formatura
EN10219 100x100x5	734.1	1000	1000	2711021	2711021	4405172	100	100	5	5	Sagomato a freddo conforme UNI 10219	A rullo
EN10219 150x150x5	1134.1	1500	1500	9821189	9821189	15541317	150	150	5	5	Sagomato a freddo conforme UNI 10219	A rullo

Caratteristiche inerziali sezioni in acciaio

Caratteristiche inerziali principali sezioni in acciaio

Descrizione: descrizione o nome assegnato all'elemento.

Xg: coordinata X del baricentro. [cm]

Yg: coordinata Y del baricentro. [cm]

Area: area inerziale nel sistema geometrico centrato nel baricentro. [cm²]

Jx: momento d'inerzia attorno all'asse orizzontale baricentrico di definizione della sezione. [cm⁴]

Jy: momento d'inerzia attorno all'asse verticale baricentrico di definizione della sezione. [cm⁴]

Jxy: momento centrifugo rispetto al sistema di riferimento baricentrico di definizione della sezione. [cm⁴]

Jm: momento d'inerzia attorno all'asse baricentrico principale M. [cm⁴]

Jn: momento d'inerzia attorno all'asse baricentrico principale N. [cm⁴]

α X su M: angolo tra gli assi del sistema di riferimento geometrico di definizione e quelli del sistema di riferimento principale. [deg]

Jt: momento d'inerzia torsionale corretto con il fattore di forma. [cm⁴]

Descrizione	Xg	Yg	Area	Jx	Jy	Jxy	Jm	Jn	α X su M	Jt
EN10219 100x100x5	5	5	18.36	271.1	271.1	0	271.1	271.1	0	440.52
EN10219 150x150x5	7.5	7.5	28.36	982.12	982.12	0	982.12	982.12	0	1554.13



Caratteristiche inerziali momenti sezioni in acciaio

Descrizione: descrizione o nome assegnato all'elemento.

ix: raggio di inerzia relativo all'asse x. [cm]

iy: raggio di inerzia relativo all'asse y. [cm]

im: raggio di inerzia relativo all'asse principale m. [cm]

in: raggio di inerzia relativo all'asse principale n. [cm]

Sx: momento statico relativo all'asse x. [cm³]

Sy: momento statico relativo all'asse y. [cm³]

Wx: modulo di resistenza elastico minimo relativo all'asse x. [cm³]

Wy: modulo di resistenza elastico minimo relativo all'asse y. [cm³]

Wm: modulo di resistenza elastico minimo relativo all'asse principale m. [cm³]

Wn: modulo di resistenza elastico minimo relativo all'asse principale n. [cm³]

Wplx: modulo di resistenza plastico relativo all'asse x. [cm³]

Wply: modulo di resistenza plastico relativo all'asse y. [cm³]

Descrizione	ix	iy	im	in	Sx	Sy	Wx	Wy	Wm	Wn	Wplx	Wply
EN10219 100x100x5	3.84	3.84	3.84	3.84	32.26	32.26	54.22	54.22	54.22	54.22	64.59	64.59
EN10219 150x150x5	5.89	5.89	5.89	5.89	76.44	76.44	130.95	130.95	130.95	130.95	152.98	152.98

Caratteristiche inerziali taglio sezioni in acciaio

Descrizione: descrizione o nome assegnato all'elemento.

Atx: area a taglio lungo x. [cm²]

Aty: area a taglio lungo y. [cm²]

Descrizione	Atx	Aty
EN10219 100x100x5	10	10
EN10219 150x150x5	15	15



ALLEGATO 09 – VERIFICHE STRUTTURE RECINZIONI ED ACCESSI



VERIFICHE

VERIFICHE TRAVATE C.A.

Le unità di misura elencate nel capitolo sono in [cm, daN, deg] ove non espressamente specificato.

N°: indice progressivo della sezione.

Descrizione: descrizione della sezione.

Tipo: tipo di sezione.

Base: base della sezione. [cm]

Altezza: altezza della sezione. [cm]

Copriferro sup.: distanza del bordo della staffa dalla superficie superiore del getto. [cm]

Copriferro inf.: distanza del bordo della staffa dalla superficie inferiore del getto. [cm]

Copriferro lat.: distanza del bordo della staffa dalle superfici laterali del getto. [cm]

x: distanza da asse appoggio sinistro. [cm]

A sup.: area efficace di armatura longitudinale superiore. [cm²]

C.b. sup.: distanza dal bordo del baricentro dell'armatura longitudinale superiore. [cm]

A inf.: area efficace di armatura longitudinale inferiore. [cm²]

C.b. inf.: distanza dal bordo del baricentro dell'armatura longitudinale inferiore. [cm]

M+ela: momento flettente desunto dal solutore che tende le fibre inferiori. [daN*cm]

Comb.: combinazione.

M+des: momento flettente di progetto che tende le fibre inferiori. [daN*cm]

M+ult: momento ultimo per trazione delle fibre inferiori. [daN*cm]

x/d: rapporto tra posizione asse neutro e altezza utile.

M-ela: momento flettente desunto dal solutore che tende le fibre superiori. [daN*cm]

M-des: momento flettente di progetto che tende le fibre superiori. [daN*cm]

M-ult: momento ultimo per trazione delle fibre superiori. [daN*cm]

Verifica: stato di verifica.

A st: area di staffe per unità di lunghezza. [cm²]

A sl: area di armatura longitudinale tesa per valutazione resistenza taglio in assenza di armature a taglio. [cm²]

A sag: area equivalente di barre piegate per unità di lunghezza. [cm²]

Vela: taglio elastico. [daN]

Vdes: taglio di progetto. [daN]

Vrd: resistenza a taglio della sezione senza armature. [daN]

Vrcd: sforzo di taglio che produce il cedimento delle bielle. [daN]

Vrsd: resistenza a taglio per la presenza delle armature. [daN]

Vult: taglio ultimo. [daN]

cotg ϑ : cotg dell'angolo di inclinazione dei puntoni in calcestruzzo.

Rara: famiglia di combinazione di verifica.

Mela: momento elastico. [daN*cm]

Mdes: momento di progetto. [daN*cm]

σc : tensione di compressione nel calcestruzzo. [daN/cm²]

$\sigma c \text{ lim.}$: tensione limite di compressione nel calcestruzzo. [daN/cm²]

σf : tensione di trazione nell'acciaio. [daN/cm²]

$\sigma f \text{ lim.}$: tensione limite di trazione nell'acciaio. [daN/cm²]

Quasi permanente: famiglia di combinazione di verifica.

$\sigma \text{ FRP}$: tensione di trazione nell'FRP. [daN/cm²]

$\sigma \text{ FRP lim.}$: tensione limite di trazione nell'FRP. [daN/cm²]

Aste: numero delle aste del tratto in verifica.

Size X: misura dell'impronta al suolo lungo la direzione X locale. [cm]

Size Y: misura dell'impronta al suolo lungo la direzione Y locale. [cm]

Comb: combinazione.

Type: indicazione del tipo di combinazione statica o sismica.

Cond: indicazione della condizione di carico (BT breve termine o LT lungo termine).



γ_R : coefficiente parziale sulla resistenza di progetto.

R_d : resistenza di progetto. [daN]

E_d : azione di progetto. [daN]

R_d/E_d : coefficiente di sicurezza alla capacità portante.

F_x : componente orizzontale del carico lungo x. [daN]

F_y : componente orizzontale del carico lungo y. [daN]

F_z : componente verticale del carico. [daN]

M_x : momento risultante agente attorno x. [daN*cm]

M_y : momento risultante agente attorno y. [daN*cm]

$Inc.x$: inclinazione del carico lungo x. [deg]

$Inc.y$: inclinazione del carico lungo y. [deg]

$Ecc.x$: eccentricità del carico lungo x. [cm]

$Ecc.y$: eccentricità del carico lungo y. [cm]

B' : larghezza efficace. [cm]

L' : lunghezza efficace. [cm]

q_d : sovraccarico di progetto. [daN/cm²]

γ_s : peso specifico di progetto del suolo. [daN/cm³]

F_i : angolo di attrito di progetto. [deg]

c_{oes} : coesione di progetto. [daN/cm²]

A_{max} : accelerazione normalizzata max al suolo.

N :

N_q : fattore di capacità portante per il termine di sovraccarico.

N_c : fattore di capacità portante per il termine coesivo.

N_g : fattore di capacità portante per il termine attritivo.

S :

S_q : fattore correttivo di capacità portante per forma (shape), per il termine di sovraccarico.

S_c : fattore correttivo di capacità portante per forma (shape), per il termine coesivo.

S_g : fattore correttivo di capacità portante per forma (shape), per il termine attritivo.

D :

D_q : fattore correttivo di capacità portante per approfondimento (deep), per il termine di sovraccarico.

D_c : fattore correttivo di capacità portante per approfondimento (deep), per il termine coesivo.

D_g : fattore correttivo di capacità portante per approfondimento (deep), per il termine attritivo.

I :

I_q : fattore correttivo di capacità portante per inclinazione del carico, per il termine di sovraccarico.

I_c : fattore correttivo di capacità portante per inclinazione del carico, per il termine coesivo.

I_g : fattore correttivo di capacità portante per inclinazione del carico, per il termine attritivo.

B :

B_q : fattore correttivo di capacità portante per inclinazione della base, per il termine di sovraccarico.

B_c : fattore correttivo di capacità portante per inclinazione della base, per il termine coesivo.

B_g : fattore correttivo di capacità portante per inclinazione della base, per il termine attritivo.

G :

G_q : fattore correttivo di capacità portante per inclinazione del pendio, per il termine di sovraccarico.

G_c : fattore correttivo di capacità portante per inclinazione del pendio, per il termine coesivo.

G_g : fattore correttivo di capacità portante per inclinazione del pendio, per il termine attritivo.

P :

P_q : fattore correttivo di capacità portante per punzonamento, per il termine di sovraccarico.

P_c : fattore correttivo di capacità portante per punzonamento, per il termine coesivo.

P_g : fattore correttivo di capacità portante per punzonamento, per il termine attritivo.

E :

E_q : fattore correttivo di capacità portante per sisma (earthquake), per il termine di sovraccarico.

E_c : fattore correttivo di capacità portante per sisma (earthquake), per il termine coesivo.

E_g : fattore correttivo di capacità portante per sisma (earthquake), per il termine attritivo.

Tipo: tipologia di cedimento considerato (E = elastico, D = edometrico, Z = consolidazione primaria).

Assoluto: cedimento assoluto massimo.

S_{adm} : cedimento assoluto ammissibile. [cm]



Sa: cedimento assoluto massimo. [cm]

Nodo: nodo dove avviene il cedimento assoluto massimo.

Differenziale: cedimento differenziale massimo.

Sd adm: cedimento differenziale ammissibile. [cm]

Sd: cedimento differenziale massimo. [cm]

Nodo I: nodo dove avviene il cedimento differenziale massimo.

Nodo j: nodo dove avviene il cedimento differenziale massimo.

Relativo: cedimento relativo massimo.

Sr adm: cedimento relativo ammissibile. [cm]

Sr: cedimento relativo massimo. [cm]

Nodo: nodo dove avviene il cedimento relativo massimo.

Rapp. inflessione: rapporto di inflessione (cedimento relativo max su lunghezza complessiva tratta).

RI adm: rapporto di inflessione ammissibile.

RI: rapporto di inflessione (cedimento relativo max su lunghezza complessiva tratta).

Rotazione rigida: rotazione rigida valutata tra primo ed ultimo punto.

RR adm: rotazione rigida ammissibile. [deg]

RR: rotazione rigida massima (tra primo ed ultimo punto). [deg]

Rotazione assoluta: rotazione assoluta dei singoli tratti.

R Adm: rotazione assoluta ammissibile. [deg]

R Max: rotazione assoluta massima. [deg]

Nodo I: dal nodo.

Nodo J: al nodo.

Distorsione angolare positiva: distorsione angolare positiva (concavità verso l'alto).

D+ adm: distorsione angolare ammissibile. [deg]

D+: distorsione angolare massima positiva (concavità verso l'alto). [deg]

Nodo: nodo dove avviene la distorsione angolare massima positiva (concavità verso l'alto).

Distorsione angolare negativa: distorsione angolare negativa (concavità verso il basso).

D- adm: distorsione angolare ammissibile. [deg]

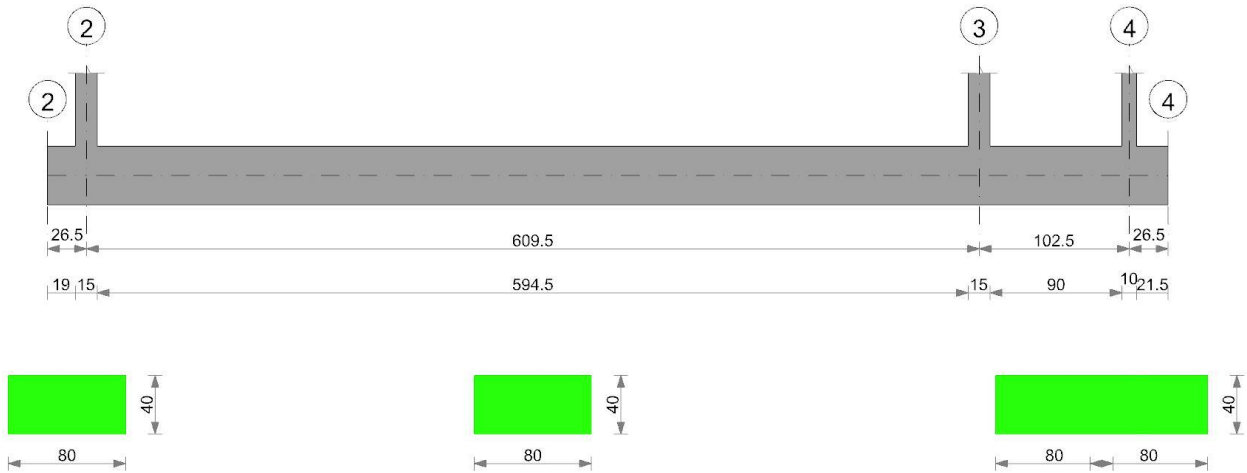
D-: distorsione angolare massima negativa (concavità verso il basso). [deg]

Nodo: nodo dove avviene la distorsione angolare massima negativa (concavità verso il basso).



Trave di fondazione a "infissione montante" 2-4

Geometria



Caratteristiche dei materiali

Acciaio: B450C Fyk 4500

Calcestruzzo: C25/30 Rck 300

Elenco delle sezioni

N°	Descrizione	Tipo	Base	Altezza	Copriferro sup.	Copriferro inf.	Copriferro lat.
1	R 70x50	Rettangolare	70	50	6	6	6

Output campate

Campata 1 tra i fili 2 - 2, sezione R 70x50, asta 7

Verifiche a flessione in famiglia SLU

x	A sup.	C.b. sup.	A inf.	C.b. inf.	M+ela	Comb.	M+des	M+ult	x/d	M-ela	Comb.	M-des	M-ult	x/d	Verifica
0	0	0	0	0	0	SLU 1	229	0	0	0					
9	7.7	7.7	7.7	7.7	50	SLU 40	229	1291541	0.14	5646					
18	7.7	7.7	7.7	7.7	198	SLU 40	229	1291541	0.14	5646					
19	7.7	7.7	7.7	7.7	229	SLU 40	229	1291541	0.14	5646					
27	7.7	7.7	7.7	7.7	441	SLU 40	10	1291541	0.14	+∞					

Verifiche a flessione in famiglia SLV (domini sostanzialmente elastici)

La struttura oppure parte di essa, è stata dichiarata come non dissipativa pertanto la verifica a pressoflessione, per tutte o solo alcune sezioni, viene eseguita calcolando i momenti resistenti in campo sostanzialmente elastico secondo D.M. 17-01-2018 §7.4.1

Le dilatazioni ultime utilizzate sono le seguenti: $\epsilon_{c2} = 0.002$, $\epsilon_{yd} = 0.0019$

x	A sup.	C.b. sup.	A inf.	C.b. inf.	M+ela	Comb.	M+des	M+ult	x/d	M-ela	Comb.	M-des	M-ult	x/d	Verifica
0	0	0	0	0	0	SLV 13	169	0	0	0	2,08137862500735E-09	SLV 9	0	0	0
9	7.7	7.7	7.7	7.7	37	SLV 1	169	1166246	0.204	6921	33,4659576416016	SLV 13	0	1166245.757	-0,204390382735759
18	7.7	7.7	7.7	7.7	146	SLV 1	169	1166246	0.204	6921	132,5517578125	SLV 13	0	1166245.757	-0,204390382735759
19	7.7	7.7	7.7	7.7	169	SLV 1	169	1166246	0.204	6921	153,164533795051	SLV 13	0	1166245.757	-0,204390382735759
27	7.7	7.7	7.7	7.7	325	SLV 1	234	1166246	0.204	4979					

Verifiche SLD Resistenza a flessione (domini sostanzialmente elastici)

La struttura oppure parte di essa, è stata dichiarata come non dissipativa pertanto la verifica a pressoflessione, per tutte o solo alcune sezioni, viene eseguita calcolando i momenti resistenti in campo sostanzialmente elastico secondo D.M. 17-01-2018 §7.4.1

Le dilatazioni ultime utilizzate sono le seguenti: $\epsilon_{c2} = 0.002$, $\epsilon_{yd} = 0.0019$

x	A sup.	C.b. sup.	A inf.	C.b. inf.	M+ela	Comb.	M+des	M+ult	x/d	M-ela	Comb.	M-des	M-ult	x/d	Verifica
0	0	0	0	0	0	SLD 9	164	0	0	0	2,19870344153605E-09	SLD 5	0	0	0
9	7.7	7.7	7.7	7.7	36	SLD 1	164	1166246	0.204	7093	34,3641357421875	SLD 13	0	1166245.757	-0,204390382735759
18	7.7	7.7	7.7	7.7	142	SLD 1	164	1166246	0.204	7093	136,08544921875	SLD 13	0	1166245.757	-0,204390382735759



x	A sup.	C.b. sup.	A inf.	C.b. inf.	M+ela	Comb.	M+des	M+ult	x/d	M-ela	Comb.	M-des	M-ult	x/d	Verifica
19	7.7	7.7	7.7	7.7	164	SLD 1	164	1166246	0.204	7093	157,243468374576	SLD 13	0	-	0,204390382735759
27	7.7	7.7	7.7	7.7	317	SLD 1	307	1166246	0.204	3794				1166245.757	

Verifiche a taglio in famiglia SLU

x	A st	A sl	A sag	Vela	Comb.	Vdes	Vrd	Vrcd	Vrsd	Vult	cotgθ	Verifica
9	0.178	0	0	11	SLU 40	11	11337	65412	65412	65412	2.47	5807,33262565523
18	0.178	0	0	22	SLU 40	22	11337	65412	65412	65412	2.47	2948,82944871933
19	0.178	0	0	24	SLU 40	24	11337	65412	65412	65412	2.47	2748,39410458539
27	0.178	0	0	33	SLU 40	33	11337	65412	65412	65412	2.47	1996,95239786732

Verifiche a taglio in famiglia SLV

x	A st	A sl	A sag	Vela	Comb.	Vdes	Vrd	Vrcd	Vrsd	Vult	cotgθ	Verifica
9	0.178	0	0	8	SLV 1	8	11337	65412	65412	65412	2.47	7881,89890075364
18	0.178	0	0	16	SLV 1	16	11337	65412	65412	65412	2.47	4003,90621938049
19	0.178	0	0	18	SLV 1	18	11337	65412	65412	65412	2.47	3731,99580971647
27	0.178	0	0	24	SLV 1	24	11337	65412	65412	65412	2.47	2712,61311140271

Verifiche SLD Resistenza a taglio

x	A st	A sl	A sag	Vela	Comb.	Vdes	Vrd	Vrcd	Vrsd	Vult	cotgθ	Verifica
9	0.178	0	0	8	SLD 1	8	11337	65412	65412	65412	2.47	8078,23628973969
18	0.178	0	0	16	SLD 1	16	11337	65412	65412	65412	2.47	4102,68984573509
19	0.178	0	0	17	SLD 1	17	11337	65412	65412	65412	2.47	3823,93320907241
27	0.178	0	0	24	SLD 1	24	11337	65412	65412	65412	2.47	2778,87188584045

Verifiche delle tensioni in esercizio

x	Rara								Quasi permanente						Verifica
	Mela	Comb.	Mdes	σ c	σ c lim.	σ f.	σ f lim.	Mela	Comb.	Mdes	σ c	σ c lim.	σ FRP	σ FRP lim.	
0	0	1	0	0	149.4	0	3600	0	1	0	0	112.1			Si
9	35	1	161	0	149.4	0.1	3600	35	1	161	0	112.1			Si
18	139	1	161	0	149.4	0.1	3600	139	1	161	0	112.1			Si
19	161	1	161	0	149.4	0.1	3600	161	1	161	0	112.1			Si
27	310	1	7	0	149.4	0	3600	310	1	7	0	112.1			Si

Verifica di apertura delle fessure

La campata non presenta apertura delle fessure

Campata 2 tra i fili 2 - 3, sezione R 70x50, aste 6, 5, 4, 3

Verifiche a flessione in famiglia SLU

x	A sup.	C.b. sup.	A inf.	C.b. inf.	M+ela	Comb.	M+des	M+ult	x/d	M-ela	Comb.	M-des	M-ult	x/d	Verifica
0	7.7	7.7	7.7	7.7	441	SLU 40	10	1291541	0.14	++					
8	7.7	7.7	7.7	7.7							1009,74200314278	SLU 40	-8780	1291541.324	0,139985939014854
203	7.7	7.7	7.7	7.7							-21520,345703125	SLU 40	-23140	1291541.324	0,139985939014854
284	7.7	7.7	7.7	7.7							-23821,611328125	SLU 40	-24130	1291541.324	0,139985939014853
406	7.7	7.7	7.7	7.7							-23036,197265625	SLU 40	-23955	1291541.324	0,139985939014853
602	7.7	7.7	7.7	7.7							4655,29898033737	SLU 40	-12099	1291541.324	0,139985939014852
610	7.7	7.7	7.7	7.7							3237,47436523438	SLU 40	-3237	1291541.324	0,139985939014851

Verifiche a flessione in famiglia SLV (domini sostanzialmente elastici)

La struttura oppure parte di essa, è stata dichiarata come non dissipativa pertanto la verifica a pressoflessione, per tutte o solo alcune sezioni, viene eseguita calcolando i momenti resistenti in campo sostanzialmente elastico secondo D.M. 17-01-2018 §7.4.1 Le dilatazioni ultime utilizzate sono le seguenti: $\epsilon_{c2} = 0.002$, $\epsilon_{yd} = 0.0019$

x	A sup.	C.b. sup.	A inf.	C.b. inf.	M+ela	Comb.	M+des	M+ult	x/d	M-ela	Comb.	M-des	M-ult	x/d	Verifica
0	7.7	7.7	7.7	7.7	1667	SLV 13	1144	1166246	0.204	1020					
8	7.7	7.7	7.7	7.7	639	SLV 13	639	1166246	0.204	1825	1047,43237304688	SLV 13	-1047	1166245.757	0,204390382735759
203	7.7	7.7	7.7	7.7							2057,27224583739	SLV 13	-7413	1166245.757	0,204390382735759
284	7.7	7.7	7.7	7.7							15725,3388671875	SLV 13	-16596	1166245.757	0,204390382735757
305	7.7	7.7	7.7	7.7							-16904,259765625	SLV 13	-17095	1166245.757	0,204390382735757
406	7.7	7.7	7.7	7.7							-16754,201171875	SLV 13	-17091	1166245.757	0,204390382735756
602	7.7	7.7	7.7	7.7							5153,12147948818	SLV 13	-10079	1166245.757	0,204390382735754
610	7.7	7.7	7.7	7.7							4201,52978515625	SLV 13	-4202	1166245.757	0,204390382735754

Verifiche SLD Resistenza a flessione (domini sostanzialmente elastici)

La struttura oppure parte di essa, è stata dichiarata come non dissipativa pertanto la verifica a pressoflessione, per tutte o solo alcune sezioni, viene eseguita calcolando i momenti resistenti in campo sostanzialmente elastico secondo D.M. 17-01-2018 §7.4.1 Le dilatazioni ultime utilizzate sono le seguenti: $\epsilon_{c2} = 0.002$, $\epsilon_{yd} = 0.0019$

x	A sup.	C.b. sup.	A inf.	C.b. inf.	M+ela	Comb.	M+des	M+ult	x/d	M-ela	Comb.	M-des	M-ult	x/d	Verifica
0	7.7	7.7	7.7	7.7	946	SLD 13	424	1166246	0.204	2750					
8	7.7	7.7	7.7	7.7							325,679748535156	SLD 13	-307	1166245.757	0,204390382735759



x	A sup.	C.b. sup.	A inf.	C.b. inf.	M+ela	Comb.	M+des	M+ult	x/d	M-ela	Comb.	M-des	M-ult	x/d	Verifica
8	7.7	7.7	7.7	7.7							-	SLD 1	-6750	-	0,204390382735759
203	7.7	7.7	7.7	7.7							1340,44439421881	SLD 1	-16405	1166245.757	0,204390382735757
305	7.7	7.7	7.7	7.7							-15395,0703125	SLD 1	-16983	1166245.757	0,204390382735757
406	7.7	7.7	7.7	7.7							-16881,845703125	SLD 1	-16933	1166245.757	0,204390382735756
602	7.7	7.7	7.7	7.7							-	SLD 13	-9214	1166245.757	0,204390382735754
610	7.7	7.7	7.7	7.7							4129,62503084303	SLD 13	-3155	1166245.757	0,204390382735754
											-	SLD 13	-	-	0,204390382735754
											3155,15185546875	SLD 13	-	1166245.757	0,204390382735754

Verifiche a taglio in famiglia SLU

x	A st	A sl	A sag	Vela	Comb.	Vdes	Vrd	Vrcd	Vrsd	Vult	cotgθ	Verifica
0	0.178	7.7	0	-198	SLU 40	-198	-11337	-65412	-65412	-65412	2.47	329,914828075266
8	0.108	7.7	0	-190	SLU 40	-190	-11337	-64831	-40312	-40312	2.5	212,639911162384
203	0.108	7.7	0	-44	SLU 40	-44	-11337	-64831	-40312	-40312	2.5	918,835546193583
406	0.108	7.7	0	29	SLU 40	29	11337	64831	40312	40312	2.5	1367,89018150176
602	0.108	7.7	0	185	SLU 40	185	11337	64831	40312	40312	2.5	218,051985823029
610	0.115	7.7	0	194	SLU 40	194	11337	64831	42805	42805	2.5	220,278199687604

Verifiche a taglio in famiglia SLV

x	A st	A sl	A sag	Vela	Comb.	Vdes	Vrd	Vrcd	Vrsd	Vult	cotgθ	Verifica
0	0.178	7.7	0	-140	SLV 13	-140	-11337	-65412	-65412	-65412	2.47	465,977729392267
8	0.108	7.7	0	-135	SLV 13	-135	-11337	-64831	-40312	-40312	2.5	299,631547350475
203	0.108	7.7	0	-36	SLV 13	-36	-11337	-64831	-40312	-40312	2.5	1121,47274857293
406	0.108	7.7	0	28	SLV 1	28	11337	64831	40312	40312	2.5	1462,24438223278
602	0.108	7.7	0	136	SLV 1	136	11337	64831	40312	40312	2.5	297,485037401565
610	0.115	7.7	0	142	SLV 1	142	11337	64831	42805	42805	2.5	301,538118273532

Verifiche SLD Resistenza a taglio

x	A st	A sl	A sag	Vela	Comb.	Vdes	Vrd	Vrcd	Vrsd	Vult	cotgθ	Verifica
0	0.178	7.7	0	-140	SLD 13	-140	-11337	-65412	-65412	-65412	2.47	467,894183321504
8	0.108	7.7	0	-134	SLD 13	-134	-11337	-64831	-40312	-40312	2.5	301,245756358493
203	0.108	7.7	0	-33	SLD 13	-33	-11337	-64831	-40312	-40312	2.5	1215,84805147592
406	0.108	7.7	0	24	SLD 1	24	11337	64831	40312	40312	2.5	1681,03235996068
602	0.108	7.7	0	132	SLD 1	132	11337	64831	40312	40312	2.5	304,428400664264
610	0.115	7.7	0	139	SLD 1	139	11337	64831	42805	42805	2.5	308,047875144131

Verifiche delle tensioni in esercizio

x	Rara							Quasi permanente							Verifica
	Mela	Comb.	Mdes	σ c	σ c lim.	σ f.	σ f lim.	Mela	Comb.	Mdes	σ c	σ c lim.	σ FRP	σ FRP lim.	
0	310	1	7	0	149.4	0	3600	310	1	7	0	112.1			si
8	-709	1	-6167	0.2	149.4	2.9	3600	-709	1	-6167	0.2	112.1			si
203	-15104	1	-16236	0.5	149.4	7.6	3600	-15104	1	-16236	0.5	112.1			si
406	-16142	1	-16793	0.5	149.4	7.9	3600	-16142	1	-16793	0.5	112.1			si
602	-3228	1	-8452	0.3	149.4	4	3600	-3228	1	-8452	0.3	112.1			si
610	-2234	1	-2234	0.1	149.4	1	3600	-2234	1	-2234	0.1	112.1			si

Verifica di apertura delle fessure

La campata non presenta apertura delle fessure

Campata 3 tra i fili 3 - 4, sezione R 70x50, asta 2

Verifiche a flessione in famiglia SLU

x	A sup.	C.b. sup.	A inf.	C.b. inf.	M+ela	Comb.	M+des	M+ult	x/d	M-ela	Comb.	M-des	M-ult	x/d	Verifica
0	7.7	7.7	7.7	7.7							-	SLU 40	-3237	-	0,139985939014852
8	7.7	7.7	7.7	7.7							3237,47436523438	SLU 40	-3744	1291541.324	0,139985939014851
34	7.7	7.7	7.7	7.7							3475,08387123666	SLU 40	-3744	1291541.324	0,139985939014851
58	7.7	7.7	7.7	7.7	-1820	SLU 1	87	1291541	0.14	14822	3708,77075195313	SLU 40	-3744	1291541.324	0,139985939014851
68	7.7	7.7	7.7	7.7	-1485	SLU 1	87	1291541	0.14	14822	-3037,0625	SLU 40	-3744	1291541.324	0,139985939014851
98	7.7	7.7	7.7	7.7	87	SLU 40	87	1291541	0.14	14822	2475,62939453125	SLU 40	-3744	1291541.324	0,139985939014851
103	7.7	7.7	7.7	7.7	673	SLU 40	459	1291541	0.14	2814	56,2224446738638	SLU 1	-3363	1291541.324	0,139985939014851

Verifiche a flessione in famiglia SLV (domini sostanzialmente elastici)

La struttura oppure parte di essa, è stata dichiarata come non dissipativa pertanto la verifica a pressoflessione, per tutte o solo alcune sezioni, viene eseguita calcolando i momenti resistenti in campo sostanzialmente elastico secondo D.M. 17-01-2018 §7.4.1 Le dilatazioni ultime utilizzate sono le seguenti: $\epsilon_{c2} = 0.002$, $\epsilon_{yd} = 0.0019$

x	A sup.	C.b. sup.	A inf.	C.b. inf.	M+ela	Comb.	M+des	M+ult	x/d	M-ela	Comb.	M-des	M-ult	x/d	Verifica
0	7.7	7.7	7.7	7.7							-2829,404296875	SLV 13	-2829	1166245.757	0,204390382735754
8	7.7	7.7	7.7	7.7							-	SLV 13	-3348	1166245.757	0,204390382735754
34	7.7	7.7	7.7	7.7							3039,72928377477	SLV 13	-3348	1166245.757	0,204390382735754
68	7.7	7.7	7.7	7.7	-812	SLV 1	1049	1166246	0.204	1112	3347,05981445313	SLV 13	-3348	1166245.757	0,204390382735754
											2632,05151367188	SLV 13	-3348	1166245.757	0,204390382735754



x	A sup.	C.b. sup.	A inf.	C.b. inf.	M+ela	Comb.	M+des	M+ult	x/d	M-ela	Comb.	M-des	M-ult	x/d	Verifica
98	7.7	7.7	7.7	7.7	1049	SLV 1	1049	1166246	0.204	1112	-	SLV 13	-3179	-	0,204390382735754
103	7.7	7.7	7.7	7.7	1466	SLV 1	1251	1166246	0.204	932	924,262725085747	SLV 13	-165	1166245.757	0,204390382735754
											524,534790039063	SLV 13		1166245.757	

Verifiche SLD Resistenza a flessione (domini sostanzialmente elastici)

La struttura oppure parte di essa, è stata dichiarata come non dissipativa pertanto la verifica a pressoflessione, per tutte o solo alcune sezioni, viene eseguita calcolando i momenti resistenti in campo sostanzialmente elastico secondo D.M. 17-01-2018 §7.4.1 Le dilatazioni ultime utilizzate sono le seguenti: $\epsilon_{c2} = 0.002$, $\epsilon_{yd} = 0.0019$

x	A sup.	C.b. sup.	A inf.	C.b. inf.	M+ela	Comb.	M+des	M+ult	x/d	M-ela	Comb.	M-des	M-ult	x/d	Verifica
0	7.7	7.7	7.7	7.7							-	SLD 13	-2513	-	0,204390382735754
8	7.7	7.7	7.7	7.7							2512,59716796875	SLD 13	-2946	1166245.757	0,204390382735754
34	7.7	7.7	7.7	7.7							-2700,8052055545	SLD 13	-2946	1166245.757	0,204390382735754
68	7.7	7.7	7.7	7.7	-1296	SLD 1	524	1166246	0.204	2224	-2936,197265625	SLD 13	-2946	1166245.757	0,204390382735754
98	7.7	7.7	7.7	7.7	524	SLD 1	524	1166246	0.204	2224	-	SLD 13	-2946	1166245.757	0,204390382735754
103	7.7	7.7	7.7	7.7	937	SLD 1	724	1166246	0.204	1611	2148,16748046875	SLD 13	-2731	1166245.757	0,204390382735754
											399,682495117188	SLD 13			

Verifiche a taglio in famiglia SLU

x	A st	A sl	A sag	Vela	Comb.	Vdes	Vrd	Vrcd	Vrsd	Vult	cotgθ	Verifica
0	0.115	7.7	0	-37	SLU 40	-37	-11337	-64831	-42805	-42805	2.5	1166,27399788316
8	0.115	7.7	0	-27	SLU 40	-27	-11337	-64831	-42805	-42805	2.5	1588,8697093828
34	0.115	7.7	0	10	SLU 40	10	11337	64831	42805	42805	2.5	4229,92096231566
68	0.115	7.7	0	63	SLU 40	63	11337	64831	42805	42805	2.5	678,525600429618
98	0.115	7.7	0	113	SLU 40	113	11337	64831	42805	42805	2.5	378,060356738965
99	0.115	7.7	0	116	SLU 40	116	11337	64831	42805	42805	2.5	368,798069350855
103	0.178	7.7	0	122	SLU 40	122	11337	65412	65412	65412	2.47	535,002076195279

Verifiche a taglio in famiglia SLV

x	A st	A sl	A sag	Vela	Comb.	Vdes	Vrd	Vrcd	Vrsd	Vult	cotgθ	Verifica
0	0.115	7.7	0	-32	SLV 13	-32	-11337	-64831	-42805	-42805	2.5	1352,23155879895
8	0.115	7.7	0	-25	SLV 13	-25	-11337	-64831	-42805	-42805	2.5	1737,78212905306
34	0.115	7.7	0	11	SLV 1	11	11337	64831	42805	42805	2.5	3746,60736856831
68	0.115	7.7	0	47	SLV 1	47	11337	64831	42805	42805	2.5	907,657986397217
98	0.115	7.7	0	81	SLV 1	81	11337	64831	42805	42805	2.5	529,756522445308
99	0.115	7.7	0	83	SLV 1	83	11337	64831	42805	42805	2.5	517,564046859807
103	0.178	7.7	0	87	SLV 1	87	11337	65412	65412	65412	2.47	753,144987638676

Verifiche SLD Resistenza a taglio

x	A st	A sl	A sag	Vela	Comb.	Vdes	Vrd	Vrcd	Vrsd	Vult	cotgθ	Verifica
0	0.115	7.7	0	-29	SLD 13	-29	-11337	-64831	-42805	-42805	2.5	1493,79350234547
8	0.115	7.7	0	-22	SLD 13	-22	-11337	-64831	-42805	-42805	2.5	1969,68451677189
34	0.115	7.7	0	9	SLD 1	9	11337	64831	42805	42805	2.5	4783,30154178354
68	0.115	7.7	0	45	SLD 1	45	11337	64831	42805	42805	2.5	942,978301431263
98	0.115	7.7	0	80	SLD 1	80	11337	64831	42805	42805	2.5	536,406849701517
99	0.115	7.7	0	82	SLD 1	82	11337	64831	42805	42805	2.5	523,617466506145
103	0.178	7.7	0	86	SLD 1	86	11337	65412	65412	65412	2.47	760,637015950376

Verifiche delle tensioni in esercizio

x	Rara								Quasi permanente						Verifica
	Mela	Comb.	Mdes	σ c	σ c lim.	σ f.	σ f lim.	Mela	Comb.	Mdes	σ c	σ c lim.	σ FRP	σ FRP lim.	
0	-2234	1	-2234	0.1	149.4	1	3600	-2234	1	-2234	0.1	112.1			si
8	-2402	1	-2597	0.1	149.4	1.2	3600	-2402	1	-2597	0.1	112.1			si
34	-2574	1	-2597	0.1	149.4	1.2	3600	-2574	1	-2597	0.1	112.1			si
68	-1722	1	-2597	0.1	149.4	1.2	3600	-1722	1	-2597	0.1	112.1			si
98	62	1	62	0	149.4	0	3600	62	1	62	0	112.1			si
103	471	1	321	0	149.4	0.2	3600	471	1	321	0	112.1			si

Verifica di apertura delle fessure

La campata non presenta apertura delle fessure

Campata 4 tra i fili 4 - 4, sezione R 70x50, asta 1

Verifiche a flessione in famiglia SLU

x	A sup.	C.b. sup.	A inf.	C.b. inf.	M+ela	Comb.	M+des	M+ult	x/d	M-ela	Comb.	M-des	M-ult	x/d	Verifica
0	7.7	7.7	7.7	7.7	673	SLU 40	459	1291541	0.14	2814	-				0,139985939014851
5	7.7	7.7	7.7	7.7	445	SLU 40	445	1291541	0.14	2900	271,086569156287	SLU 1	0	1291541.324	0,139985939014851
9	7.7	7.7	7.7	7.7	302	SLU 40	445	1291541	0.14	2900	183,610778808594	SLU 1	0	1291541.324	0,139985939014851
18	7.7	7.7	7.7	7.7	76	SLU 40	445	1291541	0.14	2900	46,2709312438965	SLU 1	0	1291541.324	0,139985939014851
20	0	0	0	0	37	SLU 40	445	0	0	0	22,7266979217529	SLU 1	0	0	0
27	0	0	0	0	0	SLU 14	445	0	0	0	2,56113708019257E-09	SLU 1	0	0	0

Verifiche a flessione in famiglia SLV (domini sostanzialmente elastici)

La struttura oppure parte di essa, è stata dichiarata come non dissipativa pertanto la verifica a pressoflessione, per tutte o solo alcune sezioni, viene eseguita calcolando i momenti resistenti in campo sostanzialmente elastico secondo D.M. 17-01-2018 §7.4.1



Le dilatazioni ultime utilizzate sono le seguenti: $\epsilon_{c2} = 0.002$, $\epsilon_{yd} = 0.0019$

x	A sup.	C.b. sup.	A inf.	C.b. inf.	M+ela	Comb.	M+des	M+ult	x/d	M-ela	Comb.	M-des	M-ult	x/d	Verifica
0	7.7	7.7	7.7	7.7	493	SLV 13	389	1166246	0.204	3002					
5	7.7	7.7	7.7	7.7	326	SLV 13	326	1166246	0.204	3577	296,953931700509	SLV 1	0	1166245.757	0,204390382735754
9	7.7	7.7	7.7	7.7	221	SLV 13	326	1166246	0.204	3577	201,098129272461	SLV 1	0	1166245.757	0,204390382735754
18	7.7	7.7	7.7	7.7	56	SLV 13	326	1166246	0.204	3577	50,658992767334	SLV 1	0	1166245.757	0,204390382735754
20	0	0	0	0	27	SLV 13	326	0	0	0	24,8792266845703	SLV 1	0	0	0
27	0	0	0	0	0	SLV 5	326	0	0	0	-	SLV 1	0	0	0
											1,10594555735588E-09				

Verifiche SLD Resistenza a flessione (domini sostanzialmente elastici)

La struttura oppure parte di essa, è stata dichiarata come non dissipativa pertanto la verifica a pressoflessione, per tutte o solo alcune sezioni, viene eseguita calcolando i momenti resistenti in campo sostanzialmente elastico secondo D.M. 17-01-2018 §7.4.1
Le dilatazioni ultime utilizzate sono le seguenti: $\epsilon_{c2} = 0.002$, $\epsilon_{yd} = 0.0019$

x	A sup.	C.b. sup.	A inf.	C.b. inf.	M+ela	Comb.	M+des	M+ult	x/d	M-ela	Comb.	M-des	M-ult	x/d	Verifica
0	7.7	7.7	7.7	7.7	481	SLD 13	392	1166246	0.204	2979					
5	7.7	7.7	7.7	7.7	318	SLD 13	318	1166246	0.204	3664	304,682172091502	SLD 1	0	1166245.757	0,204390382735754
9	7.7	7.7	7.7	7.7	216	SLD 13	318	1166246	0.204	3664	206,351913452148	SLD 1	0	1166245.757	0,204390382735754
18	7.7	7.7	7.7	7.7	54	SLD 13	318	1166246	0.204	3664	51,9940185546875	SLD 1	0	1166245.757	0,204390382735754
20	0	0	0	0	27	SLD 13	318	0	0	0	25,536548614502	SLD 1	0	0	0
27	0	0	0	0	0	SLD 1	318	0	0	0	-	SLD 9	0	0	0
											3,60887497663498E-09				

Verifiche a taglio in famiglia SLU

x	A st	A sl	A sag	Vela	Comb.	Vdes	Vrd	Vrcd	Vrsd	Vult	cotgθ	Verifica
0	0.178	0	0	-50	SLU 40	-50	-11337	-65412	-65412	-65412	2.47	1303,38486269671
5	0.178	0	0	-41	SLU 40	-41	-11337	-65412	-65412	-65412	2.47	1595,31733128257
9	0.178	0	0	-34	SLU 40	-34	-11337	-65412	-65412	-65412	2.47	1931,13561770853
18	0.178	0	0	-17	SLU 40	-17	-11337	-65412	-65412	-65412	2.47	3815,5571986359

Verifiche a taglio in famiglia SLV

x	A st	A sl	A sag	Vela	Comb.	Vdes	Vrd	Vrcd	Vrsd	Vult	cotgθ	Verifica
0	0.178	0	0	-37	SLV 13	-37	-11337	-65412	-65412	-65412	2.47	1781,71039572482
5	0.178	0	0	-30	SLV 13	-30	-11337	-65412	-65412	-65412	2.47	2180,10254857828
9	0.178	0	0	-25	SLV 13	-25	-11337	-65412	-65412	-65412	2.47	2638,3985999552
18	0.178	0	0	-13	SLV 13	-13	-11337	-65412	-65412	-65412	2.47	5210,20248392025

Verifiche SLD Resistenza a taglio

x	A st	A sl	A sag	Vela	Comb.	Vdes	Vrd	Vrcd	Vrsd	Vult	cotgθ	Verifica
0	0.178	0	0	-36	SLD 13	-36	-11337	-65412	-65412	-65412	2.47	1824,21686247163
5	0.178	0	0	-29	SLD 13	-29	-11337	-65412	-65412	-65412	2.47	2232,49639852356
9	0.178	0	0	-24	SLD 13	-24	-11337	-65412	-65412	-65412	2.47	2702,15878172245
18	0.178	0	0	-12	SLD 13	-12	-11337	-65412	-65412	-65412	2.47	5337,68434490135

Verifiche delle tensioni in esercizio

x	Rara								Quasi permanente						Verifica
	Mela	Comb.	Mdes	σ c	σ c lim.	σ f.	σ f lim.	Mela	Comb.	Mdes	σ c	σ c lim.	σ FRP	σ FRP lim.	
0	471	1	321	0	149.4	0.2	3600	471	1	321	0	112.1			Si
5	311	1	311	0	149.4	0.1	3600	311	1	311	0	112.1			Si
9	211	1	311	0	149.4	0.1	3600	211	1	311	0	112.1			Si
18	53	1	311	0	149.4	0.1	3600	53	1	311	0	112.1			Si
27	0	1	0	0	149.4	0	3600	0	1	0	0	112.1			Si

Verifica di apertura delle fessure

La campata non presenta apertura delle fessure

Verifiche geotecniche

Verifiche geotecniche di capacità portante sul piano di posa

Aste		Size X	Size Y	Comb	Type	Cond	yR	Rd	Ed	Rd/Ed	Verifica
7,6,5,4,3,2,1		765	70	SLU 10	ST	LT	2.3	18894	7083	2.67	Si
7,6,5,4,3,2,1		765	70	SLV 9	SIS	LT	2.3	81847	7139	11.47	Si
7,6,5,4,3,2,1		765	70	SLD 9	SIS	LT	2.3	83682	7139	11.72	Si

Verifiche geotecniche di capacità portante - parametri utilizzati nel calcolo di Rd

Fx	Fy	Fz	Mx	My	Inc.x	Inc.y	Ecc.x	Ecc.y	B'	L'	qd	ys	Fi	Coes	Amax
0	725	-7083	-155774	22558	0	6	3	-22	26	759	0.1	0.002	30	0	
0	-13	-7139	8633	27534	0	0	4	1	68	757	0.1	0.002	30	0	0.02
0	-6	-7139	6276	26827	0	0	4	1	68	757	0.1	0.002	30	0	0.01

Verifiche geotecniche di capacità portante - fattori utilizzati nel calcolo di Rd

N			S			D			I			B			G			P			E		
Nq	Nc	Ng	Sq	Sc	Sg	Dq	Dc	Dg	Iq	lc	Ig	Bq	Bc	Bg	Gq	Gc	Gg	Pq	Pc	Pg	Eq	Ec	Eg
18	30	22	1.02	1.02	0.99	1.21	1.29	1	0.81	0.8	0.73	1	1	1	1	1	1	1	1	1	1	1	1
18	30	22	1.05	1.05	0.96	1.21	1.29	1	1	1	0.99	1	1	1	1	1	1	1	1	1	0.99	0.99	0.99
18	30	22	1.05	1.06	0.96	1.21	1.29	1	1	1	1	1	1	1	1	1	1	1	1	1	1	0.99	0.99



Verifiche geotecniche - Cedimenti assoluti e differenziali

Tipo	Assoluto				Differenziale					Relativo				Rapp. inflessione			Verifica
	Sa adm	Sa	Nodo	Comb.	Sd adm	Sd	Nodo I	Nodo j	Comb.	Sr adm	Sr	Nodo	Comb.	Rl adm	RI	Comb.	
E	5	0.2	7	SLE RA 1	5	0.1	7	9	SLE RA 1	5	0.1	7	SLE RA 1	0.0033	0	SLE RA 1	Si
D	5	0.3	7	SLE RA 1	5	0.1	7	9	SLE RA 1	5	0.1	7	SLE RA 1	0.0033	0	SLE RA 1	Si
Z	5	0	9	SLE RA 1	5	0	9	9	SLE RA 1	5	0	8	SLE RA 1	0.0033	0	SLE RA 1	Si

Verifiche geotecniche - Rotazioni assolute e differenziali

Tipo	Rotazione rigida			Rotazione assoluta				Distorsione angolare positiva				Distorsione angolare negativa				Verifica	
	RR adm	RR	Comb.	R Adm	R Max	Nodo I	Nodo J	Comb.	D+ adm	D+	Nodo	Comb.	D- adm	D-	Nodo		Comb.
E	0.19	0	SLE RA 1	0.19	0.08	3	2	SLE RA 1	0.19	0.08	3	SLE RA 1	0.1	0	9	SLE RA 1	Si
D	0.19	0	SLE RA 1	0.19	0.13	3	2	SLE RA 1	0.19	0.13	3	SLE RA 1	0.1	0	9	SLE RA 1	Si
Z	0.19	0	SLE RA 1	0.19	0	9	8	SLE RA 1	0.19	0	9	SLE RA 1	0.1	0	8	SLE RA 1	Si



VERIFICHE SUPERELEMENTI ASTE ACCIAIO LAMINATE

Le unità di misura elencate nel capitolo sono in [cm, daN, deg] ove non espressamente specificato.

Sezione: sezione in acciaio.

Rotazione: rotazione della sezione. [deg]

Area: area inerziale nel sistema geometrico centrato nel baricentro. [cm²]

Jx: momento d'inerzia attorno all'asse orizzontale baricentrico di definizione della sezione. [cm⁴]

Jy: momento d'inerzia attorno all'asse verticale baricentrico di definizione della sezione. [cm⁴]

ix: raggio di inerzia relativo all'asse x. [cm]

iy: raggio di inerzia relativo all'asse y. [cm]

Wx: modulo di resistenza elastico minimo relativo all'asse x. [cm³]

Wy: modulo di resistenza elastico minimo relativo all'asse y. [cm³]

Wplx: modulo di resistenza plastico relativo all'asse x. [cm³]

Wply: modulo di resistenza plastico relativo all'asse y. [cm³]

X: distanza dal nodo iniziale. [cm]

Comb.: combinazione di verifica.

Sfruttamento: rapporto di sfruttamento per la verifica in esame, inverso del coefficiente di sicurezza. Verificato se minore o uguale di 1.

Classe: classe della sezione.

NEd: sollecitazione assiale. [daN]

Nc,Rd: resistenza assiale a compressione ridotta per taglio. [daN]

Nt,Rd: resistenza assiale a trazione ridotta per taglio. [daN]

Riduzione da taglio: rapporto tra la resistenza assiale ridotta per taglio e la resistenza assiale.

px: coefficiente di riduzione della resistenza di snervamento per taglio in direzione x.

py: coefficiente di riduzione della resistenza di snervamento per taglio in direzione y.

Verifica: stato di verifica.

VEd: sollecitazione di taglio. [daN]

Vc,Rd: resistenza a taglio. [daN]

Av: area resistenza a taglio. [cm²]

Interazione taglio-torsione: indica se è possibile ridurre il taglio resistente per presenza di torsione.

Riduzione torsione: coefficiente riduttivo della resistenza a taglio per presenza di torsione.

Mx,Ed: sollecitazione flettente attorno x-x. [daN*cm]

Mx,Rd: resistenza a flessione attorno x-x ridotta per taglio. [daN*cm]

Rid. Mx,Rd da VEd: rapporto tra la resistenza flettente ridotta per taglio e la resistenza flettente attorno x-x.

My,Ed: sollecitazione flettente attorno y-y. [daN*cm]

My,Rd: resistenza a flessione attorno y-y ridotta per taglio. [daN*cm]

Rid. My,Rd da VEd: rapporto tra la resistenza flettente ridotta per taglio e la resistenza flettente attorno y-y.

α: esponente α per flessione deviata.

β: esponente β per flessione deviata.

NRd: resistenza assiale ridotta per taglio. [daN]

Rid. NRd da VEd: rapporto tra la resistenza assiale ridotta per taglio e la resistenza assiale.

Mx,Rd: resistenza a flessione attorno x-x ridotta. [daN*cm]

Rid. Mx,Rd da NEd: rapporto tra la resistenza flettente ridotta per sforzo normale e taglio e la resistenza flettente ridotta per taglio attorno x-x.

My,Rd: resistenza a flessione attorno y-y ridotta. [daN*cm]

Rid. My,Rd da NEd: rapporto tra la resistenza flettente ridotta per sforzo normale e taglio e la resistenza flettente ridotta per taglio attorno y-y.

Numero rit.: numero del ritegno.

Presente: indica se il ritegno è presente o meno.

Ascissa: ascissa del ritegno rispetto al nodo iniziale del superelemento o ascissa iniziale e finale della campata. [cm]

Campata: campata tra i ritegni.

βx/m: coefficiente di lunghezza efficace per rotazione attorno a x/m.

Vincolo a entrambi estremi: indica se il tratto è vincolato a entrambi gli estremi.



$\lambda_{x/m}$: snellezza attorno a x/m del tratto tra i due ritegni.
 λ_{Ver} : snellezza accettabile.
 $\theta_{y/n}$: coefficiente di lunghezza efficace per rotazione attorno a y/n .
 $k_{,LT}$: coefficiente di lunghezza efficace per rotazione nel calcolo del momento critico ENV1993-1-1 F 1.2(3).
 $k_{w,LT}$: coefficiente di lunghezza efficace per ingobbamento nel calcolo del momento critico ENV1993-1-1 F 1.2(4).
 $\lambda_{y/n}$: snellezza attorno a y/n del tratto tra i due ritegni.
Obblig.: indica se la verifica è obbligatoria da norma.
Nb,Rd: resistenza a instabilità della membratura compressa. [daN]
 $\chi_{,min}$: coefficiente di riduzione minimo.
l0 x/m: lunghezza libera di inflessione per inflessione attorno l'asse x-x / m-m. [cm]
l0 y/n: lunghezza libera di inflessione per inflessione attorno l'asse y-y / n-n. [cm]
 λ adim. x/m: snellezza adimensionale per inflessione attorno l'asse x-x / m-m.
 λ adim. y/n: snellezza adimensionale per inflessione attorno l'asse y-y / n-n.
N,crit x/m: carico critico per inflessione attorno all'asse x-x / m-m. [daN]
N,crit y/n: carico critico per inflessione attorno all'asse y-y / n-n. [daN]
Mb,Rd,x: momento resistente di progetto per l'instabilità per sollecitazione flettente attorno l'asse x-x. [daN*cm]
 $\chi_{,LT}$: coefficiente di riduzione per instabilità flesso-torsionale.
 λ adim. LT: snellezza adimensionale per instabilità flesso-torsionale.
L,LT: distanza tra due ritegni torsionali. [cm]
M,critico: momento critico. [daN*cm]
NRk: resistenza caratteristica assiale. [daN]
Mx,Ed max: momento sollecitante massimo attorno l'asse x-x tra due ritegni all'inflessione attorno x-x. [daN*cm]
Mx,Rk: resistenza caratteristica a flessione attorno l'asse x-x. [daN*cm]
My,Ed max: momento sollecitante massimo attorno l'asse y-y tra due ritegni all'inflessione attorno y-y. [daN*cm]
My,Rk: resistenza caratteristica a flessione attorno l'asse y-y. [daN*cm]
 $\chi_{,x}$: coefficiente di riduzione per inflessione attorno l'asse x-x.
 $\chi_{,y}$: coefficiente di riduzione per inflessione attorno l'asse y-y.
kxx: valore di kxx.
kxy: valore di kxy.
kyx: valore di kyx.
kyy: valore di kyy.
 η : valore di η .
hw: altezza dell'anima. [cm]
tw: spessore dell'anima. [cm]
hw/tw max: rapporto tra hw e tw massimo.



Superelemento in acciaio "infissione montante"- "Testa montate" filo 2

Caratteristiche del materiale

Acciaio: S235, fyk = 2350

Caratteristiche geometriche

Lunghezza: 280

Nodo iniziale: 3 Nodo finale: 10

Cerniera iniziale: No Cerniera finale: No

Sovraresistenza: 0% Sisma Z: No

Caratteristiche della sezione

Sezione	Rotazione	Area	Jx	Jy	ix	iy	Wx	Wy	Wplx	Wply
EN10219 150x150x5	0	28.36	982.12	982.12	5.89	5.89	130.95	130.95	152.98	152.98

Verifiche di resistenza

Verifiche a forza assiale §4.2.4.1.2.1 - §4.2.4.1.2.2 NTC18

X	Comb.	Sfruttamento	Classe	NEd	Nc,Rd	Nt,Rd	Riduzione da taglio	px	py	Verifica
0	SLU 52	0.004	1	-231	63463.9		1	0	0	Si

Verifiche a forza assiale SLD §4.2.4.1.2.1 - §4.2.4.1.2.2 NTC18

X	Comb.	Sfruttamento	Classe	NEd	Nc,Rd	Nt,Rd	Riduzione da taglio	px	py	Verifica
0	SLD 1	0.003	1	-162.3	63463.9		1	0	0	Si

Verifica a taglio Y §4.2.4.1.2.4 NTC18

X	Comb.	Sfruttamento	VEd	Vc,Rd	Av	Interazione taglio-torsione	Riduzione torsione	Verifica
37.3	SLU 38	0.013	241.5	18320.4	14.18	Considerata	1	Si

Verifica a flessione semplice X §§ 4.2.4.1.2.3 - 4.2.4.1.2.6 - 4.2.4.1.2.7 - 4.2.4.1.2.8 NTC18

X	Comb.	Sfruttamento	Classe	Mx,Ed	Mx,Rd	Rid. Mx,Rd da VEd	px	py	Verifica
233.3	SLU 51	0.003	1	-1143.3	342388.1	1	0	0	Si

Verifica a flessione semplice Y §§ 4.2.4.1.2.3 - 4.2.4.1.2.6 - 4.2.4.1.2.7 - 4.2.4.1.2.8 NTC18

X	Comb.	Sfruttamento	Classe	My,Ed	My,Rd	Rid. My,Rd da VEd	px	py	Verifica
233.3	SLV 1	0.001	1	-228.7	342388.1	1	0	0	Si

Verifica a presso/tenso flessione retta X §§ 4.2.4.1.2.3 - 4.2.4.1.2.6 - 4.2.4.1.2.7 - 4.2.4.1.2.8 NTC18

Verifiche eseguite utilizzando la formula conservativa (6.2) §6.2.1 EN 1993-1-1:2005.

X	Comb.	Sfruttamento	Classe	NEd	NRd	Rid. NRd da VEd	Mx,Ed	Mx,Rd	Rid. Mx,Rd da VEd	Rid. Mx,Rd da NEd	px	py	Verifica
0	SLU 49	0.12	1	-231	63463.9	1	-39848	342388	1		0	0	Si

Verifica a presso/tenso flessione retta X SLD §§ 4.2.4.1.2.3 - 4.2.4.1.2.6 - 4.2.4.1.2.7 - 4.2.4.1.2.8 NTC18

Verifiche eseguite utilizzando la formula conservativa (6.2) §6.2.1 EN 1993-1-1:2005.

X	Comb.	Sfruttamento	Classe	NEd	NRd	Rid. NRd da VEd	Mx,Ed	Mx,Rd	Rid. Mx,Rd da VEd	Rid. Mx,Rd da NEd	px	py	Verifica
93.3	SLD 10	0.004	1	-91.6	63463.9	1	878	342388	1		0	0	Si

Verifica a presso/tenso flessione retta Y §§ 4.2.4.1.2.3 - 4.2.4.1.2.6 - 4.2.4.1.2.7 - 4.2.4.1.2.8 NTC18

Verifiche eseguite utilizzando la formula conservativa (6.2) §6.2.1 EN 1993-1-1:2005.

X	Comb.	Sfruttamento	Classe	NEd	NRd	Rid. NRd da VEd	My,Ed	My,Rd	Rid. My,Rd da VEd	Rid. My,Rd da NEd	px	py	Verifica
56	SLV 3	0.005	1	-99.9	63463.9	1	-1098	342388	1		0	0	Si

Verifica a presso/tenso flessione retta Y SLD §§ 4.2.4.1.2.3 - 4.2.4.1.2.6 - 4.2.4.1.2.7 - 4.2.4.1.2.8 NTC18

Verifiche eseguite utilizzando la formula conservativa (6.2) §6.2.1 EN 1993-1-1:2005.

X	Comb.	Sfruttamento	Classe	NEd	NRd	Rid. NRd da VEd	My,Ed	My,Rd	Rid. My,Rd da VEd	Rid. My,Rd da NEd	px	py	Verifica
56	SLD 7	0.002	1	-99.9	63463.9	1	-154	342388	1		0	0	Si

Verifica a presso/tenso flessione deviata §§ 4.2.4.1.2.3 - 4.2.4.1.2.6 - 4.2.4.1.2.7 - 4.2.4.1.2.8 NTC18

Verifiche eseguite utilizzando la formula conservativa (6.2) §6.2.1 EN 1993-1-1:2005.

X	Comb.	Sfruttamento	Classe	NEd	NRd	Rid. NRd da VEd	Mx,Ed	Mx,Rd	My,Ed	My,Rd	Rid. Mx,Rd da VEd	Rid. Mx,Rd da NEd	Rid. My,Rd da VEd	Rid. My,Rd da NEd	α	β	px	py	Verifica
0	SLV 1	0.01	1	-162.3	63463.9	1	1312	342388	-1372	342388	1		1				0	0	Si



Verifica a presso/tenso flessione deviata SLD §§ 4.2.4.1.2.3 - 4.2.4.1.2.6 - 4.2.4.1.2.7 - 4.2.4.1.2.8 NTC18

Verifiche eseguite utilizzando la formula conservativa (6.2) §6.2.1 EN 1993-1-1:2005.

X	Comb.	Sfruttamento	Classe	NEd	NRd	Rid. NRd da VEd	Mx,Ed	Mx,Rd	My,Ed	My,Rd	Rid. Mx,Rd da VEd	Rid. Mx,Rd da NEd	Rid. My,Rd da VEd	Rid. My,Rd da NEd	α	β	px	py	Verifica
0	SLD 1	0.008	1	-162.3	63463.9	1	1093	342388	-643	342388	1		1				0	0	Si

Verifiche ad instabilità

Caratteristiche iniziali

Membratura principale per controllo snellezza; Calcolo di snellezze ed N critici condotti secondo gli assi principali; Curva X: c; Curva Y: c; Svergolamento: Carico all'estradosso; Curva svergolamento: d;

Dati per instabilità attorno a x

Controllo della snellezza secondo §4.2.4.1.3.1 NTC18

Numero rit.	Presente	Ascissa	Campata	βx/m	Vincolo a entrambi estremi	λx/m	λVer
1	Si	0					
			1-2	1	Si	47.6	Si, (<200)
2	Si	280					

Dati per instabilità attorno a y

Controllo della snellezza secondo §4.2.4.1.3.1 NTC18

Numero rit.	Presente	Ascissa	Campata	βy/n	k,LT	kw,LT	Vincolo a entrambi estremi	λy/n	λVer
1	Si	0							
			1-2	1	1	1	Si	47.6	Si, (<200)
2	Si	280							

Verifica di stabilità membrane compresse §4.2.4.1.3.1 NTC18

X	Comb.	Sfruttamento	Classe	Obblig.	NEd	Nb,Rd	χ,min	l0 x/m	l0 y/n	λ adim. x/m	λ adim. y/n	N,crit x/m	N,crit y/n	Verifica
0	SLU 41	0.004	1	No	-231	53264.4	0.839	280	280	0.507	0.507	259637.3	259637.3	Si

Verifica a svergolamento §4.2.4.1.3.2 NTC18

X	Comb.	Sfruttamento	Classe	Obblig.	Mx,Ed	Mb,Rd,x	χ,LT	λ adim. LT	L,LT	M,critico	Verifica
233.3	SLU 52	0.003	1	Si	-1143.3	342388.1	1	0.103	280	33939719.7	Si

Verifica di stabilità per pressoflessione §C.4.2.4.1.3.3.2 NTC18

X	Comb.	Sfruttamento	Classe	NEd	NRk	Mx,Ed max	Mx,Rk	My,Ed max	My,Rk	χ,x	χ,y	kxx	kxy	kyx	kyy	χ,LT	Verifica
0	SLU 50	0.121	1	-231	66637.1	39847.5	359507.5	0	359507.5	0.839	0.839	0.407	0.36	0.999	0.601	1	Si

Verifica di stabilità per pressoflessione SLD §C.4.2.4.1.3.3.2 NTC18

X	Comb.	Sfruttamento	Classe	NEd	NRk	Mx,Ed max	Mx,Rk	My,Ed max	My,Rk	χ,x	χ,y	kxx	kxy	kyx	kyy	χ,LT	Verifica
0	SLD 6	0.008	1	-162.3	66637.1	1542.6	359507.5	192.8	359507.5	0.839	0.839	0.601	0.36	1	0.601	1	Si

Verifica di stabilità a taglio anima Y §4.2.4.1.2.4 [4.2.27] NTC18

η	hw	tw	hw/tw max	Verifica	
1.2		14	0.5	60	Si

Verifiche a deformabilità

Mensola X: No; Mensola Y: No.

Verifiche non eseguite in quanto il superelemento è verticale.



Superelemento in acciaio "infissione montante"- "Testa montate" filo 3

Caratteristiche del materiale

Acciaio: S235, fyk = 2350

Caratteristiche geometriche

Lunghezza: 280

Nodo iniziale: 7 Nodo finale: 11

Cerniera iniziale: No Cerniera finale: No

Sovraresistenza: 0% Sisma Z: No

Caratteristiche della sezione

Sezione	Rotazione	Area	Jx	Jy	ix	iy	Wx	Wy	Wplx	Wply
EN10219 150x150x5	0	28.36	982.12	982.12	5.89	5.89	130.95	130.95	152.98	152.98

Verifiche di resistenza

Verifiche a forza assiale §4.2.4.1.2.1 - §4.2.4.1.2.2 NTC18

X	Comb.	Sfruttamento	Classe	NEd	Nc,Rd	Nt,Rd	Riduzione da taglio	px	py	Verifica
0	SLU 52	0.004	1	-231	63463.9		1	0	0	Si

Verifiche a forza assiale SLD §4.2.4.1.2.1 - §4.2.4.1.2.2 NTC18

X	Comb.	Sfruttamento	Classe	NEd	Nc,Rd	Nt,Rd	Riduzione da taglio	px	py	Verifica
0	SLD 1	0.003	1	-162.3	63463.9		1	0	0	Si

Verifica a taglio Y §4.2.4.1.2.4 NTC18

X	Comb.	Sfruttamento	VEd	Vc,Rd	Av	Interazione taglio-torsione	Riduzione torsione	Verifica
37.3	SLU 38	0.013	241.5	18320.4	14.18	Considerata	1	Si

Verifica a flessione semplice X §§ 4.2.4.1.2.3 - 4.2.4.1.2.6 - 4.2.4.1.2.7 - 4.2.4.1.2.8 NTC18

X	Comb.	Sfruttamento	Classe	Mx,Ed	Mx,Rd	Rid. Mx,Rd da VEd	px	py	Verifica
233.3	SLU 51	0.003	1	-1143.3	342388.1	1	0	0	Si

Verifica a flessione semplice Y §§ 4.2.4.1.2.3 - 4.2.4.1.2.6 - 4.2.4.1.2.7 - 4.2.4.1.2.8 NTC18

X	Comb.	Sfruttamento	Classe	My,Ed	My,Rd	Rid. My,Rd da VEd	px	py	Verifica
233.3	SLV 1	0.001	1	-228.7	342388.1	1	0	0	Si

Verifica a presso/tenso flessione retta X §§ 4.2.4.1.2.3 - 4.2.4.1.2.6 - 4.2.4.1.2.7 - 4.2.4.1.2.8 NTC18

Verifiche eseguite utilizzando la formula conservativa (6.2) §6.2.1 EN 1993-1-1:2005.

X	Comb.	Sfruttamento	Classe	NEd	NRd	Rid. NRd da VEd	Mx,Ed	Mx,Rd	Rid. Mx,Rd da VEd	Rid. Mx,Rd da NEd	px	py	Verifica
0	SLU 49	0.12	1	-231	63463.9	1	-39848	342388	1		0	0	Si

Verifica a presso/tenso flessione retta X SLD §§ 4.2.4.1.2.3 - 4.2.4.1.2.6 - 4.2.4.1.2.7 - 4.2.4.1.2.8 NTC18

Verifiche eseguite utilizzando la formula conservativa (6.2) §6.2.1 EN 1993-1-1:2005.

X	Comb.	Sfruttamento	Classe	NEd	NRd	Rid. NRd da VEd	Mx,Ed	Mx,Rd	Rid. Mx,Rd da VEd	Rid. Mx,Rd da NEd	px	py	Verifica
93.3	SLD 10	0.004	1	-91.6	63463.9	1	878	342388	1		0	0	Si

Verifica a presso/tenso flessione retta Y §§ 4.2.4.1.2.3 - 4.2.4.1.2.6 - 4.2.4.1.2.7 - 4.2.4.1.2.8 NTC18

Verifiche eseguite utilizzando la formula conservativa (6.2) §6.2.1 EN 1993-1-1:2005.

X	Comb.	Sfruttamento	Classe	NEd	NRd	Rid. NRd da VEd	My,Ed	My,Rd	Rid. My,Rd da VEd	Rid. My,Rd da NEd	px	py	Verifica
56	SLV 3	0.005	1	-99.9	63463.9	1	-1098	342388	1		0	0	Si

Verifica a presso/tenso flessione retta Y SLD §§ 4.2.4.1.2.3 - 4.2.4.1.2.6 - 4.2.4.1.2.7 - 4.2.4.1.2.8 NTC18

Verifiche eseguite utilizzando la formula conservativa (6.2) §6.2.1 EN 1993-1-1:2005.

X	Comb.	Sfruttamento	Classe	NEd	NRd	Rid. NRd da VEd	My,Ed	My,Rd	Rid. My,Rd da VEd	Rid. My,Rd da NEd	px	py	Verifica
56	SLD 7	0.002	1	-99.9	63463.9	1	-154	342388	1		0	0	Si

Verifica a presso/tenso flessione deviata §§ 4.2.4.1.2.3 - 4.2.4.1.2.6 - 4.2.4.1.2.7 - 4.2.4.1.2.8 NTC18

Verifiche eseguite utilizzando la formula conservativa (6.2) §6.2.1 EN 1993-1-1:2005.

X	Comb.	Sfruttamento	Classe	NEd	NRd	Rid. NRd da VEd	Mx,Ed	Mx,Rd	My,Ed	My,Rd	Rid. Mx,Rd da VEd	Rid. Mx,Rd da NEd	Rid. My,Rd da VEd	Rid. My,Rd da NEd	α	β	px	py	Verifica
0	SLV 1	0.01	1	-162.3	63463.9	1	1312	342388	-1372	342388	1		1				0	0	Si



Verifica a presso/tenso flessione deviata SLD §§ 4.2.4.1.2.3 - 4.2.4.1.2.6 - 4.2.4.1.2.7 - 4.2.4.1.2.8 NTC18

Verifiche eseguite utilizzando la formula conservativa (6.2) §6.2.1 EN 1993-1-1:2005.

X	Comb.	Sfruttamento	Classe	NEd	NRd	Rid. NRd da VEd	Mx,Ed	Mx,Rd	My,Ed	My,Rd	Rid. Mx,Rd da VEd	Rid. Mx,Rd da NEd	Rid. My,Rd da VEd	Rid. My,Rd da NEd	α	β	px	py	Verifica
0	SLD 1	0.008	1	-162.3	63463.9	1	1093	342388	-643	342388	1		1				0	0	Si

Verifiche ad instabilità

Caratteristiche iniziali

Membratura principale per controllo snellezza; Calcolo di snellezze ed N critici condotti secondo gli assi principali; Curva X: c; Curva Y: c; Svergolamento: Carico all'estradosso; Curva svergolamento: d;

Dati per instabilità attorno a x

Controllo della snellezza secondo §4.2.4.1.3.1 NTC18

Numero rit.	Presente	Ascissa	Campata	βx/m	Vincolo a entrambi estremi	λx/m	λVer
1	Si	0					
			1-2	1	Si	47.6	Si, (<200)
2	Si	280					

Dati per instabilità attorno a y

Controllo della snellezza secondo §4.2.4.1.3.1 NTC18

Numero rit.	Presente	Ascissa	Campata	βy/n	k,LT	kw,LT	Vincolo a entrambi estremi	λy/n	λVer
1	Si	0							
			1-2	1	1	1	Si	47.6	Si, (<200)
2	Si	280							

Verifica di stabilità membrane compresse §4.2.4.1.3.1 NTC18

X	Comb.	Sfruttamento	Classe	Obblig.	NEd	Nb,Rd	χ,min	l0 x/m	l0 y/n	λ adim. x/m	λ adim. y/n	N,crit x/m	N,crit y/n	Verifica
0	SLU 41	0.004	1	No	-231	53264.4	0.839	280	280	0.507	0.507	259637.3	259637.3	Si

Verifica a svergolamento §4.2.4.1.3.2 NTC18

X	Comb.	Sfruttamento	Classe	Obblig.	Mx,Ed	Mb,Rd,x	χ,LT	λ adim. LT	L,LT	M,critico	Verifica
233.3	SLU 52	0.003	1	Si	-1143.3	342388.1	1	0.103	280	33939719.7	Si

Verifica di stabilità per pressoflessione §C.4.2.4.1.3.3.2 NTC18

X	Comb.	Sfruttamento	Classe	NEd	NRk	Mx,Ed max	Mx,Rk	My,Ed max	My,Rk	χ,x	χ,y	kxx	kxy	kyx	kyy	χ,LT	Verifica
0	SLU 50	0.121	1	-231	66637.1	39847.5	359507.5	0	359507.5	0.839	0.839	0.407	0.36	0.999	0.601	1	Si

Verifica di stabilità per pressoflessione SLD §C.4.2.4.1.3.3.2 NTC18

X	Comb.	Sfruttamento	Classe	NEd	NRk	Mx,Ed max	Mx,Rk	My,Ed max	My,Rk	χ,x	χ,y	kxx	kxy	kyx	kyy	χ,LT	Verifica
0	SLD 6	0.008	1	-162.3	66637.1	1542.6	359507.5	192.8	359507.5	0.839	0.839	0.601	0.36	1	0.601	1	Si

Verifica di stabilità a taglio anima Y §4.2.4.1.2.4 [4.2.27] NTC18

η	hw	tw	hw/tw max	Verifica	
1.2		14	0.5	60	Si

Verifiche a deformabilità

Mensola X: No; Mensola Y: No.

Verifiche non eseguite in quanto il superelemento è verticale.



Superelemento in acciaio "infissione montante"- "Testa montate" filo 4

Caratteristiche del materiale

Acciaio: S235, fyk = 2350

Caratteristiche geometriche

Lunghezza: 280

Nodo iniziale: 8 Nodo finale: 12

Cerniera iniziale: No Cerniera finale: No

Sovraresistenza: 0% Sisma Z: No

Caratteristiche della sezione

Sezione	Rotazione	Area	Jx	Jy	ix	iy	Wx	Wy	Wplx	Wply
EN10219 100x100x5	0	18.36	271.1	271.1	3.84	3.84	54.22	54.22	64.59	64.59

Verifiche di resistenza

Verifiche a forza assiale §4.2.4.1.2.1 - §4.2.4.1.2.2 NTC18

X	Comb.	Sfruttamento	Classe	NEd	Nc,Rd	Nt,Rd	Riduzione da taglio	px	py	Verifica
0	SLU 41	0.004	1	-172.5	41082.9		1	0	0	Si

Verifiche a forza assiale SLD §4.2.4.1.2.1 - §4.2.4.1.2.2 NTC18

X	Comb.	Sfruttamento	Classe	NEd	Nc,Rd	Nt,Rd	Riduzione da taglio	px	py	Verifica
0	SLD 1	0.003	1	-120.3	41082.9		1	0	0	Si

Verifica a taglio Y §4.2.4.1.2.4 NTC18

X	Comb.	Sfruttamento	VEd	Vc,Rd	Av	Interazione taglio-torsione	Riduzione torsione	Verifica
0	SLU 24	0.02	241.5	11859.6	9.18	Considerata	1	Si

Verifica a flessione semplice X §§ 4.2.4.1.2.3 - 4.2.4.1.2.6 - 4.2.4.1.2.7 - 4.2.4.1.2.8 NTC18

X	Comb.	Sfruttamento	Classe	Mx,Ed	Mx,Rd	Rid. Mx,Rd da VEd	px	py	Verifica
233.3	SLU 11	0.008	1	-1143.3	144561.8	1	0	0	Si

Verifica a flessione semplice X SLD §§ 4.2.4.1.2.3 - 4.2.4.1.2.6 - 4.2.4.1.2.7 - 4.2.4.1.2.8 NTC18

X	Comb.	Sfruttamento	Classe	Mx,Ed	Mx,Rd	Rid. Mx,Rd da VEd	px	py	Verifica
233.3	SLD 5	0.001	1	79.4	144561.8	1	0	0	Si

Verifica a flessione semplice Y §§ 4.2.4.1.2.3 - 4.2.4.1.2.6 - 4.2.4.1.2.7 - 4.2.4.1.2.8 NTC18

X	Comb.	Sfruttamento	Classe	My,Ed	My,Rd	Rid. My,Rd da VEd	px	py	Verifica
233.3	SLV 1	0.001	1	-169.5	144561.8	1	0	0	Si

Verifica a flessione semplice Y SLD §§ 4.2.4.1.2.3 - 4.2.4.1.2.6 - 4.2.4.1.2.7 - 4.2.4.1.2.8 NTC18

X	Comb.	Sfruttamento	Classe	My,Ed	My,Rd	Rid. My,Rd da VEd	px	py	Verifica
233.3	SLD 1	0.001	1	-79.4	144561.8	1	0	0	Si

Verifica a presso/tenso flessione retta X §§ 4.2.4.1.2.3 - 4.2.4.1.2.6 - 4.2.4.1.2.7 - 4.2.4.1.2.8 NTC18

Verifiche eseguite utilizzando la formula conservativa (6.2) §6.2.1 EN 1993-1-1:2005.

X	Comb.	Sfruttamento	Classe	NEd	NRd	Rid. NRd da VEd	Mx,Ed	Mx,Rd	Rid. Mx,Rd da VEd	Rid. Mx,Rd da NEd	px	py	Verifica
0	SLU 50	0.28	1	-172.5	41082.9	1	-39848	144562	1		0	0	Si

Verifica a presso/tenso flessione retta X SLD §§ 4.2.4.1.2.3 - 4.2.4.1.2.6 - 4.2.4.1.2.7 - 4.2.4.1.2.8 NTC18

Verifiche eseguite utilizzando la formula conservativa (6.2) §6.2.1 EN 1993-1-1:2005.

X	Comb.	Sfruttamento	Classe	NEd	NRd	Rid. NRd da VEd	Mx,Ed	Mx,Rd	Rid. Mx,Rd da VEd	Rid. Mx,Rd da NEd	px	py	Verifica
177.3	SLD 5	0.011	1	-54.8	41082.9	1	1375	144562	1		0	0	Si

Verifica a presso/tenso flessione deviata §§ 4.2.4.1.2.3 - 4.2.4.1.2.6 - 4.2.4.1.2.7 - 4.2.4.1.2.8 NTC18

Verifiche eseguite utilizzando la formula conservativa (6.2) §6.2.1 EN 1993-1-1:2005.

X	Comb.	Sfruttamento	Classe	NEd	NRd	Rid. NRd da VEd	Mx,Ed	Mx,Rd	My,Ed	My,Rd	Rid. Mx,Rd da VEd	Rid. Mx,Rd da NEd	Rid. My,Rd da VEd	Rid. My,Rd da NEd	α	β	px	py	Verifica
0	SLV 9	0.029	1	-120.3	41082.9	1	3417	144562	305	144562	1		1				0	0	Si



Verifica a presso/tenso flessione deviata SLD §§ 4.2.4.1.2.3 - 4.2.4.1.2.6 - 4.2.4.1.2.7 - 4.2.4.1.2.8 NTC18

Verifiche eseguite utilizzando la formula conservativa (6.2) §6.2.1 EN 1993-1-1:2005.

X	Comb.	Sfruttamento	Classe	NEd	NRd	Rid. NRd da VEd	Mx,Ed	Mx,Rd	My,Ed	My,Rd	Rid. Mx,Rd da VEd	Rid. Mx,Rd da NEd	Rid. My,Rd da VEd	Rid. My,Rd da NEd	α	β	px	py	Verifica
0	SLD 1	0.024	1	-120.3	41082.9	1	2543	144562	-476	144562	1		1				0	0	Si

Verifiche ad instabilità

Caratteristiche iniziali

Membratura principale per controllo snellezza; Calcolo di snellezze ed N critici condotti secondo gli assi principali; Curva X: c; Curva Y: c; Svergolamento: Carico all'estradosso; Curva svergolamento: d;

Dati per instabilità attorno a x

Controllo della snellezza secondo §4.2.4.1.3.1 NTC18

Numero rit.	Presente	Ascissa	Campata	$\beta x/m$	Vincolo a entrambi estremi	$\lambda x/m$	λVer
1	Si	0	1-2	1	Si	72.9	Si, (<200)
2	Si	280					

Dati per instabilità attorno a y

Controllo della snellezza secondo §4.2.4.1.3.1 NTC18

Numero rit.	Presente	Ascissa	Campata	$\beta y/n$	k_{LT}	$k_{w,LT}$	Vincolo a entrambi estremi	$\lambda y/n$	λVer
1	Si	0	1-2	1	1	1	Si	72.9	Si, (<200)
2	Si	280							

Verifica di stabilità membrature compresse §4.2.4.1.3.1 NTC18

X	Comb.	Sfruttamento	Classe	Obblig.	NEd	Nb,Rd	χ_{min}	$I_0 x/m$	$I_0 y/n$	$\lambda_{adim. x/m}$	$\lambda_{adim. y/n}$	N,crit x/m	N,crit y/n	Verifica
0	SLU 41	0.006	1	No	-172.5	27827.4	0.677	280	280	0.776	0.776	71669.7	71669.7	Si

Verifica a svergolamento §4.2.4.1.3.2 NTC18

X	Comb.	Sfruttamento	Classe	Obblig.	Mx,Ed	Mb,Rd,x	χ_{LT}	$\lambda_{adim. LT}$	L,LT	M,critico	Verifica
233.3	SLU 11	0.008	1	Si	-1143.3	144561.8	1	0.126	280	9493583.7	Si

Verifica di stabilità per pressoflessione §C.4.2.4.1.3.3.2 NTC18

X	Comb.	Sfruttamento	Classe	NEd	NRk	Mx,Ed max	Mx,Rk	My,Ed max	My,Rk	χ_x	χ_y	kxx	kxy	kyx	kyy	χ_{LT}	Verifica
0	SLU 50	0.281	1	-	43137.1	39847.5	151789.9	0	151789.9	0.677	0.677	0.408	0.361	0.997	0.602	1	Si

Verifica di stabilità per pressoflessione SLD §C.4.2.4.1.3.3.2 NTC18

X	Comb.	Sfruttamento	Classe	NEd	NRk	Mx,Ed max	Mx,Rk	My,Ed max	My,Rk	χ_x	χ_y	kxx	kxy	kyx	kyy	χ_{LT}	Verifica
0	SLD 9	0.025	1	-	43137.1	2876.4	151789.9	142.9	151789.9	0.677	0.677	0.601	0.361	0.999	0.601	1	Si

Verifica di stabilità a taglio anima Y §4.2.4.1.2.4 [4.2.27] NTC18

η	hw	tw	hw/tw max	Verifica	
1.2		9	0.5	60	Si

Verifiche a deformabilità

Mensola X: No; Mensola Y: No.

Verifiche non eseguite in quanto il superelemento è verticale.